

# АЗЭРБАЙЧАН ССР ЕЛМЛЭР АКАДЕМИЈАСЫ АКАДЕМИЯ НАУК АЗЕРБАЙДЖАНСКОЙ ССР

# МЭРУЗАЛЭР ДОКЛАДЫ

ТОМ XXXI ЧИЛД

2

A black and white photograph showing a long, thin, dark object, possibly a piece of debris or a small insect, resting on a light-colored surface. The object has a segmented appearance with several distinct protrusions or legs extending from its body.

**„ЕЛМ“ НӘШРИЈАТЫ  
ИЗДАТЕЛЬСТВО „ЕЛМ“  
БАКЫ—1975—БАКУ**

Уважаемый читатель

Просмотрев журнал,  
поставьте № чит. билета

#### ІЭР ҮЧҮН ГАЙДАЛАР

Академиасынын Мәрүззәләри»нда иңзәрін және тәжүрги  
тамамлаймыш вә һәлә дәрч едилмәмеш иетина  
олупур.

Бир неча айры-айры мә'лumatлар шәклинә салын-  
тики мә'лumatлардан мәңгүр мұбабиесе характеристика  
тәшидирмәләреиз комокчи тәжүргөләрни тәсвири-  
нал, тәсвири және имал харacterли ишиләр, төсөнә  
и сырғ методик мәғаләләр, һабелә битки және  
үчүн хүсуси әһәмијәттө малик ташынышырын тәс-  
ч едилмир.

Ләләр һәмин мә'лumatларын даға кениш шәкилде  
мүэллифин һүтгүүн әлиндән алмыйр.

дахия олар мәғаләләр Ізлиял ихтиас үзәрә бир  
ра редаксија неј'ати тәрәфиндән иңзәрден кечири-  
чох олмамаг шартын мәғаләләр тәгдим едә биләр.  
Јасынын мұхбир үзвелеринин мәғаләләрни тәгдимат-

едир ик, мәғаләләрни тәгдим едәркән онларын мү-  
бәлә мәғаләсии һәрәнидириләчәни болмасын адымы

тәдә 3 мәғалә дәрч етдири биләр.  
дахия олмагла, мүэллиф вәрәгинин дөрдә бири-  
тада йазылмыш 6--7 сәніфә һаңмандо (10000 чан

тәннинде ҳұласеи олмалыдыр; бундан башта, Азәр-  
рус дилинде ҳұласе олар едилмөлдидир. Рус ди-  
бычан дилинде ҳұласеи олмалыдыр.  
инин Іерине Іетирилди әлеми идәрәнин ады на-  
тмолидидир.

Әдигит иннәрлеринин иетичәләринин дәрч олумасы  
иңазасы олмалыдыр.

(а олмагла) вәрәгин бир үзүндә иккі хәтт ара бу  
намалы және иккі нүхә тәгдим едилмөлдидир. Үстүр-  
дә бойук һәрфләрни аятланады, кичинклорин исе ү-  
тмолидидир; йунаи аліффасы һәрфләрни гырмызы

Зијнат сәніфөшін ахырлана чыкыны шәклинде деңїз,  
алыпастына көрә) мәғаләсии сонунда мәтиләкі ис-  
ижаһын үзәрә верилмөлдидир. Өдабијјаттын сијаһымен  
идир;

имилијасы во инисиалы, китабын бүтов ады, чылдин  
ли;

мәғаләләр үчүн: мүаллифины фамилијасы және ин-  
санарлығын ады, чылд, бурахыныш, иңир олундуру

оллиғини фамилијасы және инисиалы, мәғаләсии ады,  
иахыныш), сәніфа көстарылмөлдидир.

Баттар во әлеми идәрәкорда сакхланын диссертасија-  
лмас.

мүаллифины фамилијасы, мәғаләсии ады және шәклин  
үзәннен шәкілшілті сөздөр айрыча вәрәгде тә-

нификасына олумыш оныннан тәсніфат үзәрә мәға-  
ләрфөттөн журнал» үчүн реферат олланы етмолидидир.

Лирик материалларда во мәғаләсии матиннин бу жа-  
нина яса перомалыларидар.

Алдында үчүн иетичәлөр йолшыз зарури Һалларда  
тәгдим ёдилдикде онларын дарчедилеме ардымылыш-

тасы да көстармай да пымдай.

14. Мәғаләсии корректурасы, бир гајда оларға, мүаллифлар кондорилмир. Кор-  
ректураларни тәгдирде исе йазылма мөтбөй сөйлөрорини дүзделтмөк олар.

15. Редаксија мүаллифа пуласу оларға мәғаләсии 16 нүхә ойрынан оттискини верир.

АЗӘРБАЙЧАН ССР ЕЛМЛӘР АКАДЕМИЈАСЫ  
АКАДЕМИЯ НАУК АЗЕРБАЙДЖАНСКОЙ ССР

# МӘРҮЗӘЛӘР ДОКЛАДЫ

ТОМ XXXI ЧИЛД

2



## РЕДАКЦИОННАЯ КОЛЛЕГИЯ:

Г. Б. Абдуллаев (главный редактор), Ш. А. Азизбеков,  
 Г. А. Алиев, В. Р. Волобуев,  
 А. И. Гусейнов, М. А. Дадашзаде (зам. главного редактора),  
 М. А. Кашкай, А. С. Сумбатзаде, М. А. Топчибашев, Т. Н. Шахтахтинский  
 Г. Г. Зейналов (ответств. секретарь).

УДК 539. 374

МЕХАНИКА

Н. П. ПИРИЕВ

ИЗГИБ КРУГЛОЙ ПЛАСТИНКИ ИЗ ПОЛИМЕРНОГО МАТЕРИАЛА  
ПОД ДЕЙСТВИЕМ ВИБРАЦИОННОЙ НАГРУЗКИ

(Представлено академиком АН Азербайджанской ССР З. И. Халиловым)

В данной работе рассматривается симметричный изгиб круглой пластинки из полимерного материала радиуса  $R$  и толщины  $2h$  под действием гармонически изменяющейся нагрузки. Предполагается, что модуль упругости  $E_1$  зависит от температуры, а толщина пластинки во время деформации остается постоянной. Поэтому в уравнении равновесия надо учитывать, что жесткость материала является переменной.

Для определения температуры в стационарном случае получается некоторое обыкновенное дифференциальное уравнение, которое содержит составляющие комплексного модуля  $E_1(T, \omega)$  и  $E_2(T, \omega)$ .

Следуя экспериментальным данным [1], для этих составляющих можно принять различные аппроксимирующие выражения.

В данной работе для составляющих комплексного модуля принята экспоненциальная зависимость;

$$E_1(T, \omega) = Ce^{-DT}, \quad E_2(T, \omega) = Ae^{BT} \quad (1)$$

Предположим, что напряжение в пластинке изменяется во времени следующим образом:

$$\sigma_r = \sigma_r^0 \cos \omega t, \quad \sigma_\theta = \sigma_\theta^0 \cos \omega t, \quad (2)$$

здесь  $\sigma_r^0, \sigma_\theta^0$  — амплитуды напряжений.

Тогда соответствующие деформации отличаются от напряжений по фазе и будут выражаться следующим образом:

$$\epsilon_r = \epsilon_r^0 \cos(\omega t - \varphi^\circ), \quad \epsilon_\theta = \epsilon_\theta^0 \cos(\omega t - \varphi^\circ) \quad (3)$$

Используя линейный закон вязко-упругости, получим связь между амплитудами напряжения и деформаций в следующем виде

$$\begin{aligned} \sigma_r^0 &= \epsilon_r^0 \sqrt{E_1^2(T, \omega) + E_2^2(T, \omega)} = \epsilon_r^0 E^*(T, \omega) \\ \sigma_\theta^0 &= \epsilon_\theta^0 \sqrt{E_1^2(T, \omega) + E_2^2(T, \omega)} = \epsilon_\theta^0 E^*(T, \omega), \end{aligned} \quad (4)$$

где  $E^*(T, \omega)$  — комплексный модуль.

© Издательство "Эйм", 1975 г.

Адрес: г. Баку, Коммунистическая, 10. Редакция "Докладов Академии наук Азербайджанской ССР".

Напряжения и деформации следующим образом связаны с прогибом пластиинки [2]:

$$\begin{aligned}\sigma_r &= \frac{E_1(r)z}{1-\nu^2} \left( \frac{d^2 w}{dr^2} + \frac{\nu}{r} \frac{dw}{dr} \right) \\ \sigma_\theta &= \frac{E_1(r)z}{1-\nu^2} \left( \frac{1}{r} \frac{dw}{dr} + \nu \frac{d^2 w}{dr^2} \right) \\ \epsilon_r &= -z \frac{d^2 w}{dr^2}, \quad \epsilon_\theta = \frac{z}{r} \frac{dw}{dr}\end{aligned}\quad (5)$$

(Здесь учтено, что модуль упругости является функцией температуры, а температура, в свою очередь, зависит от радиуса, поэтому в (5)  $E_1$  будет иметь указанный вид).

Работа, совершаяя при вязко-упругой деформации, равна

$$U = u_1 + u_2 = \int_{-\pi/\omega}^{\pi/\omega} \sigma_r d\epsilon_r(t) + \int_{-\pi/\omega}^{\pi/\omega} \sigma_\theta d\epsilon_\theta(t)$$

Из последнего выражения с учетом (2), получим:

$$U = \pi \sin \varphi (\epsilon_r^0 \sigma_r^0 + \epsilon_\theta^0 \sigma_\theta^0). \quad (6)$$

Используя (4) и (5), а также, принимая во внимание, что

$$E_1(r) = E^*(r) \cos \varphi, \quad E_2(r) = E^*(r) \sin \varphi$$

из (6) получим:

$$U = \pi E_2(r) (\epsilon_r^0 + \epsilon_\theta^0) = \pi E_2(r) z^2 \left[ \left( \frac{d^2 w}{dr^2} \right)^2 + \left( \frac{1}{r} \frac{dw}{dr} \right)^2 \right] \quad (7)$$

Тогда интенсивность выделения тепла при деформации вязко-упругого тела будет

$$g = \frac{1}{2} \lambda^* \omega \kappa^* E_2(r) z^2 \left[ \left( \frac{d^2 w}{dr^2} \right)^2 + \left( \frac{1}{r} \frac{dw}{dr} \right)^2 \right] \quad (8)$$

Для стационарного случая уравнения теплопроводности с учетом (8) описывается следующим образом:

$$\frac{d^2 T}{dz^2} + \mu z^2 E_2(r) = 0, \quad \mu = \frac{\lambda^* \omega \kappa^*}{2a^* c^*} \left[ \left( \frac{d^2 w}{dr^2} \right)^2 + \left( \frac{1}{r} \frac{dw}{dr} \right)^2 \right] \quad (9)$$

Здесь  $\kappa^*$  — величина, обратная механическому эквиваленту тепла,  $\lambda^*$  — коэффициент, равный доле механической работы, переходящей в тепло;  $\lambda^*$  всегда меньше единицы, так как часть этой работы будет затрачиваться на разрыв механических связей.

С целью установления максимального нагрева будем полагать этот коэффициент постоянным и равным единице;  $a^*$  — коэффициент температуропроводности,  $c^*$  — объемная теплоемкость.

Для определения амплитуды прогиба воспользуемся уравнением равновесия

$$\frac{dM_r}{dr} + \frac{M_r - M_\theta}{r} = -Q \quad (10)$$

Принимая во внимание, что:

$$\begin{aligned}M_r &= -D \left( \frac{d^2 w}{dr^2} + \frac{\nu}{r} \frac{dw}{dr} \right) \\ M_\theta &= -D \left( \frac{1}{r} \frac{dw}{dr} + \nu \frac{d^2 w}{dr^2} \right),\end{aligned}\quad (11)$$

где

$$D = \frac{E_1(r)(2h)^3}{12(1-\nu^2)} \quad (12)$$

из уравнения (10) получим:

$$\begin{aligned}\left( \frac{d^2 w}{dr^2} + \frac{\nu}{r} \frac{dw}{dr} \right) \frac{d}{dr} [E_1(r)] + E_1(r) \left[ \frac{d^3 w}{dr^3} + \frac{1}{r} \frac{d^2 w}{dr^2} - \frac{1}{r^2} \frac{dw}{dr} \right] &= \\ = \frac{12(1-\nu^2)Q}{(2h)^3}\end{aligned}\quad (13)$$

Задача будет решена при следующих конкретных случаях:

а) внешняя сила равномерно распределена; б) действует сосредоточенная сила в центре пластиинки.

С учетом этих случаев уравнение (13) принимает следующий вид:

$$L(r) = -N^* r \quad (14)$$

$$L(r) = -\frac{1}{r} M^*, \quad (15)$$

где

$$L(r) = \left( \frac{d\varphi}{dr} + \frac{\nu}{r} \varphi \right) \frac{d}{dr} [E_1(r)] + E_1(r) \left[ \frac{d^2 \varphi}{dr^2} + \frac{1}{r} \frac{d\varphi}{dr} - \frac{\varphi}{r^2} \right] \quad (16)$$

Здесь

$$N^* = \frac{6(1-\nu^2)q}{(2h)^3}, \quad M^* = \frac{6(1-\nu^2)P}{\pi(2h)^3}, \quad \varphi = -\frac{dw}{dr}$$

При решении уравнения (14) принимается, что пластиинка свободно оперта, т. е.

$$\varphi = 0 \text{ при } r = 0, \quad M_r = D \left( \frac{d\varphi}{dr} + \frac{\nu}{r} \varphi \right) = 0 \text{ при } r = R, \quad (17)$$

а при решении уравнения (15) предполагается, что пластиинка жестко защемлена:

$$\varphi = 0 \text{ при } r = 0 \text{ и при } r = R. \quad (18)$$

Для определения температуры примем, что происходит свободная теплоотдача с окружающей средой, т. е.:

$$\frac{dT}{dz} = 0 \text{ при } z = 0, \quad \frac{dT}{dz} = \beta(T_0 - T) \text{ при } z = h \quad (19)$$

Здесь  $\beta = \kappa/\lambda$ ,  $\kappa$  — коэффициент теплоотдачи,  $\lambda$  — коэффициент теплопроводности. Вводя безразмерные координаты  $r_1 = r/R$ ,  $z_1 = z/h$ , а также принимая во внимание (1), из (9), (14) и (15), получим:

$$\frac{d^2 T}{dz_1^2} + \mu_1 z_1^2 e^{\beta T} = 0, \quad \mu_1 = b \left[ \left( \frac{d\varphi}{dr_1} \right)^2 + \left( \frac{\varphi}{r_1} \right)^2 \right] \quad (20)$$

$$L(r_1) = -Nr_1 \quad (21)$$

$$L(r_1) = -\frac{1}{r_1} M \quad (22)$$

(причем, в выражении (16) учтено, что  $E_1(r) = Ce^{-\beta T}$ , где

$$b = \frac{\lambda^* \omega \kappa^* Ah^4}{2a^* c^* R^2}, \quad N = N^* R^3/C, \quad M = M^* R/C \quad (23)$$

А граничные условия имеют следующий вид:

$$\frac{dT}{dz_1} = 0 \text{ при } z_1 = 0, \quad \frac{dT}{dz_1} = \beta h(T_0 - T) \text{ при } z_1 = 1 \quad (24)$$

$$\varphi = 0 \text{ при } r_1 = 0 \text{ и при } r_1 = 1 \quad (25)$$

$$\varphi = 0 \text{ при } r_1 = 0, \quad \frac{d\varphi}{dr_1} + \frac{\nu}{r_1} \varphi = 0 \text{ при } r_1 = 1 \quad (26)$$

Уравнения (20—22) при граничных условиях (24—26) не имеют решения в явном виде. Поэтому эти уравнения были решены численным образом, причем для определения температуры применялся метод итераций, а при нахождении угла наклона использован метод прогонки.

На основании полученных результатов были построены графики

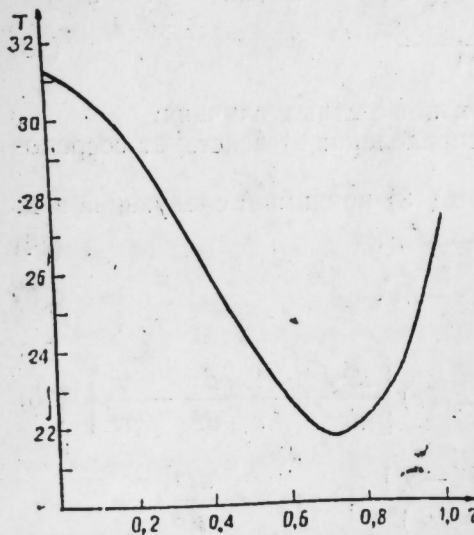


Рис. 1.

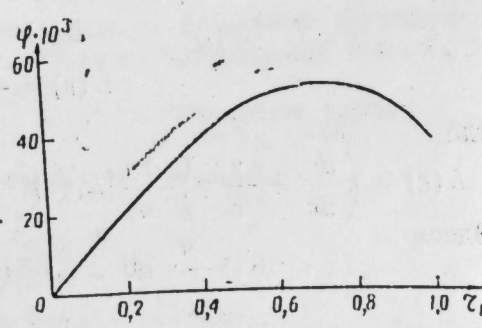


Рис. 2.

(рис. 1—4). При этом были использованы данные, соответствующие одному из видов полиэтилена:

$$B = D = 0,01 \text{ град}^{-1}, A = 3,89 \cdot 10^2 \text{ кг/см}^2, C = 3,4 \cdot 10^1 \text{ кг/см}^2$$

$$R = 30 \text{ см}, h = 1 \text{ см}, \omega = 100 \text{ гц}, a^* c^* = 0,28 \text{ ккал/мч·град}$$

$$T_0 = 20^\circ, \kappa^* = 0,00234 \text{ ккал/кгм}, \beta = 0,714 \text{ см}^{-1}, q = 1,0 \text{ кг/см}^2$$

$$P = 200 \text{ кг}, \nu = 0,4.$$

На рис. 1 и 2 показаны распределения температуры и изменения угла наклона для свободно опертой пластинки, а рис. 3 и 4 соответствуют жестко защемленной пластинке.

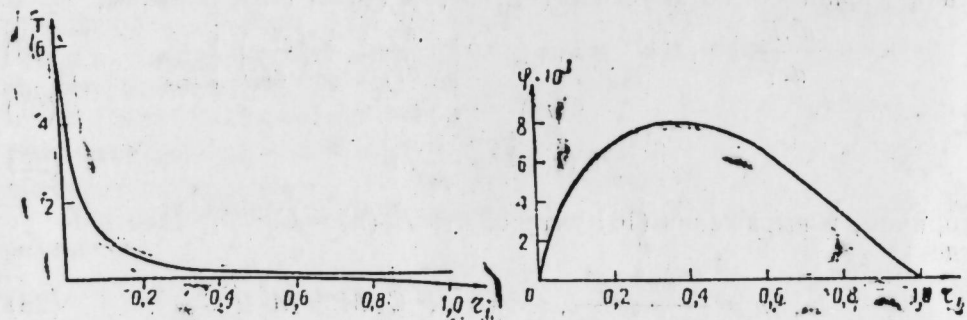


Рис. 3.

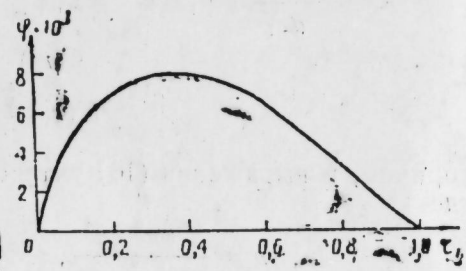


Рис. 4.

Анализ полученных данных позволяет сделать заключение, что при действии вибрационной нагрузки температура в срединной плоскости значительно повышается. Это повышение в свою очередь приводит к тому, что жесткость материала заметно уменьшается. Поэтому существенное различие имеет угол наклона пластиинки по сравнению с решением упругой задачи.

## ЛИТЕРАТУРА

1. Таканааги М. Мем. Fac. Engng. Kyushu Univ. Vol. 1, 1963, № 1. 2. Теория гибких пластинок. Под ред. А. С. Вольмира. Изд-во ИЛ., 1957.

Институт математики и механики

Поступило 17. IX 1973

Н. П. Пирьев

Даирэви полимер лөвхенини вибрасија едән јүкүн тә'сири нәтижәсинде әјилмәси

## ХУЛАСЭ

Мәгаләдә материалы полимердән олан даирэви лөвхенини һармоник гүввә тә'сири алтында әјилмәси мәсәләсинә бағылыр. Фәрз олунуру ки, еластигијјет модулу температурдан асылыдыр вә лөвхәдә яранмыш истилијин лөвхенини әјилмәсінә көстәрдији тә'сир өјрәнилир.

N. P. Piriev

Bending of a circular plate made of polymeric material under the action of vibrating load

## SUMMARY

Bending of a circular plate made of polymeric material under the action of vibrating load is considered in the paper. The elastic modulus is supposed to be the temperature function. Non-linear differential equations the solutions of which are realized in numerical manner have been obtained for the determination of the temperature and bending.

УДК 517. 613

## ФУНКЦИОНАЛЬНЫЙ АНАЛИЗ

Х. Р. МИРЗОЕВ

## ОЦЕНКИ ОСОБОГО ИНТЕГРАЛА В ПРОСТРАНСТВАХ ОРЛИЧА

(Представлено академиком АГ Азербайджанской ССР А. Н. Гусейновым)

Пусть  $M(|u|)$  и  $N(|v|)$  взаимно дополнительные  $N$ -функции [1].  
Множества

$$L_u(a, b) = \left\{ u(s); \rho(u, M) = \int_a^b M(|u(s)|) ds < \infty \right\},$$

$$L_v^*(a, b) = \left\{ v(s); \int_a^b |u(s) \cdot v(s)| ds < \infty, v(s) \in L_N(a, b) \right\}$$

изымаются соответственно классом и пространством Орлича.

Пространство  $L_v^*(a, b)$  является банаевым пространством в норме

$$\|v\|_{L_v^*(a, b)} = \sup_{\rho(v, N) < 1} \int_a^b |u(s) v(s)| ds$$

Пусть  $u(s)$  суммируема на  $(a, b)$  и принадлежит на любом отрезке  $[a+\delta, b-\eta] \subseteq (a, b)$ .

Введем функции

$$\Omega_u(\tilde{u}, t, \eta) = \|u\|_{L_u^*(a+t, b-\eta)},$$

$$\omega_u(u, \tau, t, \eta) = \sup_{h \in \Lambda} \|u(s+h) - u(s)\|_{L_u^*(a+t, b-\eta)},$$

где  $t, \eta, \tau > 0$ ;  $t+\eta \leq b-a=t$ ,  $\Lambda = \{h: 0 < h \leq \min\{\tau, t-\eta\}\}$ .

Обозначим

$$\tilde{u}(x) = \int_a^b \frac{u(s)}{s-x} ds = \lim_{t \rightarrow 0} \left( \int_x^{x+t} + \int_{x-t}^b \right) \frac{u(s)}{s-x} ds, \quad x \in (a, b).$$

В работе рассматривается вопрос о связи между упорядоченными парами

$$(\Omega_u(\tilde{u}, t, \eta), \omega_u(\tilde{u}, \tau, t, \eta))$$

$$(\Omega_u(u, t, \eta), \omega_u(u, \tau, t, \eta)).$$

Эта задача в  $L_p (1 < p < +\infty)$  решена в работе [2].Отметим, что в  $L_\infty$  (пространство непрерывных на  $(a, b)$  функций) она была поставлена в [3] и решена в [3, 4].Будем говорить, что  $N$ -функция  $M(|u|)$  принадлежит классу  $(K)$  если существуют числа  $\alpha > \beta > 1$ , что при любом  $u$  имеет место неравенство

$$\beta < \frac{u P(u)}{M(u)} < \alpha,$$

где  $P(u)$  — правая производная  $M(|u|)$  [5].Теорема 1. Пусть  $M(|u|) \in (K)$ . Если сходятся интегралы

$$\int \frac{\omega_u(u, t, \xi/2, \eta/2)}{t} dt,$$

$$\int_0^t \Omega_u(1/(b-x), t/4, \eta + t/2) \Omega_N(1/(b-x), t/4, t) \Omega_u(u, t/4, t) dt,$$

$$\int_0^t \Omega_u\left(1/(b-x), \frac{\xi + \eta}{2}, t/4\right) \Omega_N(1/(b-x), t/4, t) \Omega_u(u, t/4, t) dt,$$

то при  $0 < \xi, \eta, \delta, \xi + \eta < t$ 

верны следующие оценки:

$$\begin{aligned} \Omega_u(\tilde{u}, \xi, \eta) &\leq C(M) [\Omega_u(u, \xi/2, \eta/2) + \\ &+ \int_0^{t/2} t \cdot \Omega_u\left(1/(b-x), t/4, \frac{\eta + t}{2}\right) \cdot \Omega_N(1/(b-x), t/4, t) \Omega_u(u, t/4, t) dt + \\ &+ \int_0^{t/2} \frac{\omega_u(u, t, \xi/2, \eta/2)}{t} dt + \Omega_u(u, t/4, \eta/2) +] \end{aligned}$$

$$+ \int_0^{t/2} t \cdot \Omega_u\left(1/(b-x), t/4, \frac{\eta + t}{2}\right) \Omega_N(1/(b-x), t/4, t) \Omega_u(u, t/4, t) dt +$$

$$+ \int_0^{t/2} \frac{\omega_u(u, t, \xi/2, \eta/2)}{t} dt \Big\],$$

$$\begin{aligned} \omega_u(\tilde{u}, \delta, \xi, \eta) &\leq C(M) \left\{ \frac{\delta}{\xi + \delta} \Omega_u(u, \xi/2, \eta/2) + \right. \\ &+ \frac{\delta}{\xi + \delta} \int_0^{t/2} t \cdot \Omega_u\left(1/(b-x), t/4, \frac{\eta + t}{2}\right) \Omega_N(1/(b-x), t/4, t) \Omega_u(u, t/4, t) dt + \end{aligned}$$

$$+ \int_0^{t/2} \frac{\omega_u(u, t, \xi/2, \eta/2)}{t(t + \delta)} dt + \frac{\delta}{\eta + \delta} \Omega_u(u, t/4, \eta/2) +$$

$$+ \frac{\delta}{\eta + \delta} \int_0^{t/2} t \cdot \Omega_u\left(1/(b-x), t/4, \frac{\eta + t}{2}\right) \Omega_N(1/(b-x), t/4, t) \Omega_u(u, t/4, t) dt +$$

$$+ \int_0^{t/2} \frac{\omega_u(u, t, \xi/2, \eta/2)}{t(t + \delta)} dt \Big\}.$$

Рассмотрим некоторые построения, основанные на предыдущих оценках:

Обозначим через  $G$  множество упорядоченных пар функций  $(\varphi(\xi, \eta), \psi(\delta, \xi, \eta))$ , определенных соответственно на  $\{0 < \xi, \eta; \xi + \eta < l\}$ ,  $\{0 < \xi, \delta, \eta; \xi + \eta + \delta < l\}$  и удовлетворяющих условиям:  
1.  $\varphi(\xi, \eta), \psi(\delta, \xi, \eta)/\delta$  положительны, почти убывают по каждому из аргументов  $\delta, \xi, \eta$ -равномерно по остальным.

$$2. \lim_{\delta \rightarrow +0} \psi(\delta, \xi, \eta) = 0$$

По определению функция  $u(x)$ , заданная на  $(a, b)$ , принадлежит множеству  $H_{\varphi\psi}^{(L_M)}$ , если существуют постоянные  $C_1(u), C_2(u) > 0$  такие, что

$$\begin{aligned} \Omega_u(u, \xi, \eta) &\leq C_1(u) \varphi(\xi, \eta), \\ \omega_u(u, \delta, \xi, \eta) &\leq C_2(u) \psi(\delta, \xi, \eta), \text{ где } (\varphi, \psi) \in G. \end{aligned}$$

Введением нормы

$$\|u\|_{\varphi\psi} = \max \left\{ \sup_{\xi, \eta} \frac{\Omega_u(u, \xi, \eta)}{\varphi(\xi, \eta)}, \sup_{\xi, \eta, \delta} \frac{\omega_u(u, \delta, \xi, \eta)}{\psi(\delta, \xi, \eta)} \right\};$$

$H_{\varphi\psi}^{(L_M)}$  превращается в бесконечномерное банахово пространство

Теорема 2. Пусть  $(\varphi_1, \psi_1), (\varphi_2, \psi_2) \in G$ ,

Тогда

- a) Если  $\varphi_1 \sim \varphi_2, \psi_1 \sim \psi_2$ , то  $H_{\varphi_1\psi_1}^{(L_M)}$  и  $H_{\varphi_2\psi_2}^{(L_M)}$  совпадают
- в) Если равномерно выполнены предельные соотношения

$$\begin{aligned} \lim_{\xi \rightarrow +0} \frac{\psi_1(\delta, \xi, \eta)}{\psi_2(\delta, \xi, \eta)} &= 0, \quad \lim_{\xi \rightarrow +0} \frac{\psi_1(\delta, \xi, \eta)}{\psi_2(\delta, \xi, \eta)} = 0, \quad \lim_{\eta \rightarrow +0} \frac{\psi_1(\delta, \xi, \eta)}{\psi_2(\delta, \xi, \eta)} = 0, \\ \lim_{\xi \rightarrow +0} \frac{\varphi_1(\xi, \eta)}{\varphi_2(\xi, \eta)} &= 0, \quad \lim_{\eta \rightarrow +0} \frac{\varphi_1(\xi, \eta)}{\varphi_2(\xi, \eta)} = 0, \end{aligned}$$

то  $H_{\varphi_1\psi_1}^{(L_M)}$  является правильной частью  $H_{\varphi_2\psi_2}^{(L_M)}$  и вложение выполнено непрерывно.

Обозначим через  $\Phi$  множество упорядоченных пар функций  $(\varphi, \psi) \in G$  и равномерно удовлетворяющих условиям:

1.  $\psi(\delta, \xi, \eta)$  почти возрастает по  $\delta$ ,
2.  $\psi(\delta_1 + \delta_2, \xi, \eta) = 0 (\psi(\delta_1, \xi, \eta) + \psi(\delta_2, \xi, \eta))$ ,
3.  $\psi(\delta, \xi, \eta) = 0 (\varphi(\xi, \eta))$ .

Следуя [2, 4] вводится множество  $H_{L_M}$  упорядоченных пар функций  $(\varphi(\xi), \psi(\delta, \xi))$ , удовлетворяющих условиям:

1.  $\varphi(\xi) > 0, \psi(\delta, \xi) > 0$
2.  $\int_0^{1/2} t \Omega_u \left( 1/x - a, \frac{\xi + t}{2}, l/4 \right) \Omega_N (1/(x-a)^2, t, l/4) \varphi(t) dt = 0 (\varphi(\xi))$
3.  $\delta \int_0^{\xi/2} \frac{\psi(t, \xi/2)}{t(t+\delta)} dt = 0 (\psi(\delta, \xi))$
4.  $\frac{\delta}{\xi + \delta} \varphi(\xi) = 0 (\psi(\delta, \xi))$

По определению  $(\varphi, \psi) \in \Phi H_{L_M}$ , если  $(\varphi, \psi) \in \Phi$  и

$$(\varphi(\xi, l/4), \psi(\delta, \xi, l/4)), (\varphi(l/4, \eta), \psi(\delta, l/4, \eta)) \in H_{L_M}$$

Теорема 3. Пусть  $(\varphi, \psi) \in \Phi H_{L_M}$  и  $M(|u|) \in K$ .

Тогда оператор  $A_u = \int_a^b \frac{u(s)}{s-x} ds$  действует в  $H_{\varphi\psi}^{(L_M)}$  и ограничен.

Отметим, что первые теоремы такого типа при  $p = +\infty$  были доказаны А. И. Гусейновым [6]. Дальнейшее развитие результатов А. И. Гусейнова принадлежит А. А. Бабаеву [3], В. В. Салаеву [4], в частности теорема 3 при  $p = +\infty$  доказана в [4].

## ЛИТЕРАТУРА

1. Красносельский М. А., Рутинский Я. Б. Выпуклые функции и пространства Орлича. Физматгиз, 1958.
2. Абдуллаев С. К., Бабаев А. А. Некоторые оценки для особого интеграла с суммируемой плотностью. "ДАН СССР", 1969, т. 188, № 2.
3. Бабаев А. А. Некоторые оценки для особого интеграла. "ДАН СССР", 1966, т. 170, № 5.
4. Салаев В. В. Некоторые свойства особого интеграла. Уч. зап. АГУ, серия физ.-матем. наук", 1966, № 6. 5. Симоненко И. Е. Ограничность сингулярных интегралов в пространствах Орлича. "ДАН СССР", 1960, т. 130, № 5. 6. Гусейнов А. И. Об одном классе нелинейных сингулярных интегральных уравнений. "Изв. АН СССР, серия математич." т. 12, 1958, № 2.

АПИ им. Ленина

Поступило 6. VI 1972

Х. Р. Мирзәјев

Орлич фәзасында мәхсүси интегралын гијмәтләндирilmәсинә даир

## ХҮЛӘСӘ

Мәгаләдә Орлич фәзасында мәхсүси интегралын гијмәтләндирilmәсиндән вә  $Au = \int_a^b \frac{u(s)}{s-x} ds$  операторун бә'зи хассәләрнән бәс сеилир.

Kh. R. Mirzoyev

On the evaluation of the singular integral in Orlicz space

## SUMMARY

The evaluation of the singular integral in Orlicz space and some properties of the singular operator are studied in the article.

## МАТЕМАТИКА

С. А. ГАДЖИЕВ, А. И. ЛИВАШВИЛИ

К ВОПРОСУ О СУММИРОВАНИИ ЛЕСТНИЧНЫХ ДИАГРАММ  
В КВАНТОВОЙ ЭЛЕКТРОДИНАМИКЕ

(Представлено академиком АН Азербайджанской ССР А. И. Гусейновым)

Как известно, в низших порядках теории возмущений в настоящее время вычислены все электродинамические процессы [1].

В тех же порядках теории возмущений были получены аналитические для углового и энергетического распределения продуктов, учтены спины, поляризации и форм-факторы.

Развитие физики высоких энергий показало, что учет высших приближений теории возмущений необходим, так как высшие приближения могут вносить существенные поправки. Это привело к вычислению радиационных поправок к электродинамическим процессам. Однако авторы [2,3] при этом вводят для расчета процессов инвариантный параметр обрезания, что, в свою очередь, приводит к нарушению унитарности  $S$ -матрицы.

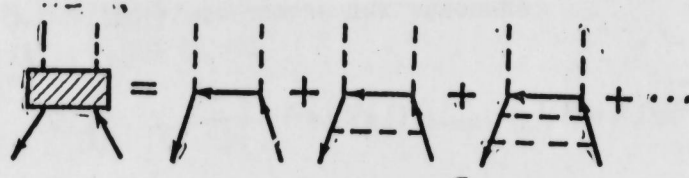


Рис. 1.

Для сохранения условия унитарности и микропричинности в высших порядках теории возмущений в ряде работ [4, 5, 6] производится реджилизация амплитуды процесса.

Другими подходами к вычислению электродинамических процессов при высоких энергиях являются асимптотические методы: одно логарифмическое приближение, дважды логарифмическая асимптотика (см. обзор [7]), айкональное приближение [8] и т. д. В этих приближениях предполагается, что ряд теории возмущений представляет собой асимптотический ряд и это приводит к совокупности диаграмм, находящихся в асимптотическом режиме.

В этой работе нами рассматривается класс лестничных диаграмм, находящихся в асимптотическом режиме и ряд теории возмущений

для данного класса диаграмм сводится к интегральному уравнению, которое получается без каких-либо приближений. В качестве применения предлагаемого нами метода рассмотрим два электродинамических процесса.

1. Двухфотонная аннигиляция  $e^- e^+$ -пары.

Рассмотрим следующую совокупность лестничных диаграмм для данного процесса.

Матричный элемент, соответствующий рис. 1, записывается в следующем виде (при этом опускаются некоторые множители, несущественные для получения уравнения)

$$\begin{aligned} \bar{v}Tu = & e^2 (\bar{v} \hat{e}_2 \hat{S}(p_2 - x_2) \hat{e}_1 u + \frac{e^4}{(2\pi)^6} \int (\bar{v} \gamma_\mu \hat{S}(p_2 - \kappa_1) \hat{e}_2 \times \\ & \times \hat{S}(p_2 - x_2 - \kappa_1) \hat{e}_1 \hat{S}(p_2 - \kappa_1) \gamma_\mu u) D(\kappa_1) d^4 \kappa_1 + \\ & + \frac{e^6}{(2\pi)^8} \int (\bar{v} \gamma_\mu \hat{S}(p_2 - \kappa_1) \gamma_\nu \times \hat{S}(p_2 - \kappa_1 - \kappa_2) \hat{e}_2 \hat{S}(p_2 - x_2 - \kappa_1 - \\ & - \kappa_2) \hat{e}_1 S(p_1 - \kappa_1 - \kappa_2) \gamma_\nu \hat{S}(p_1 - \kappa_1) \gamma_\mu u) \times D(\kappa_1) D(\kappa_2) \times d^4 \kappa_1 d^4 \kappa_2 + \dots) \end{aligned}$$

обозначая  $e^2 \hat{e}_2 \hat{S}(p_2 - \gamma_2) \hat{e}_1 = \hat{T}^2$ , выражение (1) можно переписать в виде:

$$\begin{aligned} \bar{v} \hat{T}u = & \bar{v} \hat{T}u + \frac{e^4}{(2\pi)^4} \int (\bar{v} \gamma_\mu \hat{S}(p_2 - \kappa_1) [e^2 \hat{S}(p_2 - \gamma_2 - \kappa_1) \hat{e}_1 + \\ & + \frac{e^4}{(2\pi)^4} \int \gamma_\tau \hat{S}(p_2 - \gamma_2 - \kappa_1) \hat{e}_1 \hat{S}(p_2 - \gamma_2 - \kappa_2) \hat{e}_1 \hat{S}(p_1 - \kappa_1 - \kappa_2) \gamma_\tau \times \\ & \times D(\kappa_2) d^4 \kappa_2 + \dots] \hat{S}(p_1 - \kappa_1) \gamma_\mu u) D(\kappa_1) d^4 \kappa_1 \end{aligned}$$

Учитывая, что выражение в квадратных скобках представляет собой не что иное, как матрицу  $\hat{T}$ , имеем:

$$\bar{v} \hat{T}u = \bar{v} \hat{T}^{(2)} + \frac{e^2}{(2\pi)^4} \int (\bar{v} \gamma_\mu \hat{S}(p_2 - \kappa) \hat{T} \hat{S}(p_1 - \kappa) \gamma_\mu u) D(\kappa) dk^4 \quad (2)$$

Выражение (2) является искомым интегральным уравнением для рассматриваемого процесса, ввиду сложности решения уравнения (2) рассмотрим область малых передаваемых импульсов и высоких энергий:

$$S = -\frac{(p_1 + p)^2}{m^2} \gg 1, \quad t = -\frac{(p_2 - p_1)^2}{m^2} \sim 0(1) \quad (3)$$

Далее, используя уравнение Дирака и коммутационные отношения для  $\gamma$ -матриц, получаем уравнение (2) в виде:

$$\bar{v} \hat{T}u = \bar{v} T^{(2)}u + \frac{e^2}{(2\pi)^4} 4p_{1\mu} p_{2\mu} \int \frac{\bar{v} \hat{T}u d^4 \kappa}{\kappa^2 (\kappa^2 - 2p_1 \kappa) (\kappa^2 - 2p_2 \kappa)}$$

или

$$M_1 = M^{(2)} + \frac{e^2}{(2\pi)^4} 4P_{1\mu} P_{2\mu} \int \frac{M_1 d^4 \kappa}{\kappa^2 (\kappa^2 - 2p_1 \kappa) (\kappa^2 - 2p_2 \kappa)} \quad (4)$$

Учет кроссинг-диаграмм производится аналогично и вместо (4) получим следующее уравнение:

$$M = M^{(2)} - \frac{e^2}{(2\pi)^4} 4m^2 S \int \frac{Md^4 \kappa}{\kappa^2 (\kappa^2 - 2p_1 \kappa) (\kappa^2 - 2p_2 \kappa)} \quad (4')$$

Отметим, что область интегрирования уравнения (4') ограничена условием:

$$0 < \frac{\kappa^2}{m^2} \leq 4 \quad (5)$$

Найдем теперь решение уравнения (4'), используя метод Судакова [9]:

$$\kappa = \alpha p_1 + \beta p_2 + \kappa_1, p_1 \kappa_1 = p_2 \kappa_2 = 0, 0 \leq \alpha, \beta \leq 1$$

Выражая ядро интегрального уравнения через переменные Судакова и проводя тривиальное интегрирование по  $d\kappa^2$ , получим следующее уравнение:

$$M = M^{(2)} - \frac{ie^2}{16\pi^2} \int_{-\frac{1}{3}}^1 \int_{-\frac{1}{3}}^1 \frac{Md\alpha d\beta}{\alpha\beta} \quad (6)$$

Резольвента уравнения (6) вычисляется просто, а учет эквивалентных нормальных произведений производится в процессе суммирования ряда резольвенты. В результате для резольвенты получаем выражение:

$$R = \frac{1}{\alpha\beta} \exp\left(-\frac{i\alpha_0}{4\pi} e_n^2 S\right) \quad (7)$$

где:

$$\alpha_0 = \frac{e^2}{4\pi}$$

Заметим, что из условия сходимости ряда резольвенты, определяется область применимости уравнения (6); если обозначить полную энергию электронно-позитронной пары через  $E$ , то для вышеуказанной области получим оценку.

Проделав дальнейшие несложные вычисления, получим решение уравнения (6), удовлетворяющее условиям (3) и (5):

$$d\sigma = d\sigma_0 \left| 1 - \frac{i\alpha_0}{4\pi} \frac{p_1 \gamma_1 + p_2 \gamma_2}{m^2} e_n S \exp\left(-\frac{i\alpha_0}{4\pi} e_n^2 S\right) \right|^2 \quad (8)$$

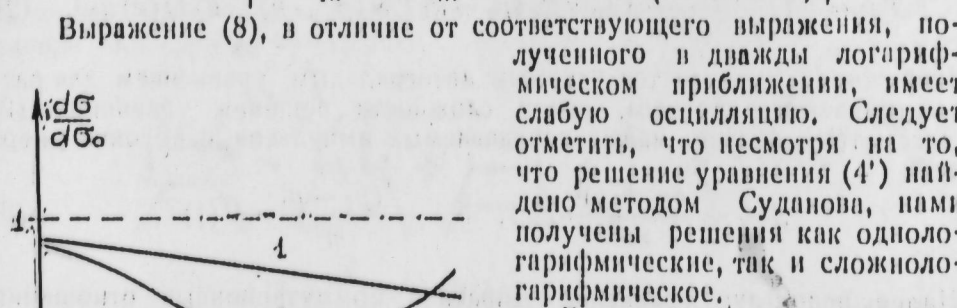


Рис. 2.

На рис. 2 приведены кривые  $f(s) = \frac{d\sigma}{d\sigma_0}$ . Кривая 1 рассчитана в двойжильном логарифмическом приближении, а кривой 2—соответствует решение (8). Из вида кривых следует, что в области "малых" энергий кривые 1 и 2 почти совпадают, и с ростом энергии кривая 2 резко

падает и в области энергии порядка  $10^3$  Бэ В происходит "насыщение"; дальнейший рост энергии приводит к увеличению сечения. В окрестности энергии  $10^5$  Бэ В обе кривые почти совпадают. Резкий спад, "насыщение" и возрастание кривой 2 (слабая осцилляция), как нам кажется, связаны с тем, что решение (8) содержит различные комбинации логарифмов.

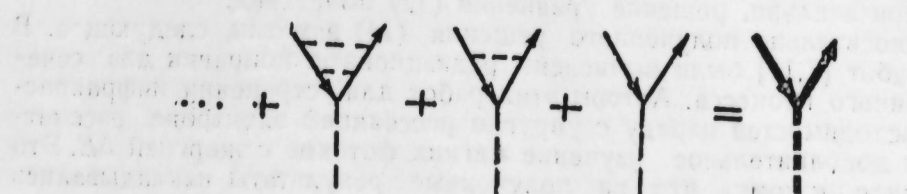


Рис. 3.

## 2. Рассеяние электрона в кулоновском поле.

Рассматриваемая совокупность диаграмм для этого процесса дана на рис. 3.

Матричный элемент, соответствующий рис. 3 записывается в виде:

$$\bar{v} \hat{T} u = e \bar{u} \hat{A}^{(e)} + \frac{ie^3}{(2\pi)^4} \int (\bar{u} \gamma_\mu \hat{S}(p_2 - p_1) \hat{A}^{(e)} \hat{S}(p_1 - \kappa_1) \gamma^\mu u) \times \\ \times D(\kappa_1) d^4 \kappa_1 + \frac{ie^5}{(2\pi)^6} \int (\bar{u} \gamma_\mu \hat{S}(p_2 - \kappa_1) \gamma^\mu \hat{S}(p_2 - \kappa_1 - \kappa_2) \hat{A}^{(e)} \hat{S}(p_1 - \kappa_1 - \kappa_2) \times \\ \times \gamma_\nu S(p_2 - \kappa_1) \gamma_\mu u) D(\kappa_1) D(\kappa_2) \times \\ \times d^4 \kappa_1 d^4 (u_2) + \dots \quad (9)$$

Вводя обозначение  $e \hat{A}^{(e)} = \hat{T}^{(1)}$ , перепишем (9) в виде:

$$\bar{u} \hat{T} u = \bar{u} \hat{T}^{(1)} u + \frac{e}{(2\pi)^4} \int (\bar{u} \gamma_\mu \hat{S}(p_2 - \kappa_1) \left[ e \hat{A}^{(e)} + \right. \\ \left. + \frac{ie^3}{(2\pi)^4} \int \gamma_\nu \hat{S}(p_2 - \kappa_1 - \kappa_2) \hat{A}^{(e)} \times \right. \\ \left. \times \hat{S}(p_1 - \kappa_2 - \kappa_1) \gamma_\nu D(\kappa_2) d^4 \kappa_2 + \dots \right] \hat{S}(p_1 - \kappa_1) \gamma_\mu u) D(\kappa_1) d^4 \kappa_1$$

Далее, аналогично (2), получаем интегральное уравнение для данного процесса:

$$\bar{u} \hat{T} u = \bar{u} \hat{T}^{(1)} u + \frac{ie^3}{(2\pi)^4} \int \bar{u} (\gamma_\mu S(p_2 - \kappa) \hat{T} S(p_1 - \kappa) \gamma_\mu u) D(\kappa) d^4 \kappa$$

Будем рассматривать область больших передаваемых импульсов

$$t = -\frac{(p_2 - p_1)^2}{m^2} \gg 1$$

После применения уравнения Дирака и коммутационных соотношений для  $\gamma$ -матриц, уравнение (10) приводится к виду:

$$M = M^{(1)} + \frac{e^2}{(2\pi)^4} 4m^2 t \int \frac{Md^4 \kappa}{\kappa^2 (\kappa^2 - 2p_2 \kappa) (\kappa^2 - 2p_1 \kappa)} \quad (11)$$

В уравнении (11) область интегрирования ограничена условием (5), используя переменные Судакова получим:

$$M = M^{(1)} - \frac{e^2}{16\pi^2} \int_{-\frac{1}{3}}^1 \int_{-\frac{1}{3}}^1 \frac{Md\alpha d\beta}{\alpha\beta} \quad (12)$$

Вычисляя резольвенту уравнения (12) (с учетом эквивалентных нормальных произведений), получим:

$$R = \frac{1}{\alpha \beta} \exp \left( -\frac{\alpha_0}{4\pi} \ln^2 t \right) \quad (13)$$

Оценка, полученная из условия сходимости ряда резольвенты дает:  $t < 10^6$  Бе  $V$ .

Окончательно, решение уравнения (12) имеет вид:

Относительно полученного решения (14) заметим следующее. В ряде работ [7, 11] были вычислены радиационные поправки для сечения данного процесса. Авторы этих работ для устранения инфракрасных расходимостей наряду с упругим рассеянием электрона рассматривали дополнительное изучение мягких фотонов с энергией  $\Delta E$ . Это приводило к тому, что на полученные результаты накладывались дополнительные условия:

$$\alpha_0 \ln t \ll 1, \alpha_0 \ln t \sim 1, \Delta E \ll E, \quad (15)$$

что значительно суживало область применимости полученных выражений.

Полученное нами выражение (14) свободно от подобных ограничений типа (16). Далее, анализируя (14) легко видеть, что область больших передаваемых импульсов электроном внешнему полю не приводит к увеличению амплитуды и сечения.

Предлагаемая нами рецептура сведений ряда теории возмущений для класса лестничных диаграмм к интегральному уравнению, позволяет надеяться, что она окажется полезной также и при рассмотрении ряда других электродинамических процессов.

#### ЛИТЕРАТУРА

1. Ахиссер А. А., Берестецкий В. Б. Квантовая электродинамика. «Наука». 1960.
2. Andreassl G. et al. Phys. Rev. Lk. 128, 1425, 1964.
3. Tsai J. Phys. Rev. 137, 730, 1965.
4. Cheng H. et al. Phys. Rev., 182, 1852, 1868, 1869, 1969.
5. Грибов В. Н. и др. АФ 6, 129, 361, 579, 1967.
6. Сели-Мапп М. et al. Phys. Rev. B 133, 145, 1971.
7. Горшков В. Г. УФН 110, 45, 1973.
8. Барбашов Б. М., Блохицев Д. И. и др., сб. ЭЧАЯЯ, т. 4, вып. 3. Атомиздат, 1973.
9. Судаков В. В. ЖЭТФ 30, 87, 1956.
10. Cheng H. Wn. T. Phys. Rev., 1, 2775, 1970.
11. Jenne R. et al. Ann. Phys. 13, 397, 1961.

ЛГУ им. Кирова

Поступило 8. VIII 1974

С. Э. Ыачыев, А. И. Ливашвили

#### Квант електродинамикасында пиллэли диаграмларының чәмләнмәсі мәсэләсінә даир

#### ХУЛАСӘ

Мәгәләдә  $e^- e^+$ -чүтүнүү икифотонлу аницилјасијасы вә електронун харичи саһәдән сәпилмәсі үчүн пиллэли диаграмлар чәмләнір вә бу чәмләр интеграл тәнликләрә кәтирилир. Тәнликләр хүсуси һайлар үчүн һәлл едилир вә мә'лум асимптотик һәлләр илә мұғајисә едилир.

АЗЭРБАЙЖАН ССР ЕЛМЛӘР АКАДЕМИЈАСЫНЫН МӘРУЗӘЛӘРИ

ДОКЛАДЫ АКАДЕМИИ НАУК АЗЕРБАЙДЖАНСКОЙ ССР

ТОМ XXXI ЧИЛД

№ 2

1975

ЧДК. 517. 9. 518

МАТЕМАТИКА

С. Я. Якубов, С. Г. Самедова

#### КОРРЕКТНОСТЬ ЗАДАЧИ КОШИ ДЛЯ ПАРАБОЛИЧЕСКИХ УРАВНЕНИЙ

(Представлено академиком АН Азербайджанской ССР И. И. Ибрагимовым)

Рассмотрим в барабановом пространстве  $E$  задачу Коши

$$u'(t) + A(t)u(t) + B(t)u(t) = f(t), \quad u(0) = u_0, \quad (1)$$

когда оператор  $A(t)$  удовлетворяет условию:

1°. Замкнутый линейный оператор  $A(t)$  имеет всюду [плотную] область определения  $D(A(t))$  и

$$\|R(\lambda, -A(t))\| \leq C(1+|\lambda|)^{-\alpha} (\operatorname{Re} \lambda > 0)$$

при всех  $t \in [0, T]$  и некотором  $\alpha \in \left(\frac{5}{6}, 1\right]$ .

При  $\alpha = 1$  задача (1) изучена в работах [1]–[2].

При  $\frac{5}{6} < \alpha < 1$  задача (1) исследована [в работе [3]]. В этой ра-

боте кроме условия 1° дополнительно предполагается, что полугруппы, порожденные операторами  $-A(t)$  сильно непрерывны в нуле. При  $\frac{5}{6} < \alpha < 1$  задача (1) без этого дополнительного условия исследована

в работе [4, 5]. При этом автор также отказывается от требования постоянства области определения  $A(t)$ . Далее, задача (1) в случае бесконечной дифференцируемости полугруппы, порожденной операторами  $-A(t)$  исследована в работе [6].

В данной статье исследуется задача (1) при  $\alpha \in \left(\frac{5}{6}, 1\right]$ , при этом предполагается, что оператор  $B(t)$  вполне подчинен оператору  $A(t)$  с порядком  $\alpha$ . Полученный результат при  $\alpha = 1$  совпадает с результатом [7], а при  $\alpha \in \left(\frac{5}{6}, 1\right]$  усиливает результат [4].

Во всех этих работах эволюционный оператор (оператор Коши) строится в предположении гельдеровости лишь  $A(t)A^{-1}(0)$ . Но в работах [7], [8] оператор Коши построен при дополнительном предположении, а именно, предполагается, что и оператор-функция  $A^*(t)A^{-1}(0)$  удовлетворяет условию Гельдера.

**Определение 1.** Оператор  $B$  подчинен оператору  $A$  с порядком  $\alpha$  ( $0 \leq \alpha \leq 1$ ) [7], если  $D(B) \subset D(A)$  и

$$\|B V\| \leq C_\alpha (B) \|V\|^{1-\alpha} \|AV\|^\alpha \quad (V \in D(A)).$$

2. Оператор  $B$  вполне подчинен оператору  $A$  с порядком  $\alpha$  ( $0 \leq \alpha \leq 1$ ), если он ему подчинен с порядком  $\alpha$  и имеет место неравенство

$$\|B\bar{U}\| \leq \Phi_\eta(\bar{U}) + \eta \|\bar{U}\|^{1-\alpha} \|A\bar{U}\|^\alpha, \quad (\bar{U} \in D(A)), \quad (1)$$

где  $\eta$  — любое малое число,  $\Phi_\eta(V)$  — непрерывный выпуклый функционал от  $V \in E$ .

**Лемма.** Если оператор  $BA^{-\alpha}$  вполне непрерывен и банахово пространство  $E$  рефлексивно, то  $B$  вполне подчинен оператору  $A$  с порядком  $\alpha$ .

**Теорема 1.** Пусть выполнено условие 1°. Пусть, далее:

2°.  $D(A(\tau)) \subset D(A(t))$ , если  $0 \leq \tau \leq t \leq T$ ; при любых  $0 \leq s \leq \tau, t \leq T$  и некотором  $\epsilon > 0$  имеет место неравенство

$$\|[A(t) - A(\tau)] A^{-1}(s)\| \leq C |t - \tau|^{53+\epsilon}, \text{ где } \beta = \alpha^{-1} - 1.$$

3° Оператор  $B(t)$  вполне подчинен оператору  $A(t)$  с порядком  $\alpha$  и при любых  $0 \leq s \leq \tau, t \leq T$  и некотором  $\epsilon > 0$  имеет место неравенство

$$\|[B(t) - B(\tau)] A^{-1}(s)\| \leq C |t - \tau|^{53+\epsilon}$$

4°. При любых  $0 \leq \tau, t \leq T$  и некотором  $\theta > 0$  имеет место неравенство

$$\|f(t) - f(\tau)\| \leq C |t - \tau|^{2\beta+\theta}$$

5°.  $u_0 \in D(A(0))$ .

Тогда задача Коши (1) на  $[0, T]$  имеет единственное решение, причем имеют место оценки

$$\|u\|_C \leq M_T (\|Au_0\| + \|f\|_C),$$

$$\|u\|_{C_h} + \|Au\|_{C_h} \leq M_{h,T} (\|u_0\| + \|f\|_{C^{0,2\beta+\theta}}).$$

где  $C = C([0, T], E)$ ,  $C_h^k = C^k([h, T], E)$ ,  $C^{0,\tau} = C^{0,\tau}([0, T], E)$ .

**Доказательство.** Докажем, что для оператора  $A(t) + B(t)$  выполняется условие 1°. В (2) вместо  $U$  подставляя  $\bar{U} = RU = R(\lambda, -A(t))u$ , получим

$$\|B(t)Ru\| \leq \Phi_\eta(Ru) + \eta \|Ru\|^{1-\alpha} \|A(t)Ru\|^\alpha$$

или

$$\begin{aligned} \|B(t)R(\lambda, -A(t))\| &\leq \|\Phi_\eta\| \|R\| + \eta \|A(t)R\|^\alpha \|R\|^{1-\alpha} \leq \\ &\leq \|\Phi_\eta\| \frac{C}{(1+|\lambda|)^\alpha} + \eta \left( \frac{C}{(1+|\lambda|)^{(1-\alpha)\alpha}} + \frac{C|\lambda|^\alpha}{(1+|\lambda|)^\alpha} \right). \end{aligned}$$

Выберем  $\eta$ , столь малым, чтобы второе слагаемое стало меньше  $\frac{1}{2}$  при  $\operatorname{Re} \lambda \geq 0$ . Далее, выберем  $\omega$  таким, чтобы первое слагаемое стало меньше  $\frac{1}{2}$  при всех  $\lambda$  с  $\operatorname{Re} \lambda \geq \omega$ . Тогда  $\|B(t)R(\lambda, -A(t))\|$  будет

меньше 1 при всех  $\lambda$  с  $\operatorname{Re} \lambda \geq \omega$ . Воспользовавшись тождеством  $-(A(t) + B(t)) - \lambda I = [-I + B(t)B(\lambda, -A(t))] (A(t) + \lambda I)$  получим  $\|R(\lambda, -A(t) - B(t))\| \leq C(1+|\lambda|)^{-\alpha}$ , т. е. для оператора  $A(t) + B(t)$  выполняется условие 1° при всех  $\lambda$  с  $\operatorname{Re} \lambda \geq \omega$ . Применяя к задаче (1) результаты работ [5,7], докажем теорему.

2. Рассмотрим задачу Коши

$$L(t, 0_t)u = u''(t) + (a_1 A(t) + A_1(t))u'(t) + (a_2 A^2(t) + A_2(t))u(t) = f(t) \quad (3)$$

$u(0) = u_0, u'(0) = u_1$

в банаховом пространстве  $E$ , где  $a_1, a_2$  — числа,  $A(t), A_1(t), A_2(t)$  — вообще говоря, неограниченные операторы. Сводя задачу (3) заменой  $V_1(t) = (D_t - \omega_2 A(t))u(t)$ ,  $V_2(t) = (D_t - \omega_1 A(t))u(t)$ , где  $\omega_1, \omega_2$  корни уравнения  $\omega^2 + a_1 \omega + a_2 = 0$  к задаче (1) доказываем следующую теорему.

**Теорема 2.** Пусть выполнены следующие условия:

1°. Замкнутый линейный оператор  $A(t)$  имеет всюду плотную область определения  $D(A(t))$  и

$$\|R(\lambda, A(t))\| \leq C(1+|\lambda|)^{-\alpha} \left( |\arg \lambda| < \frac{\pi}{2} + \varphi \right).$$

при всех  $t \in [0, T]$  и некотором  $\alpha \in \left(\frac{5}{6}, 1\right]$ ,  $\varphi > 0$ .

2°.  $|\arg \omega_k| < \varphi$  ( $k = 1, 2$ ).

3° Операторы  $A(t)$  и  $A_2(t) A^{-1}(t)$  вполне подчинены оператору  $A(t)$  с порядком  $\alpha$ .

4°  $D(A(\tau)) \subset D(A(t))$  при  $0 \leq \tau \leq t \leq T$ ; оператор-функция  $A(t) A^{-1}(\tau)$  при  $0 \leq \tau \leq t \leq T$  сильно непрерывно дифференцируема по  $t$ ; при  $0 \leq s \leq \tau, t \leq T$  и некотором  $\epsilon > 0$  имеют место неравенства

$$\|[A(t) - A(\tau)] A^{-1}(s)\| \leq C |t - \tau|^{53+\epsilon}$$

$$\|[A_1(t) - A_1(\tau)] A^{-1}(s)\| \leq C |t - \tau|^{53+\epsilon}$$

$$\|[A_2(t) A^{-1}(t) - A_2(\tau) A^{-1}(\tau)] A^{-1}(s)\| \leq C |t - \tau|^{53+\epsilon}$$

$$\|[A'(t) A^{-1}(t) - A'(\tau) A^{-1}(\tau)] A^{-1}(s)\| \leq C |t - \tau|^{53+\epsilon}, \text{ где } \beta = \alpha^{-1} - 1.$$

5°. При любых  $t, \tau \in [0, T]$  и некотором  $\theta > 0$  имеет место неравенство

$$\|f(t) - f(\tau)\| \leq C |t - \tau|^{2\beta+\theta}$$

6°.  $u_0 \in D(A(0)) \cap D(A_2(0))$ ,  $u_1 \in D(A(0))$ .

Тогда задача Коши (3) на  $[0, T]$  имеет единственное решение, причем имеют место оценки

$$\|u\|_C + \|Au\|_C \leq M_T (\|Au_0\| + \|f\|_C)$$

$$\|u\|_{C_h} + \|Au\|_{C_h} + \|A^2 u\|_{C_h} \leq M_{h,T} (\|u_0\| + \|f\|_{C^{0,2\beta+\theta}}).$$

3. Теперь рассмотрим задачу Коши в банаховом пространстве  $E$

$$u''(t) + A(t)u'(t) + B(t)u(t) = f(t) \quad (4)$$

$$u(0) = u_0, u'(0) = u_1$$

Сводя задачу (4) заменой  $V_1(t) = A(t)u(t) + u'(t)$ ,  $V_2(t) = u'(t)$  задаче (1) устанавливаем корректность задачи (4).

**Теорема 3.** Пусть выполнены следующие условия:

1° Замкнутый линейный оператор  $A(t)$  имеет всюду плотную область определения  $D(A(t))$  и

$$\|R(\lambda, -A(t))\| \leq C(1+|\lambda|)^{-\alpha} \quad (\operatorname{Re} \lambda > \omega)$$

при всех  $t \in [0, T]$  и некотором  $\alpha \in \left(\frac{5}{6}, 1\right]$ .

2. Оператор  $B(t) A^{-1}(t)$  замкнут, выполняется неравенство

$$\|R(\lambda, -B(t) A^{-1}(t))\| \leq C(1+|\lambda|)^{-\beta} \quad (\operatorname{Re} \lambda > \omega).$$

при всех  $t \in [0, T]$  и некотором  $\beta \in \left(\frac{5}{6}, 1\right]$ .

3° Оператор  $B(t) A^{-1}(t)$  вполне подчинен оператору  $A(t)$  с порядком  $\alpha + \beta - 1$ .

4°.  $D(A(\tau)) \subseteq D(A(t))$ ,  $D(B(\tau)A^{-1}(\tau)) \subseteq D(B(t)A^{-1}(t))$  при  $0 < \tau < t < T$ ; оператор-функция  $A(t)A^{-1}(\tau)$ , при  $0 \leq \tau \leq t \leq T$  сильно непрерывно дифференцируема по  $t$ ; при любых  $0 \leq s \leq \tau, t \leq T$  и некотором  $\epsilon > 0$  имеют место неравенства

$$\| [A'(t) - A'(\tau)] A^{-1}(s) \| \leq C |t - \tau|^{5\beta+1}$$

$$\| [B(t)A^{-1}(t) - B(\tau)A^{-1}(\tau)] A^{-1}(s) \| \leq C |t - \tau|^{5\beta+1}$$

$$\| [E(t)A^{-1}(t) - B(\tau)A^{-1}(\tau)][B(s)A^{-1}(s) + w_0] \| \leq C |t - \tau|^{5\beta+1}$$

5°. При любых  $t, \tau \in [0, T]$  и некотором  $\epsilon > 0$  имеет место неравенство

$$\| f(t) - f(\tau) \| \leq C |t - \tau|^{2\beta+1}$$

6°.  $u_0 \in D(A(0)) \cap D(A_2(0))$ ,  $u_1 \in D(A(0))$ .

Тогда задача Коши (4) на  $[0, T]$  имеет единственное решение, причем имеют место оценки

$$\| u \|_C + \| Au \|_C \leq M_T (\| Au_0 \| + \| f \|_C)$$

$$\| u \|_{C_h} + \| Au \|_{C_h} + \| Bu \|_{C_h} \leq M_{h,T} (\| u_0 \| + \| f \|_{C,2\beta+1}).$$

Теорема 3 для постоянных операторов  $A(t) = A$ ,  $B(t) = B$  доказана в [9].

#### ЛИТЕРАТУРА

- Соболевский П. Е. Труды Московск. Матем. об-ва, 10, 1961, 297—350.
- Тапаве Н. Osaca Math. J., 12, 1960, 145—166.
- Роулсен Е. T. Math. Zeitsch., 90, 1965, 286—399.
- Якубов С. Я. Спец. вопр. функции, анализа и их прилож. к теории дифф. уравн. и теории функций. Баку, 1968.
- Якубов С. Я. ДАН СССР, 176, 3, 1967, 515—518.
- Соболевский П. Е. ДАН СССР, 2, 1958, 292—295.
- Крейн С. Г. Линейные дифференциальные уравнения в банаховом пространстве. М., 1967.
- Мамедов Я. Д., Соболевский П. Е. Труды Воронежского семинара по функциональному анализу. ВГУ, 1963.
- Раскин В. Г. Автореф., Воронеж, 1966.

Институт математики и механики

Поступило 15. IV 1974

С. Я. Якубов, С. Г. Самедова

#### Параболик тәнникләр үчүн Коши мәсәләсүнин корректлији

##### ХУЛАСӘ

Мәғоләнин 1-чи һиссәсендә [1] Коши мәсәләсүнин корректлији исбат едилмишdir. (1) мәсәләси үчүн исбат едилмиш теоремин тәтбиги илә (3) вә (4) Коши мәсәләләринин корректлији исбат олуимушдур.

S. J. Jakubov, S. G. Samedova

#### The correctness of Cauchy problem for parabolic equations

##### SUMMARY

In the first of the paper it is proved the correctness of Cauchy problem (1). Applying theorem; proved for the problem (1), it is proved the correctness of problem (3) and (4).

АЗЭРБАЙЧАН ССР ЕЛМЛЭР АКАДЕМИЈАСЫНЫН МӘРҮЗӘЛӘРИ

ДОКЛАДЫ АКАДЕМИИ НАУК АЗЕРБАЙДЖАНСКОЙ ССР

ТОМ XXXI ЧИЛД

№ 2

1975

УДК—5393

#### МАТЕМАТИКА

Р. Ю. АМЕНЗАДЕ, М. Б. АХУНДОВ

#### ВЫПУЧИВАНИЕ НЕЛИНЕЙНО-УПРУГОГО СТЕРЖНЯ

(Представлено академиком АН Азербайджанской ССР А. И. Гусейновым)

Рассмотрим задачу выпучивания скатого силой  $T$  стержня с начальным прогибом, изготовленного из нелинейно-упругого материала с учетом геометрической нелинейности.

В работе [3] эта задача решалась при относительно слабой нелинейности материала ( $n=2$ ).

Данная задача решается видоизмененным для упруго-пластического случая смешанным вариационным принципом Мак-Комба, Сандерса, Шлехте, для которого функционал имеет вид:

$$K = \int_v [\dot{\sigma}_{ij} \dot{e}_{ij} + \frac{1}{2} \dot{u}_{e,i} \dot{u}_{e,j} \sigma_{ij} - \frac{1}{2} \dot{e}_{ij}^m \dot{\sigma}_{ij}] dv - \int_{S_d} \dot{T} (\dot{u}_i - \dot{u}_l) ds - \int_{S_s} \dot{\bar{T}} \dot{u}_i ds$$

Здесь дифференцирование идет по параметру нагрузки  $T$ . Для этой задачи функционал будет:

$$K = \int_v \left( \dot{\sigma} \dot{e} + \frac{1}{2} W_x^2 \sigma - \frac{1}{2} \dot{e}^m \dot{\sigma} \right) dv + \dot{T} [\dot{u}(e) - \dot{u}(0)]$$

Во втором слагаемом оставлены только члены, содержащие квадраты или произведения наклонов.

Возьмем закон упругости вида

$$e^m = \frac{\sigma}{E} \left[ 1 + \left( \frac{\sigma}{\sigma_0} \right)^n \right], \quad (2)$$

где  $\sigma_0$ —предел текучести, а  $n$  принимает значения 2, 4, 6...

Учитывая гипотезу плоских сечений и начальное несовершенство, имеем

$$e = u_x + \frac{1}{2} (W_x^2 - W_{0,x}^2) + z (W_{xx} - W_{0,xx})$$

После дифференцирования

$$\dot{e} = \dot{u}_x + W_x W_z + z W_{xx}$$

Следуя работе [3] функционал (1) принимает вид:

$$K = - \int_0^l W_x \dot{W}_x dx + \int_0^l \dot{M} \dot{W}_{xx} dx - \frac{1}{2} \int_0^l T \dot{W}_{xx}^2 dx - \frac{1}{2} \int_0^e \int_{-h}^h \frac{\sigma^2}{E} \left[ 1 + (n+1) \left( \frac{\sigma}{\sigma_0} \right)^n \right] dx dz \quad (3)$$

При этом распределение напряжения по толщине стержня взято вида

$$\sigma = - \frac{T}{F} + \frac{M(x)}{J} z,$$

а одно измерение стержня принято равным единице.

Будем предполагать, что начальный прогиб и выпучивание происходят по одной волне синусоиды

$$W_0 = a_0 \sin \frac{\pi x}{l} \quad W = a(T) \sin \frac{\pi x}{l},$$

а момент изменяется по синусоидальному закону

$$M = b(T) \sin \frac{\pi x}{l}$$

Отсюда после дифференцирования

$$\dot{W} = \dot{a} \sin \frac{\pi x}{l} \quad \dot{M} = \dot{b} \sin \frac{\pi x}{l},$$

где  $\dot{a}$  и  $\dot{b}$ —варьируемые величины.

Учитывая в (3) вид аппроксимирующих функций, после интегрирования будем иметь

$$K = - \frac{a \dot{a} \pi}{2l} - \frac{\dot{a} \dot{b} \pi^2}{2l} - \frac{T a^2 \pi^2}{4l} - \frac{h l^a a^2}{E} - \frac{h^3 b^2 l}{6EJ^2} - \frac{n+1}{2E \sigma_0^n} \left\{ \sum_{p=0}^{n/2} \frac{n!}{(n-2p)!(2p)!} \frac{2h^{2p+1}}{2p+1} \frac{\dot{a}^2 a^{n-2p} l}{V\pi} \left( \frac{b}{J} \right)^{2p} \times \right. \\ \times \frac{\Gamma(\frac{2p+1}{2})}{\Gamma(p+1)} + 2 \sum_{p=0}^{n/2-1} \frac{n!}{(n-2p-1)!(2p+1)!} \times \\ \times \frac{2h^{2p+3}}{2p+3} \frac{\dot{a} \dot{b} b^{2p+1} a^{n-2p-1} l}{J^{2p+2} V\pi} \frac{\Gamma(\frac{2p+3}{2})}{\Gamma(p+2)} + \\ \left. + \sum_{p=0}^{n/2} \frac{n!}{(n-2p)!(2p)!} \frac{2h^{2p+3}}{2p+3} \frac{\dot{b}^2 b^{2p} a^{n-2p} l}{J^{2p+2} V\pi} \frac{\Gamma(\frac{2p+3}{2})}{\Gamma(p+2)} \right\}, \quad (4)$$

где  $a = \frac{T}{F}$ ,  $\Gamma(n)$ —гамма-функция Эйлера.

Приравнив  $\frac{\partial K}{\partial a} = 0$ ,  $\frac{\partial K}{\partial b} = 0$  получим систему обыкновенных дифференциальных уравнений:

$$a + \dot{b} + T \dot{a} = 0$$

$$2 \sum_{p=0}^{n/2-1} \frac{n!}{(n-2p-1)!(2p+1)!} \frac{2h^{2p+3}}{2p+3} \frac{l B^{2p+1} T^{n-2p-1}}{J^{2p+2} F^{n-2p} V\pi} \times \\ \times \frac{\Gamma(\frac{2p+3}{2})}{\Gamma(p+2)} +$$

$$+ \sum_{p=0}^{n/2} \frac{n!}{(n-2p)!(2p)!} \frac{4h^{2p+3}}{2p+3} \frac{\dot{b} b^{2p} l}{J^{2p+2} V\pi} \frac{T^{n-2p}}{F^{n-2p}} \frac{\Gamma(\frac{2p+3}{2})}{\Gamma(p+2)} = 0 \quad (5)$$

Принимая во внимание, что  $T = 1$  и начальное условие  $b = 0$  при  $t = 0$ , первое уравнение системы (5) примет вид

Подставляя это выражение во второе уравнение системы будем иметь:

$$-\frac{\pi^2}{2l} \ddot{a} + \frac{h^3 l a}{3EJ^2} + \frac{h^3 l T \dot{a}}{3EJ^2} + \\ + \frac{n+1}{2E \sigma_0^n} \left\{ \sum_{p=0}^{n/2-1} \frac{4n!}{(n-2p)!(2p+1)!(2p+3)} \frac{\Gamma(\frac{2p+3}{2})}{\Gamma(p+2)} \times \right. \\ \times \frac{1}{V\pi} \frac{h^{2p+3} l a^{2p} T^n}{J^{2p+2} F^{n-2p}} [(n+1)a + (2p+1)\dot{a}T] + \\ + \frac{4h^{n+3}}{n+3} \frac{l}{V\pi} \frac{\Gamma(\frac{n+3}{2})}{\Gamma(\frac{n+4}{2})} \frac{a^{n+1} T^n}{J^{n+2}} + \\ \left. + \frac{4h^{n+3}}{n+3} \frac{1}{V\pi} \frac{\Gamma(\frac{n+3}{2})}{\Gamma(\frac{n+4}{2})} \frac{l a^n \dot{a} T^{n+1}}{J^{n+2}} \right\} = 0$$

Умножив полученное уравнение на эйлерову силу  $T_0 = \frac{\pi^2 E J}{l^2}$  и переходя к безразмерным величинам

$$\frac{T}{T_0} = \tau \quad \frac{a}{l} = \gamma \quad \frac{E}{\sigma_0} = \eta \quad \frac{h}{l} = \xi \quad \gamma = \xi y$$

и принимая обозначения

$$\pi^{2n} \eta^n \xi^n = \lambda^n$$

$$2 \cdot 3^{2p-n+1} \frac{1}{V\pi} \frac{(n+1)^2 n!}{(n-2p)!(2p+1)!(2p+3)} \frac{\Gamma(\frac{2p+3}{2})}{\Gamma(p+2)} = A_p^I$$

$$2 \cdot 3^{2p-n+1} \frac{1}{V\pi} \frac{(n+1)!(2p+1)}{(n-2p)!(2p+1)!(2p+3)} \frac{\Gamma(\frac{p+3}{2})}{\Gamma(p+2)} = A_p^{II}$$

$$6 \frac{n+1}{n+3} \frac{1}{V\pi} \frac{\Gamma\left(\frac{n+3}{2}\right)}{\Gamma\left(\frac{n+4}{2}\right)} = B$$

окончательно получаем нелинейное дифференциальное уравнение первого порядка:

$$\dot{y} = y - \frac{1 + \lambda^n \tau^n \left[ By^n + \sum_{p=0}^{n/2-1} A_p^I y^{2p} \right]}{1 - \tau - \lambda^n \tau^{n+1} \left[ By^n + \sum_{p=0}^{n/2-1} A_p^{II} y^{2p} \right]} \quad (6)$$

здесь дифференцирование идет по безразмерному параметру  $\tau$ .

Взяв  $\lambda = 10$  и  $\lambda = 20$ , решена задача Коши для уравнения (6) при следующих начальных условиях

$$\begin{aligned} \tau = 0 & \quad y_0 = 0,1 \\ \tau = 0 & \quad y_0 = 0,2 \end{aligned}$$

для значений  $n$  равных 4 и 6.

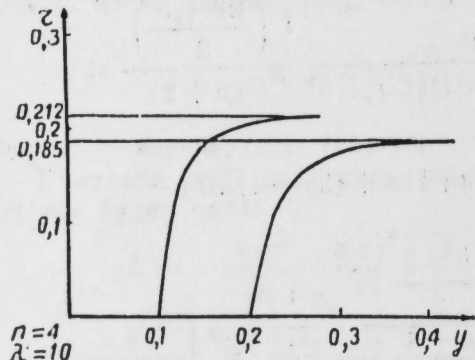


Рис. 1.

	$n$	$\lambda$	$y_0$	$\tau_{kp}$
4	10	0,1	0,212	
		0,2	0,185	
	20	0,1	0,126	
		0,2	0,110	
6	10	0,1	0,207	
		0,2	0,179	
	20	0,1	0,118	
		0,2	0,102	

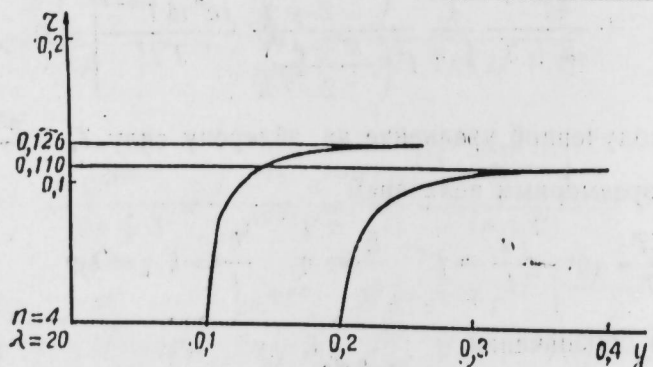


Рис. 2.

Эта задача решена методом Рунге—Кутта на ЭЦВМ „Наир“ (рис. 1, 2, 3, 4).

Значения критических сил выпучивания, определяемые из условия  $\dot{y}_0 = 0$ , даны в таблице.

В дальнейшем предполагается решить эту задачу с учетом эффекта разгрузки.

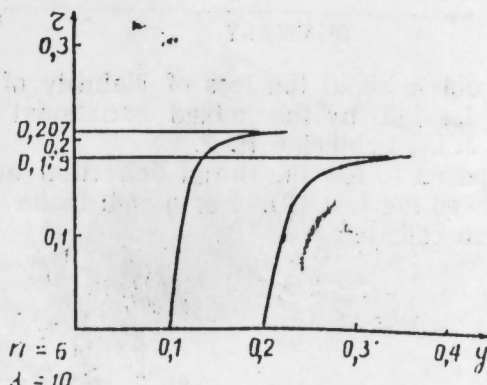


Рис. 3.

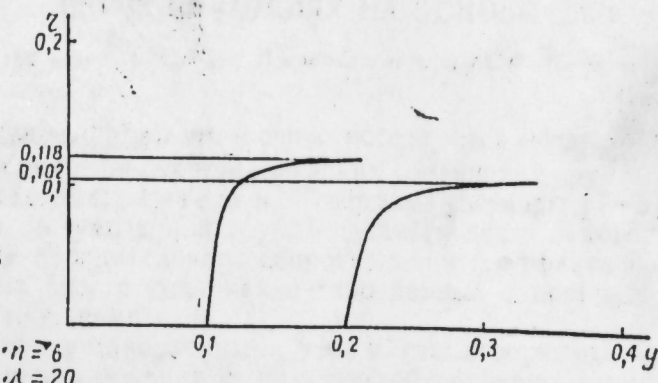


Рис. 4.

#### ЛИТЕРАТУРА

1. Sanders J. L., Mc Comb, H. G., Schlechte F. R. A variational theorem for creep with applications to plates and columns. NACA Rep. № 1349 1957.
2. Работы Ю. Н. Ползучесть элементов конструкций. „Наука“, 1966.
3. Аменизаде Р. Ю. Выпучивание скатого стержня, изготовленного из нелинейного материала. Уч. зап. АГУ, № 1, 1970.

АГУ им. С. М. Кирова

Поступило 26. V 1972

Р. Ю. Эменизаде, М. Б. Ахундов

Гејри-хэтти еластик чубуғун габарыглығы

#### ХҮЛАСӘ

Мәгарләдә Мак—Комб, Сандерс вә Шлехте гарышыг вариасија принципи илә башланғыч эյрилий верилән гејри-еластик чубуғун габарыглығы мәсәләси һәлл едилмишdir. Материал (2) еластики ганнуна табедир. Критик гүввәнин гијмәти  $n = 4,6$  үчүн несабламышдыр (чәдвәл 1).

## The lost of stability of nonlinear elastic shaft

## SUMMARY

This work the problem about the loss of stability of nonlinear—elastic shaft had been desided by the mixed variational principle of Mc. Comb H. G. Sanders J. L., Schlechte F. R.

The shaft is supposed to has the initial deflection an manufactured from the material obeyed the law (2). For  $n = 4; 6$  the meaning [of the critical forces had been calculated.

УДК 519. 3:62—50

## ФИЗИКА

Б. Г. ТАГИЕВ, А. К. КОТ, Ф. И. ПЛИЕВ

ПРИРОДА НИЗКООМНОГО СОСТОЯНИЯ В БИСТАБИЛЬНЫХ  
ПЕРЕКЛЮЧАТЕЛЯХ НА ОСНОВЕ GaSe

(Представлено академиком АН Азербайджанской ССР Г. Б. Абдуллаевым)

В настоящее время интенсивно исследуется эффект переключения с памятью в ряде монокристаллических соединений группы  $A^{III}B^{VI}$ , таких как GaSe, GaS, CaTe и их твердые растворы [1—3]. Известные публикации по указанной группе веществ дают некоторые сведения о механизме отрицательного сопротивления и эффекта переключения, однако в них отсутствуют какие-либо данные о природе низкоомного состояния, т. е. памяти.

Считается установленным, что в стеклообразных бистабильных материалах переключение с памятью обусловлено структурными изменениями в локальной области—канале между электродами. Хотя структурные изменения в канале являются общей причиной памяти, тем не менее природа их, а следовательно, механизм памяти различны для разных материалов.

В многих стеклообразных полупроводниках, в которых обнаружен эффект переключения с памятью, образование низкоомного состояния связывают с появлением в канале термодинамически стабильной кристаллической фазы того же состава, что и высокоомное аморфное исходное вещество [4].

Иногда низкоеомное состояние характеризуется новой фазой, отличающейся от исходного материала, которая может иметь полуметаллическую [5] или металлическую проводимость [6].

В настоящей работе приводятся результаты исследований низкоомного состояния в монокристалле GaSe и некоторые аспекты механизма памяти в этом материале.

Нами было обнаружено, что при облучении пластины ионами аргона с энергией 6 кэв в вакууме  $5 \cdot 10^{-6}$  тор на ее поверхности образуются капли Ga, размер которых зависит от времени облучения.

На рис. 1 показана структура поверхности пластины GaSe после облучения ее ионами аргона в течение 1,5 (рис. 1, а) и 3 ч (рис. 1, б), (ув. в обеих случаях 250). Процесс распада GaSe под действием ионов аргона позволил сделать предположение о том, что механизм памяти в GaSe и природа низкоомного состояния обусловлены выделением кластеров Ga в шнуре между электродами с последующим

образованием непрерывной низкоомной цепочки. В соответствии с этим предположением были проведены микроскопические исследова-

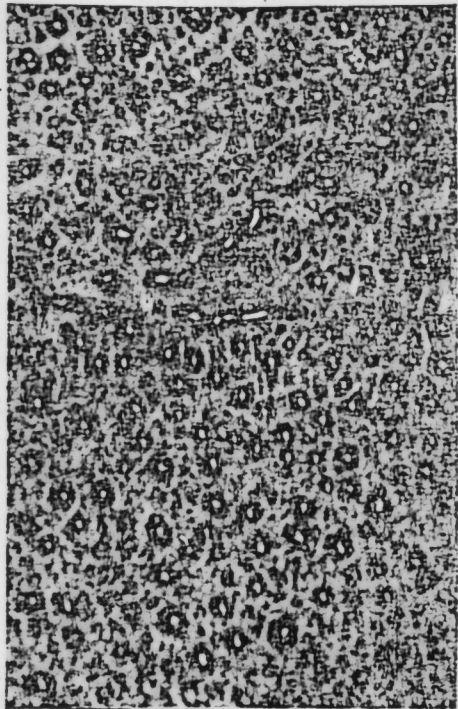


Рис. 1. Структура поверхности пластины после облучения ионами аргона в течение 1,5 (а) и 3 ч (б). Ув. в обоих случаях 400×.

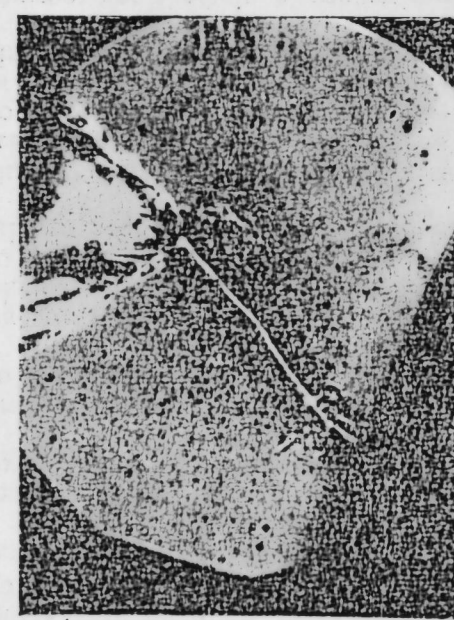
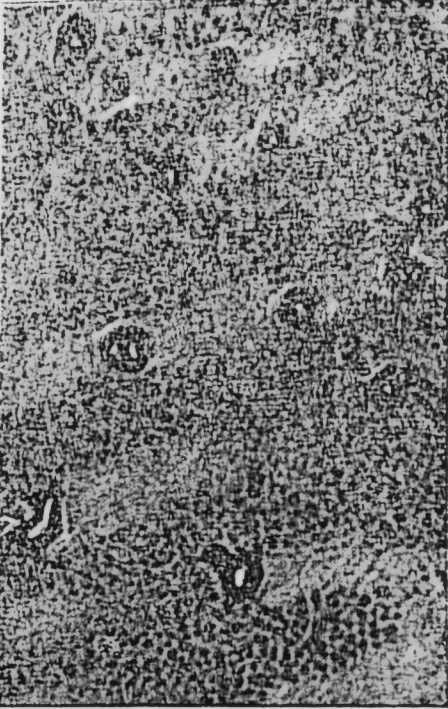


Рис. 2. Фото каналов памяти, полученных в направлении перпендикулярно оси С по поверхности образца (а, ув. 600×) и объемные каналы под углом к оси С (б, ув. 400×).

ния активной области переключателя на основе GaSe с одновременным наблюдением и регистрацией вольтамперных характеристик (ВАХ) в статическом и динамическом режимах.

Образцы для экспериментов изготавливались путем скола монокристаллов GaSe с вплавлением контактов из индия. Разработанная нами методика изготовления контактов позволила получать зазор между электродами порядка 10–15 мкм.

На рис. 2 представлены каналы памяти, полученные с помощью оптического микроскопа МБИ-6 в направлении  $\perp$  оси С по поверхности образца (рис. 2, а), а также объемные каналы под углом к оси С (рис. 2, б). На рис. 3 иллюстрируется момент образования кластеров Ga, предшествующий установлению низкоомного состояния. Зарождение кластеров Ga и образование из них непрерывной низкоомной области-канала происходит в условиях воздействия нескольких факторов: электрического поля, температуры и градиента температуры.

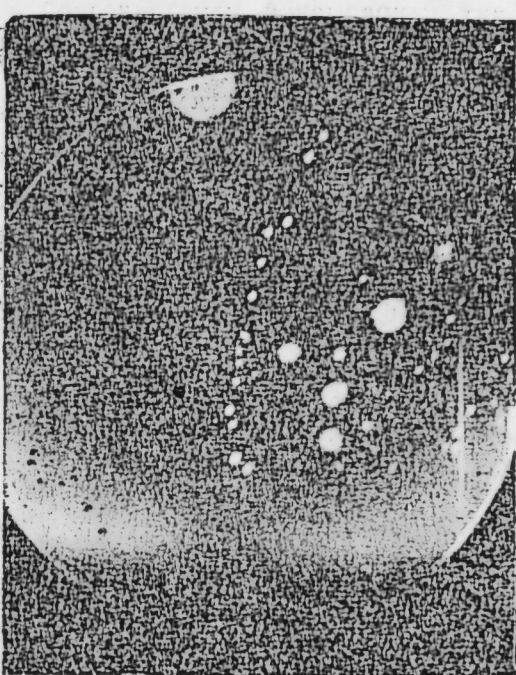


Рис. 3. Образование кластеров галлия.

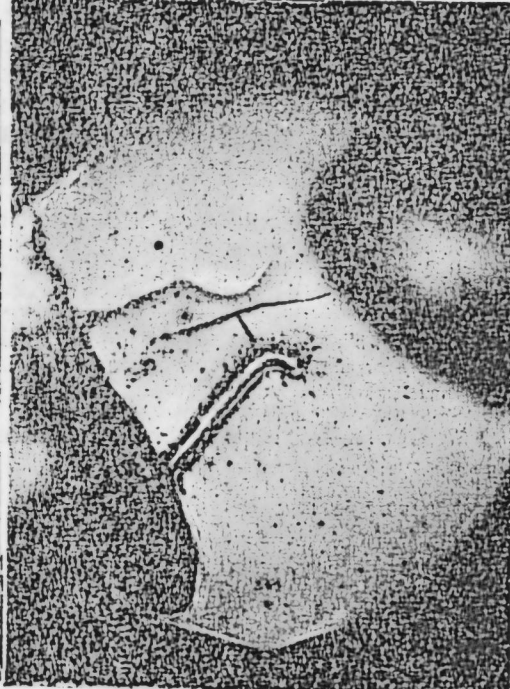


Рис. 4. Фото проводящего канала, развивающегося от анода к катоду. Ув. 600×

Замечено, что имеет место анизотропный распад GaSe в направлении электрического поля и установлено, что зарождение кластеров Ga и рост каналов развиваются от анода к катоду (рис. 3 и 4).

Следует отметить, что температура анода вблизи порогового напряжения переключения выше, чем температура катода. Об этом свидетельствует наблюдаемое визуально расплавление части электрода анода, контактирующей с активной областью переключателя.

Возможность наблюдения кинетики процесса зарождения и образования каналов с регистрацией их геометрических размеров позволили оценить температуру, развивающуюся в канале, при переключении по формуле [7].

$$\Delta T = \frac{A \epsilon_0 e E^2}{2 a C}$$

где  $E$ —электрическое поле (пороговое),  
 $A$ —площадь контактов,  
 $a$ —поперечное сечение канала,

$C$ —теплоемкость,  
 $\epsilon_0$ —диэлектрическая проницаемость вакуума,  
 $\epsilon$ —относительная проницаемость среды.

Подставляя значения величин, входящих в формулу  $E = 5 \cdot 10^7 \text{ В} \cdot \text{м}^{-1}$ ,  
 $A = 10^{-6} \text{ м}^2$ ,  $a = 7 \cdot 10^{-11} \text{ м}^2$ ,  $c = 1,5 \text{ дж} \cdot \text{м}^{-3} \text{ град}^{-1}$ ,  $\epsilon_0 = 8,85 \cdot 10^{-12} \text{ ф} \cdot \text{м}^{-1}$ ,  
 $\epsilon = 10$ , находим, что для исследуемых переключателей на основе  
 $\text{GaSeAT} \approx 1000^\circ\text{C}$ .

Дифференциальный термический анализ, проведенный с навеской, состоящей из нескольких сот образцов, переключенных в низкоомное состояние, показал эндотермический пик плавления Ga, что явилось прямым доказательством наличия его в канале. Таким образом, на основе микроскопических исследований можно заключить, что переход GaSe из высокоомного состояния в низкоомное обусловлен выделением кластеров Ga и образованием из них непрерывной металлической цепочки мостика между электродами.

В заключение выражаем искреннюю благодарность чл.-корр. АН СССР Г. Б. Абдуллаеву за ценные советы и критические замечания при обсуждении результатов данной работы.

#### ЛИТЕРАТУРА

1. Leviadl A., Romeo N. Nuovo Cim. LXIII; 41, 1969.
2. Romeo N. Phys. Stat. Sol., 36, 153. 1969.
3. Salajev E. Ju., Tagjev B. G., Rzajev M. A., Nanj R. Kh., Abdullaeva S. H., Mamedov G. M., Ascerov I. M., Plijev F. I. Phys. stat. Sol. (a) 16, K 143, 1973.
4. Marshall J. M., Owen A. E. Phil. Mag. 24, 1281, 1971.
5. Takamoty T., Koy R. and Carthy G. J. Mc. J. App. Phys., 42, 2577, 1971.
6. Thorubury David D. White Robert M. J. Appl. Phys., 1972, 43, № 11, 4609—4612.
7. Klein N. Physics vol., 26. L. Morfon Ed., New-Jork. Academic Press., 1969, pp. 309—424

Институт физики

Поступило 17. VII 1974

Б. Н. Тағиев, А. Б. Кот, Ф. И. Плиев

GaSe әсасында һазырланмыш бистабил ашырычыларда  
јүксәккечирилии тәбиәти

#### ХҮЛАСӘ

Мәгәләдә МБИ-6 типли микроскоп vasitəsi илә GaSe әсасында җарылыш ашырычыларда электрик җадашының механизми тәдгиг едилмиш вә ejni заманда һәмин чиңазда чәрәҗаның кәркинликдән асылылығы статик вә динамик режимләрдә чыхарылышдыр.

[B. G. Taglyev, A. B. Kot, F. I. Pliyev

The Character of Low-ohmic states in bistable  
switches [based on GaSe]

#### SUMMARY

The paper discusses the results of the microscopic studying of the active region of the switching effect based on GaSe. Simultaneously the volt-ampere characteristics have been observed and recorded under the static and dynamic conditions. The mechanism of memory and the character of the low-ohmic state have been observed to be due to the release of GeSe cluster in the cord between the electrodes followed by continuous low-ohmic chain formation.

УДК 577.33

Чл.-корр. АН СССР Г. Б. АБДУЛЛАЕВ, Ш. В. МАМЕДОВ,  
А. И. ДЖАФАРОВ, Н. М. МАГОМЕДОВ

#### БИОФИЗИКА

### ИЗУЧЕНИЕ ФОТОИНДУЦИРОВАННЫХ СВОБОДНОРАДИКАЛЬНЫХ СОСТОЯНИЙ В ПИГМЕНТНОМ ЭПИТЕЛИИ ГЛАЗА ЖИВОТНЫХ

В последние 20 лет установлено несомненное участие свободно-радикальных состояний в фотос- и радиобиологических, а также в ряде ферментативно-метаболических реакциях. Тем не менее изучению роли свободорадикальных состояний в фотопротекторном акте посвящено ограниченное число исследований. Впервые Коупом с сотрудниками [4], а в дальнейшем Остроеским и Каюшиным [1—3] были обнаружены сигналы ЭПР и увеличение их интенсивности при освещении как во фракции меланопротеиновых гранул, так и в самом пигментном эпителии (ПЭ) глаза. Однако авторами исследовалась кинетика появления—гибели фотопротекторных свободных радикалов только при  $-20 \div -196^\circ\text{C}$ , причем ими не ставилась цель—изучить свободорадикальные состояния ПЭ при различных его функциональных состояниях. Между тем выявление зависимости концентрации свободных радикалов от функционального состояния ПЭ, а также всестороннее исследование кинетических закономерностей свободорадикальных состояний в нем позволило бы ближе подойти к пониманию участия ПЭ в формировании электрического потенциала в первичном зрительном акте. Судя по изменению фотопроводимости, сигнала ЭПР, величины электрического потенциала при освещении, ПЭ принимает определенное участие в зрительном восприятии.

В последнее время было установлено повышение световой чувствительности глаза при введении в организм селенсодержащего вещества [6, 7]. Учитывая при этом локализацию значительного количества эндогенного и экзогенного селена в ПЭ, а также принимая во внимание антиоксидантные свойства селена, можно предположить, что одним из возможных путей повышения чувствительности глаза после введения селена является регуляция им свободорадикальных состояний в сетчатке [13].

Целью настоящей работы явилось исследование кинетических закономерностей свободорадикальных состояний ПЭ при различных условиях (при нативном, замороженном и лиофилизированном состояниях сетчатки и ПЭ).

С целью установления взаимосвязи между уровнем свободнорадикальных процессов и функциональным состоянием ПЭ было изучено также влияние некоторых веществ—как усиливающих (селенит натрия), так и угнетающих (йодит натрия) формирование электрического потенциала сетчатки, а также обладающего явно выраженной антиокислительной активностью (цистиамин).

### МЕТОДИКА

Опыты проводились на глазах кроликов породы „серая шиншилла“ в двух сериях. В первой серии изучалось свободнорадикальное состояние глаз животных, находившихся при различных условиях адаптации (в темновой и световой). Сетчатка и ПЭ с сопутствующим сосудистым слоем из глазного бокала темноадаптированных кроликов извлекались при слабом красном освещении. У светлоадаптированных животных все операции проводились при дневном освещении. Во второй серии опытов изолированные глаза контрольных животных подвергались световой адаптации.

Исследуемые вещества—селенит натрия (1 мг/кг живого веса), цистиамин (4 мг/100 г веса), йодит натрия (3 мл 5%-ного раствора) вводились как парентерально, так и ретробульбарно. Для энуклеации глаз животных декапитировались через 2 часа при под кожном и через 15–20 минут при ретробульбарном введении исследуемых веществ. Измерение спектров ЭПР проводилось на радиоспектрометре ЭПР-2 ИХФ Академии наук СССР и модифицированном радиоспектрометре ЭПР-2В, позволяющем регистрировать спектр ЭПР в водосодержащих образцах. В ряде опытов образцы освещались вне резонатора. Источником света при световой адаптации служила лампа накаливания мощностью 500 вт, а при освещении образцов—источник (протон) мощностью 500 аттм, лазерный с  $\lambda = 630 \text{ нм}$ , мощностью 40 вт.

Измерения спектра ЭПР проводились при различных температурах (в диапазоне от  $-196$  до  $+0^\circ \text{C}$ ). При снятии кривых сигналов насыщения ЭПР изменения их сопоставляли при различных уровнях СВЧ мощности с ненасыщающимся сигналом кристалла  $\text{CuSO}_4$ .

### РЕЗУЛЬТАТЫ И ОБСУЖДЕНИЯ

В нативных препаратах ПЭ в темноте наблюдается сигнал ЭПР (рис. 1а), имеющий почти симметричную форму,  $g=2,0035 \pm 0,0005$ , расстояние между точками максимального наклона,  $\Delta H_m = 6 \pm 7 \text{ э}$ . При комнатной температуре отмечается насыщение сигнала ЭПР ПЭ. При этом в условиях насыщения форма сигнала не меняется, что свидетельствует о неоднородном их уширении. На рис. 2 представлена зависимость эффективного фактора насыщения:

$$Z = \frac{I_{\text{обр.}}(H_1)}{I_{\text{обр.}}(H_1 \rightarrow 0)} \cdot \frac{|I_{\text{обр.}}(H_1 \rightarrow 0)|}{|I_{\text{обр.}}(H_1)|}$$

от уровня СВЧ мощности при комнатной температуре.

При понижении уровня амплитуды ВЧ-модуляции поля в условиях насыщения сигнала наблюдается искажение его формы и появление колоколообразного сигнала (рис. 3а). Очевидно, это сигнал дисперсии, появляющийся при переходе к режиму адиабатического быстрого прохождения. При температуре жидкого азота в лиофилизованных и влажных образцах сигналы ЭПР в сильной степени насыщены, наблюдается только колоколообразный сигнал дисперсии, наложенный на слабый сигнал поглощения (рис. 3б). Наши исследования показали, что все параметры сигнала ЭПР нативных образцов одинаковы с ранее наблюдавшимися нами сигналом ЭПР от лиофилизованных препаратов ПЭ.

У лиофилизованных препаратов сигнал ЭПР имеет такую же закономерность по насыщению при  $+20$  и  $-196^\circ \text{C}$ , как у нативных. При освещении образцов ПЭ темноадаптированных животных в резонаторе интенсивность сигнала заметно возрастает (30–40%) (табл. 1).



Рис. 1. а) сигнал ЭПР во влажном ПЭ при комнатной температуре (центральная линия);

б) кинетика зарождения фотоиндуцированных свободных радикалов во влажном ПЭ при комнатной температуре.

При этом изменение фотоиндуцированного сигнала характеризуется определенной кинетикой (рис. 1б). Наблюдаются индукционный период (40 сек), а затем в течение 20 сек—резкое увеличение, максимальная интенсивность сигнала достигается в течение 2 мин, восстановление исходной интенсивности после выключения освещения происходит в течение нескольких секунд.

Однако, если глаз сильно освещался после энуклеации, то освещение препаратов в резонаторе вызывало небольшое увеличение сигнала, всего на 10–15% по сравнению с контролем. В отличие от пигментированных кроликов в препаратах ПЭ альбиносов не был зарегистрирован сигнал ЭПР. В нативных и лиофильных препаратах сетчатки, тщательно очищенных от остатков ПЭ, также не наблюдался сигнал ЭПР.

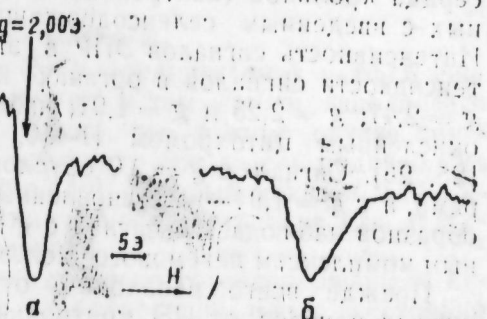
Последующие наши исследования показали, что и в сетчатке при освещении в результате фотоокисления ненасыщенных жирных кислот, входящих в состав фосфолипидов, образуются перокисные свободные радикалы. В этих экспериментах методом хемолюминесценции подробно изучены кинетические закономерности свободнорадикального перекисного окисления в фоторецепторном слое сетчатки при действии таких раздражителей, как свет, электрический ток, температура и пр. Полученные результаты позволяют высказать мысль о том, что освещение ПЭ приводит к возникновению в нем стабильных свободных радикалов, а в сетчатке—коротковивущих динамических перекисных радикалов. В первом случае за свободнорадикальное со-

стояние ответственны фотофизические, а во втором — фотохимические процессы.

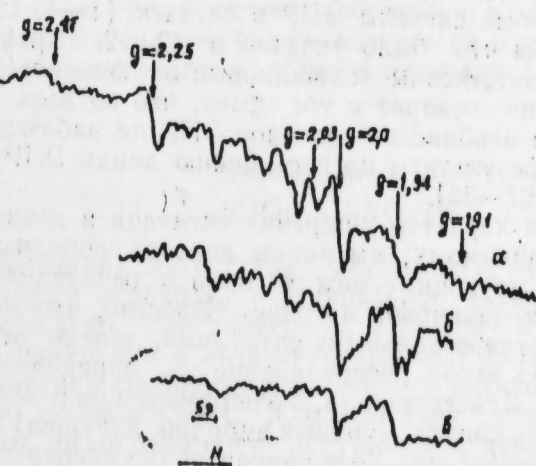
Результаты этих опытов показали, что у образцов ПЭ при темновой адаптации как животных в целом, так и изолированного глаза, введение селена (парентерально и ретробульбарно) не влияет на интенсивность сигналов ЭПР. Следует отметить, что аналогичная закономерность наблюдалась при изучении влияния  $\text{Na}_2\text{SeO}_3$  на антиокислительную активность липидов в темно-светоадаптированной сетчатке. При этом было установлено, что селенистые соединения не влияют на АОА липидов темноадаптированных сетчаток и сглаживают уменьшение их у светлоадаптированных.

При введении селена животным, светлоадаптированным дневным светом, интенсивность сигнала уменьшается в 2-3 раза. Введение селена животным и последующее сильное освещение глаза вне организма, гнооберот, приводит к

Нами было изучено влияние антиокислителей селенсодержащего вещества и цистиамина на свободнорадикальное состояние в ПЭ. Закономерность изменения сигнала при введении цистиамина одинакова



*FIG. 3.* — *W. luteus* (Linné).



*Рис. 4. Спектры ЭПР органов кроликов, после введения в организм селенсодержащего вещества: а) печень, б) почки, в) сердце.*  
 $(T = -196^{\circ}\text{C})$ .

с закономерностями, полученными в эксперименте с селеном. Приведенные в таблице результаты показывают, что в отличие от антиокислителей введение натрий-бодида вызывает значительное увеличение содержания свободных радикалов в ПЭ. При ретробулине введении селена указанные закономерности сохранились. Ретробульбарное введение NaJ приводит к увеличению, а цистичина (подкожно) — к уменьшению интенсивности сигнала на 40—50 %.

В литературе имеются сведения о том, что большое количество введенного в организм селена накапливается в печени, почках, селезенке и сердце и играет определенную роль в их функциональном состоянии [16–24]. Согласно литературным данным, соединения селена являются мощными антиоксидантами. В связи с этим представляло интерес исследовать, влияет ли введенный селен в физиологических дозах на свободнорадикальное состояние этих органов.

Были сняты спектры ЭПР замороженных препаратов печени, почек, серда кроликов (контрольных и опытных). Спектры органов животных с введенным селенсодержащим веществом показаны на рис. 4. Интенсивность сигналов ЭПР в этих спектрах не отличается от интенсивности сигналов в органах контрольных животных. Сигналы с  $g = 2,41$ ;  $g = 2,25$  и  $g = 1,91$ , наблюдавшиеся в печени, обусловлены окисленным цитохромом П-450, функционирующим в микросомах [25, 26]. Сигнал с  $g = 2,0$  обусловлен свободнорадикальными центрами, а с  $g = 1,94$ —восстановленными железосерными белками. В ряде образцов наблюдается сигнал с  $g = 2,03$ , обусловленный нитрозильным комплексом негемового железа [26].

Прежде всего необходимо отметить, что концентрация парамагнитных центров от ПЭ контрольного животного, декапитированного при обычном свете, составляет  $\sim 10^{15}$  спз/г массы влажного ПЭ. Если учесть содержание влаги в нативных образцах, то как у нативных, так и у лиофилизованных образцов исходные концентрации ПЦ совпадают. В таблице приведены интенсивности сигналов влажного ПЭ при различных условиях опыта.

Наша предыдущая работа, а также вышеупомянутые результаты показывают, что сигнал ЭПР наблюдается только в ПЭ глаза, и при тщательном отделении ПЭ от сетчатки в последней не регистрируется ЭПР даже после освещения. Это свидетельствует о том, что ранее наблюденные слабые сигналы ЭПР в сетчатке [1–4, 12] обусловлены остатками ПЭ, на что было указано в [2, 12, 13]. По-видимому, в ПЭ за сигнал ответственны меланиновые включения [1–4]. В пользу этого утверждения говорит и тот факт, что во всех исследованных структурах глаза альбиносов сигналов ЭПР не наблюдается.

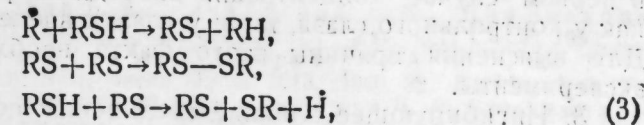
Полученные результаты по насыщению линии ЭПР можно с успехом объяснить [27–33].

Неоднородный характер уширения сигналов в данном случае показывает, что, по-видимому, мы имеем дело со свободными радикалами, слабо взаимодействующими между собой и распределенными случайным образом в меланиновой матрице. Известно, что меланин распределяется в сетчатке отдельными гранулами, далеко отдаленными друг от друга. Именно такое распределение и определяет неоднородное уширение линии. Действительно, эксперименты на различных животных (кролики, морские свинки, куриный эмбрион, лягушка) и при различных условиях показывают, что хотя концентрация неспаренных электронов меняется в достаточно широких пределах ( $10^{15} \div 10^{18}$  спз/г), однозначный характер насыщения одинаков, что свидетельствует о неоднородном распределении спинов по образцу.

Согласно литературным данным [34, 35], меланин представляет собой инертное вещество белковой природы—полимер, одномерный полупроводник [36, 37, 44].

Исходя из всего сказанного, возникновение парамагнитных центров в меланине (следовательно в ПЭ) мы объясняем наличием в нем зонной структуры энергетических уровней. В полимерной цепи меланина делокализованные орбиты связаны со всей полимерной цепочкой хиноидных мономеров. В наших опытах уменьшение содержания свободных радикалов в ПЭ при введении селенсодержащего вещества и цисти-

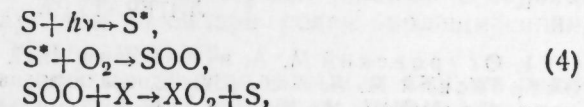
амина можно объяснить донорно-акцепторными взаимодействиями между хиноидным мономером полимера и антиоксидантами. По имеющимся данным [38, 39], как селенсодержащие вещества, т.к. и цистиамин при взаимодействии со свободными радикалами, могут распадаться по типу:



$R$ —углеводородный радикал,  $SH$ —серу или селенсодержащие аминокислоты.

При этом, по-видимому, протон ( $H^+$ ) соединяется с нижней свободной молекулярной орбитой полимера и тем самым заполняется свободная энергетическая зона. Возможно, что в этом случае скисленный меланин сам играет роль ловушки. Эта мысль подкреплена экспериментальными данными Блойса [40], который показал, что меланин способен выступать в роли химического протектора или дезактиватора свободнорадикальных состояний.

В наших опытах при испытании действия селенсодержащего вещества наряду с ингибированием свободнорадикальных состояний отмечено и заметное увеличение их концентрации в случае сильного и длительного освещения энуклеированных глаз мощным источником света. По нашему мнению, это можно объяснить тем, что при длительном и мощном освещении глаза многие ловушки свободжаются с поступлением электронов в полосу проводимости делокализованных молекулярных орбит. Оставшаяся при этом свободная дырка дает сигнал ЭПР. Однако при съяснении механизма указанного явления определенное место следует отводить фотодинамическому эффекту. По-видимому, при сильном и длительном освещении селенистые соединения могут играть роль фотосенсибилизатора. Можно предположить, что соединения селена, уже находящиеся в триплетном состоянии, соединяются с кислородом, образуя оксирадикалы по следующей схеме [41, 42]:



где  $S$ —сенсибилизатор,  $X$ —субстрат. Затем оксирадикал реагирует с меланином, который переходит в радикальное состояние.

Как было сказано, при включении и выключении света происходят обратимые изменения в интенсивности ЭПР-сигнала, т. е. зарождение и исчезновение свободных радикалов в нативном ПЭ глаза, что было наблюдано также в [3, 4]. Исходя из вышеизложенного, этот факт можно объяснить освобождением ловушек под действием света и их диспропорционированием после выключения свечения. Предложенный нами механизм не является единственным и окончательным, поэтому требуется дальнейшее исследование различных аспектов этого вопроса.

Хотелось бы обратить внимание еще на следующие моменты в данной работе:

1. Как видно из сравнения известных экспериментальных данных с нашими, полученными в лиофилизованном ПЭ и сетчатке [11–13], их характер влияния селенсодержащего вещества, и параметры линии ЭПР (даже концентрация свободных радикалов совпадает, если сделать поправку на содержание воды в нативном ПЭ) не претерпевают существенных изменений при лиофилизации. Следовательно,

ЭПР-исследования в сетчатке глаза вполне достоверны при тщательной лиофилизации.

2. При ретробульбарном введении веществ в глаз животных ингибирующий эффект такой же, что и при подкожном введении, однако в первом случае концентрация свободных радикалов меньше в ПЭ, как у контрольного глаза, так и у глаз с введенным веществом (табл.). Для выяснения причины этого факта необходимы дополнительные эксперименты.

3. Ингибирующее влияние соединения селена и цистамина проявляется только тогда, если они вводятся при дневном освещении; введение веществ в организм темноадаптированных животных не приводит к эффекту, а в ПЭ, светоадаптированных глаз наблюдается обратная картина.

4. Обращает на себя внимание резкое насыщение сигнала ПЭ, приводящее к тому, что при низких температурах сигнал поглощения практически не наблюдается и обусловлен он в основном дисперсией. Поэтому следует, по-видимому, более осторожно относиться к результатам, полученным при исследовании ПЭ методом ЭПР при низких температурах.

5. Вводимые нами дозы соединений селена практически не приводят к изменению спектра ЭПР внутренних органов животных.

6. Учитывая факты усиления светочувствительности глаз животных [6, 7] и уменьшения содержания свободных радикалов под действием соединений селена, а также снижения светочувствительности [14] и повышения концентрации СР под действием NaJ, можно предположить возможную роль свободнорадикальных состояний в формировании электрического потенциала сетчатки.

В заключение выражаем глубокую благодарность проф. Л. А. Блюменфельду за предоставленную возможность вести измерения в его лаборатории, его сотрудникам М. Г. Гольдфельду за помощь в измерениях, А. Ф. Ванину за помощь в измерениях и ценные замечания при оформлении статьи.

#### ЛИТЕРАТУРА

1. Островский М. А. и Каюшин Л. П. ДАН СССР, 151, 986, 1963. 2. Островский М. А. В сб. "Свободнорадикальные процессы в биологических системах," Тр. МОИП, М., 16, 275, 1966. 3. Островский М. А. В сб. "Физиология зрения и нормальных и экстремальных условиях." Проблемы физиологической оптики, т. XV, Изд. "Наука", 1969. 4. Соре W. P., Seeger R. J. and Rollis B. D. Arch. Biochem. et Biophys., 100, 171, 1963. 5. Трухан Э. М., Дерябкин В. Н., Островский М. А. "Биофизика", XVIII, вып. 2, 392, 1973. 6. Абдуллаев Г. В., Гаджиева Н. А., Гасанов Г. Г., Оболенская Л. В. ДАН Азерб. ССР, 27, 10, 19, 1971. 7. Абдуллаев Г. В., Гаджиева Н. А., Гасанов Г. Г., Джагаров А. И., Переягина В. В. "Селен и зрение", Баку, Элм, 1972. 8. Shimazaki F., Tappert A. L. Science, 143, 3604, 369, 1964. 9. Windle J. J., Tappert A. L., Tappert A. L. Nature, 203, 404, 1964. 10. Tappert A. L. Federat. Proc., 24 (1), 1, 73, 1965. 11. Мамедов Ш. В., Джагаров А. И., Переягина В. В., Тез. докл. II Ресспубл. конф. молодых ученых-физиков, Баку, май, 1972. 12. Абдуллаев Г. В., Мамедов Ш. В., Джагаров А. И., Переягина В. В. ДАН Азерб. ССР, XXIX, 3, 25, 1973. 13. Джагаров А. И., Переягина В. В., Мамедов Ш. В., Гусейнов Т. М. Материалы по биохимии витамина В<sub>6</sub> и селена и их применение в медицине и животноводстве. "Наукова думка", Киев, 1973. 14. Noell W. K., Amor J., Ophthal., 38, 7--90, 1954. 15. Werner K., Noell W. K., Amor J., Cell and Comp. Physiol., 37, 293, 1951; 40, 26, 1952; b; Amor J., J. of Ophthalmology, 38, 1, part II, 78--93, 1954. 16. Ермаков В. В. Тр. Всесоюз. Ин-та эксперим. ветеринар., 39, 220, 1964; Бюл. эксперим. биол. и мед., 59, 61, 1965; в сб. "Микроэлементы в Сибири" вып. 4. Улан-Удэ, 1965. 17. Andrew R. D., Grant L. B., Steerenson R. I. N., Z. J. Agre, 7, 17, 1954. 18. Виттон V., Keefer R., Swingle K., Young S. Amer. J. veterin. Res., 23, № 90, 902, 1962. 19. Grant C. A., Thalvott B., Christoff R., Medd. veterinær med. institut, Stockholm, 10, 2-5, 1961. 20. Jensen L. S., Walter E. D., Dunn G. J., S. Proc. Soc. Exptl. Biol. and Med., 112, № 4, 800, 1963. 21. Keratin, O., Bergström A. Acta veterin. Scand., 2, 60, 1961. 22. Jones G., Goldwin K. Nature, 196,

- № 4861, 1294, 1962. 23. Kuttler K. L., Marble D. M., Amer. J. veterin. Res., 21, 437, 1960; Kuttler K. L., Marble D. M., Blincoe C. Amer. J. veterin. Res., 22, 422, 1961. 24. Rosenfeld J., Beath O. A. J. Nutr., 30, № 6, 443, 1945. 25. Ванин А. Ф., Ванина Л. В., Четвериков А. Г. "Биофизика" 1970. 26. Ванин А. Ф., Четвериков А. Г., Блюменфельд Л. А., "Биофизика", XIII, 1968. 27. Rollis A. M. Phys. Rev., 91, 1071, 1953. 28. Бугай А. А. ФТГ, 4, 11, 3027, 1962. 29. Бендерский В. А., Коган Б. Я., Гачковский В. Ф., Шляпников И. Д., Сб. "Карбоцепные высокополимерные соединения." Изд. АН СССР, 1963. 30. Бендерский В. А., Блюменфельд Л. А., Приступа А. И., ВС. АI X, 1, 171, 1967. 31. Weger M. Bell. Syst. techn. J., 38, 1013, 1960. 32. Billcock A. T., Sculthorpe. Trans. Far. Soc., 60, 2112, 1964. 33. Блюменфельд Л. А., Бендерский В. А., Любченко Л. С., Стунижас П. А. ЖСХ, 8, 5, 829, 1967. 34. Пульман Б. и. Пульман А. "Квантовая биохимия" Изд. "Мир", 1965. 35. Поликар А., Бесси М. "Элементы патологии клетки". Изд. "Мир", 1970. 36. Evans M. G., Seregy J. Biochem. biophys. Acta, 3, 188, 1949. 37. Fischer H. Koll. Zs., 180, 64, 1962. 38. Уоллинг Ч. Свободные радикалы в растворах. М., ИЛ, 1960. 39. Беневоленский В. И., Кощеенко Н. Н., Веселовский В. А. В сб. "Биолюминесценция" Тр. МОИП, 1965. 40. Blöts M., Kenyon D. Proc. 4-th Intern. Photobiol. Congr., Oxford, 1964, p. 146, 41. Теренин А. Н. "Фотохимия красителей" изд. АН СССР, 1947. 42. Смит Д., Сантамария Л. и Смаллер Б. Сб. "Свободные радикалы в биологических системах". ИЛ, 1963. 43. Демирчоглы Г. Г. "Физиология и патология сетчатки глаза." Медицина", 1964. 44. Allen B. T., Ingram D. I. E. In: Blöts Is. M. S., Brown H. W., Lemmon R. M., Lindblom R. O., Weissbluth M. (Eds.), Free Radicals in Biological Systems, p. 215, Academic Press, New York, 1961.

Институты физики и физиологии  
АН Азерб. ССР,

Поступило 15. VIII 1974

Б. Абдуллаев, Ш. В. Мамедов, И. И. Чәфәров, Н. М. Мәһәммәдов

Нәյван қөзүүнүн пигмент епителлийнде ишыгын тә'сир илə  
јараимыш сәрбəст радикал сәвијелəринин тәдгиги

#### ХУЛАС

Мүхтəлиф шәралтда (натив, доңдурулмуш вə лиофил гурудулмуш вəзијүттəрдə) пигмент епителлийнде (ПЕ) сәрбəст радикал сәвијелəринин кинетик ганунаујгуулуглary вə онлara селен бирлəшмəсинин, систамиинин вə NaJ тә'сир илəрнин мөнөттүүлүкүнүн түрүнүн түшүнүүдөрү.

Көзүн ПЕ-сийндə көрүнсөн ишыгын тә'сир алтында сәрбəст радикаллар јараңыр. Мəгəлəдə селен бирлəшмəсинин вə систамиинин сәрбəст радикал əмəлə кəлмəсинин лəпкитмə просеси вə бу просесин һансы шәралтда баш иврəттөн тəччүрүбəдə тəдгиг олумушшудур. Ифрат јүксəк төзликли саңаинин күчүндөн вə температурдан асымы оларaq ЕПР сигналы дојма һалына кечир. Алымныш иётчىлəр белə фикир сөйлөмəјэ имкан верир ки, ПЕ-дəки сәрбəст радикал сәвијелəри көзүн торлу гишгىзынын электрик потенциалынын јарлымасында мүддəн рол оюнаа билəр.

Б. Абдуллаев, Ш. В. Мамедов, И. И. Чәфәров,  
Н. М. Мәһәммәдов,

Study of photoinducting free radical states in the pigment epithelium of the animal's eye

#### SUMMARY

The kinetic conformity with a low of a free radical states of the pigment epithelium (PE) under various conditions (in the native, frozen and lyophilized samples) and the influence of selenium compound, cysteamin and NaJ on this process have been investigated.

The PE of the eye generate a free radicals when irradiated with visible light. Both the inhibition influence of selenium compound, cystamin and the conditions under which this phenomenon take place is experimentally found.

The ESR signal in PE are saturates depending on a level of SHF—power and as low temperatures. It is suggested that the free radical states of PE may play a definite role in the formation of the retinal electrical potential.

АЗЭРВАЙЧАН ССР ЕЛМЛӨР АКАДЕМИЯСЫНЫН МӘРҮЗӘЛӘРИ

ДОКЛАДЫ АКАДЕМИИ НАУК АЗЕРБАЙДЖАНСКОЙ ССР

ТОМ XXXI ЧИЛД

№ 2

1975

СОПРЯЖЕННОЕ ГАЛОГЕНИРОВАНИЕ ОКИСИ ЭТИЛЕНА  
С ФОРМАЛЬДЕГИДОМ

УДК. 547. 422+547. 281. 1: 547. 512. 0

ХИМИЯ

Чл.-корр. М. М. МОВСУМЗАДЕ, В. С. МАМЕДЗАДЕ,  
И. Г. КЕРИМОВА

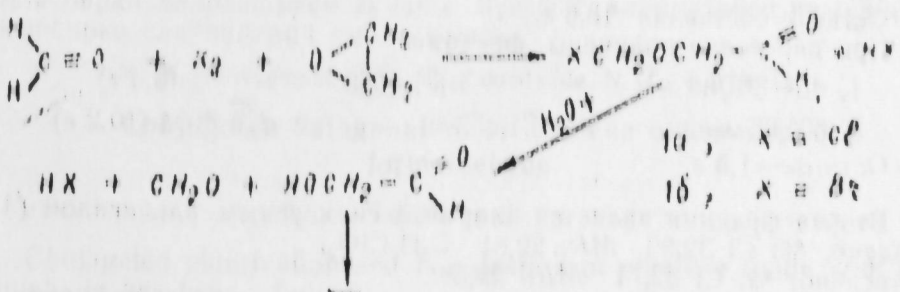
### СОПРЯЖЕННОЕ ГАЛОГЕНИРОВАНИЕ ОКИСИ ЭТИЛЕНА С ФОРМАЛЬДЕГИДОМ

Ранее показано, что комплексы окиси этилена с галогенами, гладко вступая в реакцию с олефинами, образуют соответствующие  $\beta$ ,  $\beta'$ -дигалоген эфиры [1, 2]. В связи с этим представляет интерес изучение реакции совместного галогенирования окиси этилена с формальдегидом, т. е. в условиях образования комплексов окиси этилена с галогенами.

В качестве карбонильного соединения был взят формальдегид. Оказалось, что при совместном хлорировании и бромировании окиси этилена с формальдегидом при температуре  $-35^\circ$  с удовлетворительным выходом образуются хлорметокси и бромметокси-уксусный альдегид (Ia) и (Ib), структуры которых установлены на основании данных элементарного анализа, определением МКр и изучением ИК-спектров.

Полные альдегидной группы в соединениях Ia и Ib установлены реакцией серебряного аеркала.

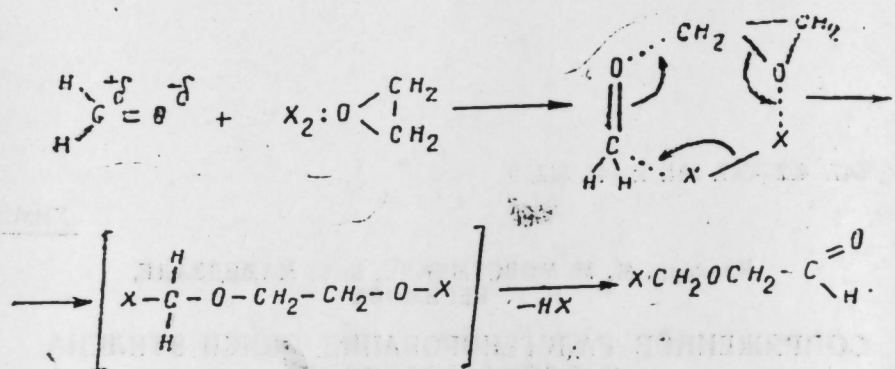
В спектрах соединений Ia и Ib содержатся полосы поглощения в областях  $1710$  и  $1717 \text{ см}^{-1}$ , характеризующие альдегидную группу.



При гидролитическом расщеплении этих соединений образуются формальдегид, оксикусусный альдегид и галогенводород. Оксикусусный альдегид выделен и охарактеризован в виде димера (II). Количество выделившегося галогенводорода определено титрованием щелочью в присутствии метилового оранжевого. Полные формальдегида в реакционной смеси определены бисульфитным методом. При проведении

реакции при 0° С и чуть выше основным продуктом реакции является галогенуксусный альдегид. Это указывает на то, что при совместном галогенировании окиси этилена с формальдегидом при низкой температуре (-35°) решающую роль играют комплексы окиси этилена с галогенами.

По-видимому, образование галогенметоксиксусных альдегидов протекает через стадию образования комплексов окиси этилена с галогенами:



Как видно из приведенной схемы, комплекс окиси этилена с галогеном, реагируя с формальдегидом, образует шестичленный переходной комплекс, который легко превращается в гипогалогенит (III); последний, теряя галогенводород, дает конечный продукт.

## ЭКСПЕРИМЕНТАЛЬНАЯ ЧАСТЬ

**I. Сопряженное хлорирование окиси этилена с формальдегидом.** Окись этилена (1 моль) насыщали сухим формальдегидом полученный раствор при температуре -35° С, в течение 1 ч пропустили газообразный формальдегид (0,2 моль) и хлор (0,2 моль). По окончании реакции избыток окиси этилена удалили. С целью удаления непрореагировавшего хлора и формальдегида реакционную смесь продували азотом.

Остаток составлял 18,6 г.

При перегонке получены фракции:

1. 45—60°/65 м.м.	$n_D^{20}$ 1,4553	(6,4 г)
2. 60°/65 м.м.	$n_D^{20}$ 1,4530	$d_4^{20}$ 1,3034 (10,2 г)
Остаток—1,5 г.		

Вторая фракция является хлорметоксиксусным альдегидом (Ia). Найдено, %: Cl 32,96  $M_R_D$  22,81  $C_3H_5ClO_2$ . Вычислено, %: Cl 32,71  $M_R_D$  22,58.  $\nu(cm^{-1})$ : 1719, 1434, 1307, 1206, 1165 1124, 1083, 1028, 764, 670.

При кипячении с водой оно гидролизуется в оксиксусный альдегид, который при охлаждении выпадает из концентрированного водного раствора в виде пластинчатых кристаллов димера (II). Т. пл. 98°. Температура плавления заведомого образца не дает депрессии.

Заведомый образец получен при конденсации окиси этилена с формальдегидом в присутствии баритовой воды.

**2. Сопряженное бромирование окиси этилена с формальдегидом.** Окись этилена (1 моль) насыщали сухим формальдегидом. К полученному раствору при температуре -35° С в течение 1 ч пропускали газообразный формальдегид (0,2 моль) и бром (0,2 моль). По окончании реакции удалили избыток окиси этилена. Остаток составлял 24,8 г.

При перегонке получены:

1. бромметоксиксусный альдегид, т. кип. 138—142°,  $n_D^{20}$  1,4777  $d_4^{20}$  1,7019. Выход—8,4 г.

Найдено, %: Br 52,42  $M_R_D$  25,47  $C_3H_5BrO_2$ .

Вычислено, %: Br 52,28,  $M_R_D$  25,46.

$\nu(cm^{-1})$ : 1717, 1284, 1168, 1080, 1009, 892, 684.

Дает реакцию серебряного зеркала.

2,7-бром-3,6-диоксигептаналь, т. кип. 155—160°,  $n_D^{20}$  1,4880,  $d_4^{20}$  1,5557. Выход—6 г.

Найдено, %: Br 40,83  $M_R_D$  36,4  $C_5H_9BrO_3$

Вычислено, %: Br 4060  $M_R_D$  36,54.

$\nu(cm^{-1})$ : 1712, 1473, 1284, 1161, 1081, 621.

## Вывод

Изучена реакция сопряженного галогенирования окиси этилена с формальдегидом. Показано, что при этом образуются соответствующие галогенметоксиксусные альдегиды.

## ЛИТЕРАТУРА

1. Сергеев Г. Б., Мовсумзаде М. М., Смирнов В. В., Шабанов А. А. Ахмедов С. И. "Уч. зап. АГУ", серия хим., № 1, 1973. 2. Мовсумзаде М. М., Шабанов А. Л., Гурбанов П. А., Мовсумзаде С. М. ЖОРХ, VII, вып. 7, 1373, 1971.

АзИНХ им.  
М. Азизбекова

Поступило 16. V 1974,

М. М. Мөвсүмзәдә, В. С. Мәммәдзәдә, Н. Һ. Қәримова

Етилен оксидинин формалдеңидлә васитәли һалокенләшмәси

## ХУЛАСӘ

Мәгәләдә етилен оксидинин формалдеңидлә васитәли хлорлашмасы вә бромлашмасы реаксијесында данышылыры.

Мүәյҗән олунмуштур ки, -35°-дә етилен оксидинин формалдеңидлә биркә хлорлашмасы заманы мұвағиг хлорметокси вә бромметокси-сиркә алдеңидләри әмәлә қәлир.

М. М. Movsumzade, V. S. Mamedzade, N. G. Kerimova

Conjugated halogenation of ethylene oxide with formaldehyde

## SUMMARY

Conjugated chlorination and bromination of ethylene oxide with formaldehyde has been studied.

It is stated that by chlorination and at the same time bromination of the ethylene oxide with formaldehyde at the temperature -35° chloromethoxy and bromomethoxy-acidic aldehydes are formed.

УДК—543. 544. 547. 92

**МИКРОБИОЛОГИЯ**

И. И. НАМАЗОВ, Э. Д. ДЖАФАРОВ, М. А. ГАДЖИЕВА,  
Х. Н. КУЛИЕВА, Л. М. БАБАЕВА

**ИЗУЧЕНИЕ УСВАИВАЕМОСТИ ДРОЖЖЕВЫМИ  
МИКРООРГАНИЗМAMI УГЛЕВОДОРОДОВ  
ДИЗЕЛЬНОГО ТОПЛИВА**

(Представлено академиком АН Азербайджанской ССР М. К. Ганиевым)

Ранее [1] нами было установлено, что дрожжевые микроорганизмы *Candida tropicalis* хорошо усваивают *n*-парафиновые углеводороды дизельного топлива нефти о. Песчаный с одновременным накоплением биомассы.

Целью настоящей работы является изучение усваймости культурой *C. tropicalis* отдельных нормальных парафиновых углеводородов, содержащихся в дизельном топливе нефти о. Песчаный.

С этой целью из нефти о. Песчаный путем атмосферной перегонки на опытной установке была получена фракция дизельного топлива, выкипающая в пределе 226—360° С [2].

Физико-химические свойства данной фракции:

Характеристика	показатели
Удельный вес, $d_4^{20}$	0,8239
Показатель преломления, $n_D^{20}$	1,4610
Температура застывания	—4
Содержание <i>n</i> -парафинов, %	26,3
Содержание ароматики, %	23,9
Содержание нафтено-+изо-парафиновых углеводородов, %	49,6

*n*-парафины выделялись из дизельного топлива путем карбамидной депарафинизации в растворе изо-пропилового спирта по описанному методу [2].

Для установления усваймости культурой *C. tropicalis* отдельных парафиновых углеводородов использовался метод хроматографического анализа.

Для этого *n*-парафиновые углеводороды, выделенные из дизельного топлива нефти о. Песчаный, подвергались хроматографированию на хроматографе ПАХВ-0,3, производства СХБ ИНХП АН СССР. Ферментация проводилась по методу ВНИИсинтезбелок в автоматически регулируемом ферментере емкостью 0,5 л с аэрацией с посто-

янным перемешиванием и механической мешалкой со скоростью 1500 об/мин. Оптимальными условиями выращивания были следующие: температура — 32° С, рН-среды — 5,0, скорость подачи воздуха — 30 мл/мин, время выращивания — 72 ч.

$C_{op.} 20\% - \text{ПЭГ}-20000$  на Т. Н. Д. — 155° С,  $V_{pc} = 66$  мл/мин,  $\text{жол}/\text{м}.$

Результаты хроматографического анализа приведены в таблице.

Газожидкостная хроматография, нормальные парафины, компоненты дизельного топлива до и после ферментации

Углеводороды	До ферментации, %	После ферментации, %
Нонан	0,1	0,1
Декан	0,1	0,3
Ундекан	0,6	14,2
Додекан	2,9	8,8
Тридекан	7,0	5,8
Тетрадекан	10,2	9,9
Пентадекан	15,9	15,2
Гексадекан	16,1	16,5
Гектадекан	16,1	15,4
Октадекан	7,7	6,6
Нонадекан	7,0	6,2
Эйкозан	7,5	—
Генэйкозан	8,0	—

Как видно из данных таблицы, культура *c. tropicalis* полностью усвоила эйкозан, генэйкозан ( $C_{20}, C_{21}$ ) и в небольшом количестве остальные индивидуальные парафины.

В противоположность нашим предыдущим исследованиям [3], где было выявлено, что дрожжевые микроорганизмы *C. tropicalis* не могут усваивать индивидуальные *n*-парафины  $C_{20}, C_{21}$ , настоящий эксперимент показал, что указанные углеводороды в смеси с низшими алканами могут быть использованы этой культурой. Это, по-видимому, объясняется растворимостью твердых углеводородов  $C_{20}, C_{21}$  в низших *n*-парафинах и тем самым легким прониканием микроорганизмов в молекулу углеводорода.

**Выводы**

1. Изучена усваймость отдельных *n*-парафиновых углеводородов культурой *C. tropicalis* дизельного топлива нефти о. Песчаный с помощью хроматографического анализа.
2. Найдено, что культура *C. tropicalis* хорошо усваивает *n*-парафиновые углеводороды, содержащие  $C_{20}, C_{21}$  атомов.
3. Установлено, что указанная культура использует эйкозан и генэйкозан только в смеси с другими низшими *n*-парафинами и не усваивает их в индивидуальном виде в виде твердого состояния.

**[ЛИТЕРАТУРА]**

1. Куллиев А. М., Намазов И. И., Гаджиева М. А., Куллиева Х. Н. Ибрагимова Г. М. "Изв. АН Азерб. ССР, серия биологич." № 5, 1967. 2. Куллиев А. М., Намазов И. И., Куллиева Х. Н., Кафарова У. Я. АНХ, № 8, 1967. 3. Куллиев А. М., Намазов И. И., Гаджиева М. А., Джабаров Э. Д. "Изв. АН Азерб. ССР, серия биологич.", № 3, 1968.

Институт химии присадок

Поступило 16. X 1972

СИМБОЛЫ: Ф. И. Намазов, Е. Ч. Чәфәров, М. А. Гаджиева, Г. Р. Ахунбеков, А. А. Бабаева, Л. М. Гулијева, Л. М. Бабаева

## Дизел јағында олан қарбоһидрокенләрин маја көбәләји васитәсилә мәнимсәнилмәснин өјрәнилмәси

### ХУЛАСЭ

Дизел јағында олан *n*-парафинләр јағын кејфијетини писләшдирир. Она көрә дә һәмин *n*-парафинләрин микроорганизмләр тәрәфинидәк истифадә едилмәси јағын тәркибини јахшилашдырыр. Тәчрүбәләр васитәсилә ајдыналашдырылышыр ки, јағын тәркибиндә олан *n*-парафинләр маје вә бәрк һалладыр.

Микроорганизмләр исә ајры-ајрылыгда фәрди қарбоһидрокенләрин бәрк һалында олмасы илә әлагәдар олараг истифадә едә билмир,

Лакин јағын тәркибиндә олан *n*-парафинләр бир-бириндә һәлл олараг маје һалында олур. Она көрә дә микроорганизм һәмин гарышыг *n*-парафинин јахши истифадә едир. Хромотографија аппараты васитәсилә өјрәнилмишdir ки, көтүрүлән гарышығын тәркибиндә олан C<sub>16</sub>, C<sub>17</sub>, C<sub>18</sub>, C<sub>19</sub>, C<sub>20</sub>, C<sub>21</sub>-и микроорганизмләр јахши истифадә едир.

Беләликлә, тәчрүбәләр васитәсилә исbat едилр ки, маја көбәләји гарышыг һалында олан *n*-парафинләри јахши истифадә едир вә күлли мигдарда биологија күтлә верир.

I. I. Namazov, E. D. Dzhafarova, M. A. Gadjeva, K. Kulieva,  
L. M. Babaeva

### Assimilation of diesel fuel hydrocarbons by yeasty microorganisms

#### SUMMARY

In this paper it is reported that normal paraffinic hydrocarbons C<sub>20-21</sub> together with lower alkanes are well assimilated by yeasty microorganisms.

It is probably accounted for the solubility of solid hydrocarbons C<sub>20-21</sub> in lower *n*-paraffins which results in easy arrival of microorganisms in hydrocarbon molecule.

АЗӘРБАЙЧАН ССР ЁЛМЛӘР АКАДЕМИЈАСЫНЫН МӘРҮЗӘЛӘРИ

### ДОКЛАДЫ АКАДЕМИИ НАУК АЗЕРБАЙДЖАНСКОП ССР

ТОМ XXXI ЧИЛД

№ 2

1975

УДК 678,01

ХИМИЯ

А. А. БУНИЯТ-ЗАДЕ, И. Т. КАХРАМАНОВ, Т. И. ГУСЕЙНОВ,  
Г. Р. АУТЕНШЛЮС

### ИССЛЕДОВАНИЕ ВЛИЯНИЯ СТРУКТУРНЫХ ОСОБЕННОСТЕЙ ПОЛИ-(ЭТИЛЕН-ПР-АКРИЛОНИТРИЛА) НА ЕГО ВРЕМЕННЫЕ СВОЙСТВА

(Представлено академиком АН Азербайджанской ССР М. А. Далинным)

До настоящего времени качественно изучены такие свойства граffтсополимеров, как механические, температура перехода, изменение растворимости и т. д. Однако, несмотря на множество работ в этом направлении, недостаточное внимание уделено изучению взаимосвязи между структурными особенностями и свойствами сополимеров. Всё ограничены исследования, связанные с изучением временных свойств этих продуктов. В связи с этим, представлялось интересным изучить влияние длины и частоты распределения привитых цепей акрилонитрила (НАК) на одну из важнейших характеристик полимеров—ползучесть.

Естественно, что прежде всего необходимо было тщательно изучить такие физические свойства поли-(этилен-пр-акрилонитрила), как кристалличность и плотность, которые оказывают значительное воздействие на комплекс других свойств, в частности, ползучесть.

#### ЭКСПЕРИМЕНТАЛЬНАЯ ЧАСТЬ

Кристалличность и размеры кристаллитов определяли на дифрактометре УРС-50-ИМ. Образцы для снятия дифрактограмм изготавливали путем горячего прессования таблеток из мелкодисперсного порошка при температуре 180—200°C и удельном давлении 70 кг/см<sup>2</sup>. Для определения размера кристаллитов использовали известную формулу Шеррера [1].

Плотность определяли волюметрическим методом.

Ползучесть исследовали при 50°C под действием постоянной нагрузки 70 кг/см<sup>2</sup> в течение 10 суток.

#### Обсуждение результатов

С целью изучения взаимосвязи между структурой и ползучестью поли-(этилен-пр-акрилонитрила), в качестве объекта исследования использовали сополимеры, различающиеся не только содержанием

привитого компонента, но длиной и частотой распределения привитых цепей.

Зависимость плотности и кристалличности поли(этилен-пр-акрилонитрила) от содержания связанного НАК

№ пп.	Содержание НАК в (вес. %)	Кристалличность, %	Плотность, г/см <sup>3</sup>
1	0	75	0,9530
2	3,2	75	0,9558
3	5,3	78	0,9560
4	6,0	75	0,9562
5	10,2	85	0,9590
6	10,6	80	0,9570
7	11,4	78	0,9572
8	12,6	85	0,9603
9	12,3	80	0,9575
10	21,2	85	0,9591
11	22,0	90	0,9662

При сопоставлении данных по кристалличности и плотности поли(этилен-пр-акрилонитрила) нами не удалось установить четкой закономерности изменения в зависимости от содержания связанного НАК.

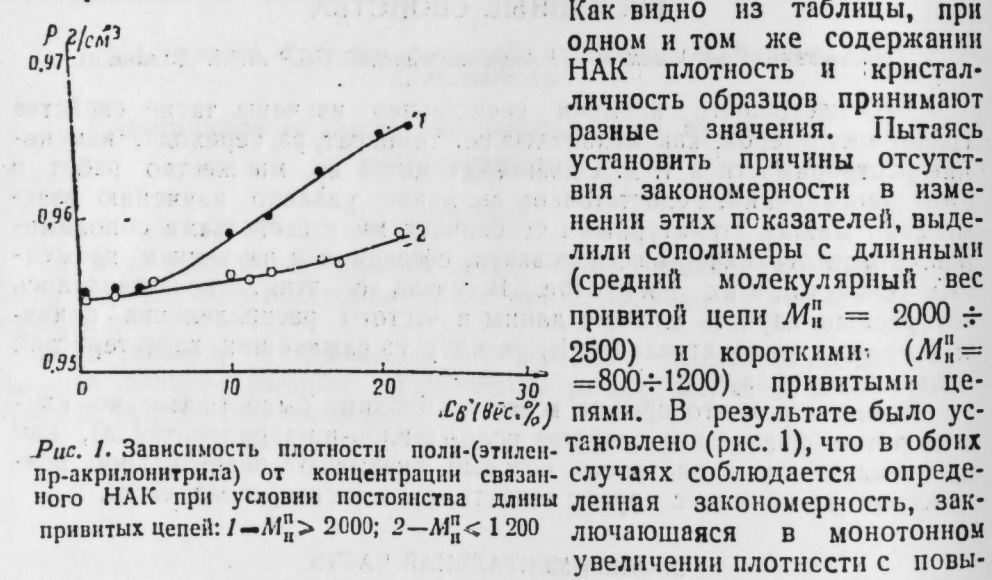


Рис. 1. Зависимость плотности поли-(этилен-пр-акрилонитрила) от концентрации связанного НАК при условии постоянства длины привитых цепей: 1— $M_n^n > 2000$ ; 2— $M_n^n < 1200$

увеличением содержания привитого компонента или с увеличением частоты распределения привитых цепей. Казалось бы, длиные боковые цепи должны способствовать разрыхлению кристаллических образований ПЭВП с последующим понижением плотности и кристалличности сополимеров. Но полученные экспериментальные данные свидетельствуют об обратном, что, по-видимому, связано с протеканием дополнительной кристаллизации за счет привитых цепей. Во всяком случае, сам факт возрастания кристалличности после прививки указывает на то, что в результате сополимеризации не происходит разрушения исходных кристаллических структур ПЭВП, т. е. прививка НАК в основном протекает в аморфных участках и на поверхности кристаллических образований. Об этом свидетельствует также, увеличение размеров кристаллитов, найденных с помощью рентгеноструктурного анализа. Так, если линейный размер кристаллита исходного ПЭВП составляет 305 Å, то для сополимеров, особенно с длинными привитыми цепями, его величина достигает 380 Å. Подобный факт наводит

на мысль о том, что достаточно длинные и часто расположенные привитые цепи позволяют осуществить в аморфных участках и дефектах кристаллитов дополнительную кристаллизацию за счет длинных боковых ответвлений.

Как известно [2, 3], повышенной склонностью к кристаллизации обладают различные "гребнеобразные" полимеры, содержащие в боковой цепи свыше 8 углеродных атомов. Благоприятные условия для кристаллизации в данном случае создаются благодаря увеличению энергии взаимодействия боковых цепей. Такие полимеры кристаллизуются за счет упаковки боковых ответвлений, независимо от конформационного строения основной цепи.

К числу "гребнеобразных" полимеров в определенной мере можно отнести и привитые сополимеры, у которых число углеродных атомов в боковой цепи свыше 20. В рассматриваемом случае коллярные CN-группы в боковой цепи могут способствовать упорядочению за счет ассоциации боковых ответвлений, следствием чего является их ограниченная подвижность. Поэтому, у привитых сополимеров может реализоваться двухмерный порядок, обусловленный внутримолекулярным взаимодействием боковых ответвлений и межмолекулярным взаимодействием основных цепей.

На рис. 2 иллюстрируются кривые пластической деформации исходного ПЭВП и поли-(этилен-пр-акрилонитрила). Идентифицируя кривые на этом рисунке, можно заметить, что по сравнению с сополимерами, ПЭВП обладает наибольшей способностью к деформации. Введение полярных (CN) групп приводит к понижению деформации вследствие увеличения энергии межмолекулярного взаимодействия. Вместе с тем установлен интересный факт, заключающийся в том, что при одинаковом содержании привитого компонента (по 15%), короткие ( $M_n^n = 1200$ ) и часто расположенные привитые цепи способствуют значительному снижению пластической деформации в сополимере. При этом, если ПЭВП и сополимер с длинными привитыми цепями в основном деформируются в первые 24 ч, то сополимеры с короткими ответвлениями (кр. 3 и 4) предельно деформируются в течение 48 ч. Увеличение содержания связанного НАК или частоты распределения привитых компонентов приводит к понижению ползучести.

Возможно, эту взаимосвязь со структурой сополимера удалось установить вследствие того, что ползучесть определенным образом зависит от времени релаксации и подвижности сегментов макроцепи. При этом, чем сильнее энергия межмолекулярного взаимодействия, тем больше время релаксации, а следовательно, меньше ползучесть. Высокая жесткость макроцепи с короткими привитыми блоками НАК способствует значительному затруднению перемещений пачек или более развитых надмолекулярных образований относительно друг друга в процессе холодного течения.

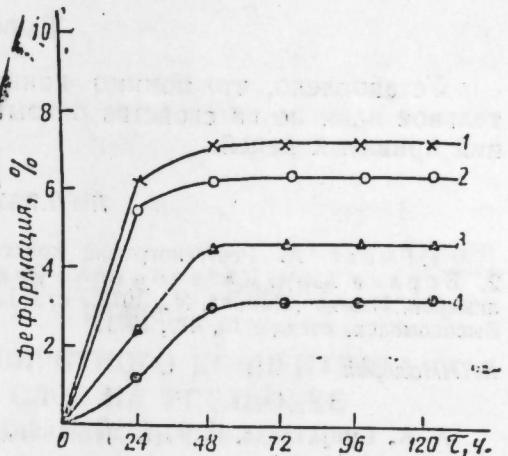


Рис. 2. Ползучесть поли-(этилен-пр-акрилонитрила) в зависимости от времени воздействия напряжения при 50°C: 1—ПЭВП; 2—15% НАК ( $M_n^n = 2500$ ); 3—11% НАК ( $M_n^n = 1200$ ); 4—15% НАК ( $M_n^n = 1200$ )

Таким образом, можно прийти к такому заключению, что природа привитого компонента и его концентрация не являются основополагающими при оценке свойств граffтсополимеров. Возникает необходимость учета и структурных особенностей сополимеров, которые оказывают существенное влияние на некоторые свойства поли-(этилен-пр-акрилонитрила).

### Вывод

Установлено, что помимо концентрации привитого НАК значительное влияние на свойства оказывают длина и частота распределения привитых цепей.

### ЛИТЕРАТУРА

- Гинье А. Рентгенография кристаллов. Физматгиз, 1961, стр. 392—412
- Берлин А. А., Кабанов В. А., Роговин З. А. Усп. химии и физики полимеров. Изд-во „Химия“, М., 1973, стр. 127. З. Платэ Н. А., Шибаев В. П. Высокомолек. соед., А13, 410, 1971.

ВНИИолефин

Поступило 12. IV 1974

А. А. Бүнжатзадэ, Н. Т. Гәһрәманов, Т. И. Һүсейнов, Г. Р. Аутеншлјус

Структур гурулушуну полиэтилен—акрилонитрил чалаг полимеринин хассәсинә тә'сири

### ХУЛАСЭ

Чалаг олуимуш зәнчирии узунлуғундан вә ПЕ макромолекулунун паялмасындан асылы оларға ПЕ-АНТ чалаг полимеринин сыхлығы, кристаллашмасы вә ахмасы өјрәнилмишdir.

Мұәжжән едилмишdir ки, чалаг полимерләrin бир чох хассәләри жан зәнчирии молекул чәкиси илә сых әлагәдардыр. Экәр жан зәнчирии молекул чәкиси 1000-дән ашағыдыrsa, белә биркәполимерләrin пластик деформасија хассәләри ашағы олур. Жан зәнчирии молекул чәкиси 2000-дән јухары оларса, онун чалаг олуимуш ПЕ сыхлығы вә кристаллығы јухары олур.

A. A. Buniyat-zade, N. T. Kakhramanov, T. I. Guseinov, G. R. Autenshlus

The effect of structural characteristics of polyethylene-acrylonitrile graft copolymers on their provisional properties

### SUMMARY

The effect of the lengths and distribution frequencies of grafted chains on the density, crystallinity, and creep of polyethylene—acrylonitrile graft copolymers has been investigated.

It has been found that copolymers with shorter grafted acrylonitrile chains (molecular weight of the grafted chain  $M_{AN}^P = 800$  to 1200) exhibit a lesser tendency to plastic deformations.

АЗӘРБАЙЧАН ССР ЕЛМЛӘР АКАДЕМИЯСЫНЫН МӘРҮЗӘЛӘРИ

ДОКЛАДЫ АКАДЕМИИ НАУК АЗЕРБАЙДЖАНСКОЙ ССР

ТОМ XXXI ЧИЛД

№ 2

1975

УДК 546.224.31

ХИМИЯ

Акад. Г. Б. ШАХТАХТИНСКИЙ, А. И. ТАЛЫБЛЫ,  
А. И. ГУЛИЕВ, Р. А. ВЕЛИЕВ

### ОБЖИГ ФИЛИЗЧАЙСКОГО ПИРИТНОГО КОНЦЕНТРАТА В КИПЯЩЕ-ВИХРЕВОМ СЛОЕ НА УСТАНОВКЕ НЕПРЕРЫВНОГО ДЕЙСТВИЯ

Практическое осуществление процесса обжига пиритного концентрата в кипящем слое требует знания таких факторов как степень выгорания сульфидной серы, температуры процесса и времени обжига.

Вышеуказанные факторы обычно представляются в виде кривых и расчет объема печей кипящего слоя строится на базе этих данных. В получении указанных кривых, несомненно, большая заслуга авторов [1, 2]. Однако полученные изотермические кривые зависимости степени выгорания сульфидной серы от времени, проведены через конечные интервалы температур. К сожалению, часто бывают необходимы эти же данные при промежуточных значениях температуры и ввиду их отсутствия остается лишь предположить какова будет степень выгорания связанный серы.

В настоящей работе приведены уравнения, дающие возможность рассчитать степень выгорания сульфидной серы при любой конкретной температуре (в интервале 460—820°C) и заданном времени обжига.

В работе [3] было установлено, что по скорости выгорания сульфидной серы процесс обжига односернистого железа можно отнести к кажущейся реакции первого порядка. В той же работе, для  $N=10$  (где  $N$ —число псевдоожижения) были определены величины, входящие в уравнение Аррениуса, что в свою очередь позволяет установить зависимость константы скорости реакции процесса выгорания сульфидной серы от температуры.

Приравнивая уравнение константы скорости реакции первого порядка к уравнению Аррениуса можно получить следующие виды уравнений, которые приведены ниже для соответствующих температурных интервалов:

460—535°C (кинетическая область)

$$\frac{2,3}{\tau} \lg \frac{100}{100-x} = 3,70 \cdot 10^{14} \cdot e^{-\frac{60500}{R \cdot T}} \quad (1)$$

в интервале 535—686°C (переходная область)

$$\frac{2,3}{\tau} \lg \frac{100}{100-x} = 1,54 \cdot 10^2 \cdot e^{-\frac{15000}{R \cdot T}} \quad (2)$$

и выше 686–820°C (диффузионная область)

$$\frac{2,3}{\tau} \lg \frac{100}{100-x} = 2,83 \cdot 10^{-1} \cdot e^{-\frac{3,200}{R \cdot T}} \quad (3)$$

где:  $\tau$ —фиктивное время обжига, сек,

$x$ —степень выгорания сульфидной серы, %,

$T$ —температура обжига по шкале Кельвина, град.

Под фиктивным временем горения подразумевается общее время пребывания частиц флотационного пиритного концентрата в зоне горения, т. е. как в кипящем, так и в надслойном пространстве. Величина  $\tau$ ,  $x$  и  $T$  являются переменными и отсюда же следует, что если в одно из уравнений 1–3 подставить две наперед заданные известные величины, то путем простого вычисления можно определить неизвестную третью величину.

На базе вышесказанного с использованием приведенных уравнений проведена работа, целью которой являлась как проверка 1–3 в применении к обжигу флотационного пиритного концентрата, так и исследование некоторых факторов на сам процесс обжига.

Таблица 1

№/п	Теорет. расчет			Практич. результаты			
	T, °C	Сек	Степень выг., %	T, °C	Сек.	Степень выгор., %	Kоличест., SO <sub>2</sub> , в отход газе, %
Кинетическая область	500	30	8,09	500	30	10,48	2,2
	>	60	15,47	>	60	16,03	2,5
	>	120	28,55	>	120	30,31	2,4
Переходная область	650	30	72,84	650	30	73,53	11,6
	>	60	92,59	>	60	92,62	11,8
	>	120	99,45	>	120	95,56	11,8
Диффузионная область	700	30	80,05	700	30	80,49	13,1
	>	60	96,02	>	60	96,30	12,8
	720	30	81,21	720	30	82,00	14,1
	>	60	96,45	>	60	96,38	14,4
	740	30	82,23	740	30	83,09	14,4
	>	60	96,84	>	60	97,91	14,5
	800	60	97,71	800	60	98,03	14,7

Процесс обжига флотационного пиритного концентрата проводился в кипящем слое в реакторе непрерывного действия. Реактор (3) изготовлен из нержавеющей стали круглого сечения диаметром 52 м.м и высотой—300 м.м. Несмотря на экзотермичность процесса обжига, реактора был снабжен внешним электрообогревом. Воздух, проходя маностат (1) и реометр (2), поступал в реактор с нижней части, создавая тем самым "кипение" обжигаемого материала, находящегося на пористой перегородке. В реактор, пиритный концентрат в необходимом количестве подавался при помощи верхнего питателя-дозатора (4), вращение которого осуществлялось автоматически. Необходимо отметить, что для придания концентратору хорошей сыпучести, он был предварительно просушен. Варьирование высоты кипящего слоя, а следно и удаление из реактора образующегося огарка, осуществлялось изменением числа оборотов сливного дозатора (8). Температуру кипящего слоя измеряли платино-платинородиевой термопарой (5), соединенной с милливольтметром. Следует также отметить, что вы-

сота кипящего слоя соответствовала отношению первоначальной высоты слоя к диаметру реактора как 1:1,5:1, т. к. именно при этих условиях наблюдалась хорошая структура кипения обжигаемого материала. Продукты обжига, т. е. газовоздушная смесь и пылевидный огарок, выносились через верхнюю часть реактора в циклоны (6), где происходило механическое отделение газовой смеси от огарка.

Очищенная таким образом газовая смесь, состоящая (в основном) из сернистого, серного ангидридов и азота поступала на анализ. Анализ осуществлялся хроматографическим, оксидиметрическим и йодометрическим методами.

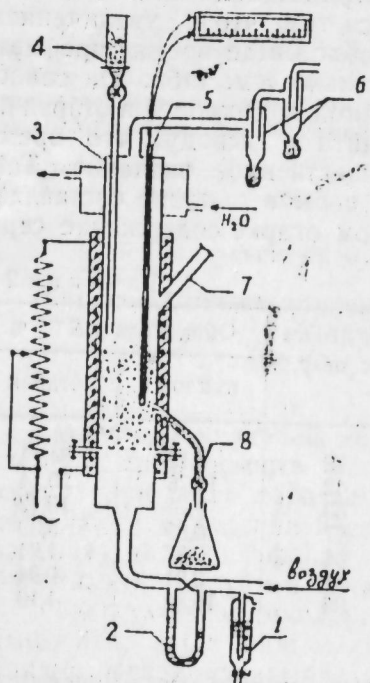


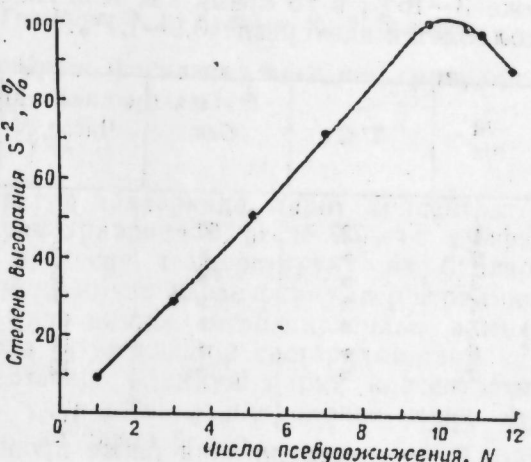
Рис. 1. Схема лабораторной установки обжига пиритного концентрата в кипящем слое.

Рис. 2. Влияние числа псевдоожижения на степень выгорания серы из пирита при  $T=720^{\circ}\text{C}$  и времени 60 сек.

Итак, с учетом уравнений 1–3 были осуществлены расчеты, результаты которых сведены в табл. 1.

Для сравнения, в этой же таблице приведены результаты анализов, полученные практическим путем, которые как видно, удовлетворительно согласуются с величинами, полученными расчетным путем. Наблюданная некоторая завышенность в степени выгорания сульфидной серы, в случае кинетической области, объясняется лучшими гидродинамическими условиями кипящего слоя, что в данном температурном интервале влечет за собой отсутствие влияния диффузионного торможения. Не исключено, что в укрупненном реакторе (масштабе) степень выгорания сульфидной серы будет еще более высокой. Из табл. 1 также видно, что в переходной области, несмотря на высокую степень выгорания серы—95%, концентрация сернистого ангидрида в отходящем газе низка—11,8%. По-видимому, для переходной области присущее явление сульфатизирующего обжига [4], где потери серы в виде сернистого ангидрида происходят в основном из-за образования сульфатов железа, что и подтверждается анализом. Из этой же таблицы можно заключить, что температуры  $720\text{--}740^{\circ}\text{C}$  являются наиболее приемлемыми для настоящего процесса. Температуру реакционной зоны кипящего слоя не следует поднимать до  $800^{\circ}\text{C}$ , т. к. очень часто наблюдались образования спеков (агломератов).

И в заключение настоящего исследования было проверено влияние числа псевдоожижения ( $N$ ), т. е. скорости воздушного потока на



степень выгорания серы. Графическая зависимость, степень выгорания серы— $N$  (см. рис. 2) была получена при температуре кипящего слоя, равной 720°C и фиктивном времени обжига—60 сек.

Кривая рис. 2 свидетельствует, что степень выгорания серы из пиритного концентрата увеличивается с ростом числа неевдоожижения, где степень выгорания серы достигает своего предела—97% при  $N=10$ . Дальнейшее увеличение числа  $N$  отрицательно влияет на степень выгорания. Такое явление объясняется тем, что с увеличением скорости газового потока уменьшается необходимое время пребывания частичек в зоне реактора. И действительно (см. табл. 2), сопоставляя результаты анализов пыли, уловленной в циклоне, и огарка на содержание сульфидной серы, можно прийти к выводу, что время пребывания частиц в реакторе имеет существенное значение. Так, при  $N=11-12$  количество не выгоревшей серы в циклоне составляет уже 3—16%, в то время как в неусеченном огарке содержание серы колеблется в интервале 0,9—1,1%.

Таблица 2

№ п/п	T° С	Сек	Число, $N$	Унос, огарк, %	Общ. колич. $S^{-2}$ %	
					циклон	огарок
1	720	00	1	12	6,12	34,74
2	»	»	3	42	12,70	20,14
3	»	»	5	89	0,78	13,12
4	»	»	7	07	0,89	5,30
5	»	»	10	84	2,97	1,24
6	»	»	11	91	3,01	0,94
7	»	»	12	98	16,32	1,10

В ходе исследования также проверялось количество унесенного пылевидного огарка газовоздушным потоком. Так, при  $N=10$  (см. табл. 2) унос составлял 83—85% от всего образующегося количества огарка. Необходимо отметить, что такой унос огарка (83—85%) ставит под сомнение само понятие "кипящего" слоя. Естественней называть такую интенсивность обжига кипяще-вихревой. В литературе встречается большое количество понятий—синонимов: "флюидизирующий", "вильтершифт", "кипящий", "увесненный" или "неевдоожиженный" слой и т. д., которые только лишь формально характеризуют состояние взаимодействия твердого сыпучего материала с газовым потоком. В связи с чем предлагаем классификацию процесса обжига (или других технологических процессов), в основе которого лежит число неевдоожижения, в именно: при  $N$  равном до 1—фильтрующим слоем, в интервале от 1 до 2—увесненным слоем, от 2 до 5—кипящим [5] слоем, при  $N$ , лежащего в интервале 5—10—кипяще-вихревым, а при  $N > 10$ —вихревым.

## Выводы

При проведении процесса обжига флотационного пиритного концентрата Филичайского месторождения, в кипящем слое на установке непрерывного действия было установлено:

1. При расчете объема печи с кипящим слоем, для практического осуществления процесса обжига, удобнее пользоваться приведенными в настоящей статье уравнениями 1—3.

2. Увеличение числа неевдоожижения (до  $N=10$ ) или тоже, что и увеличение количества кислорода в единицу времени, положительно влияет на степень выгорания сульфидной серы.

3. Полученные оптимальные величины процесса обжига, т. е. температура 720—740°C, фиктивное время обжига—60 сек и  $N=10$ , удовлетворительно сходятся с параметрами, предложенными и осуществленными НИУИФ для уральского флотационного колчедана в кипяще-вихревом слое.

## ЛИТЕРАТУРА

1. Малец А. М., Хим. пром., № 1, 1959.  
2. Лебедев Д. Л., Хим. пром., № 11, 1963.  
3. Шахтахтинский Г. В. и др. ДАН Азерб., ССР, № 6, 1974.  
4. Терновская А. Н., Коренберг Я. Г. Обжиг сернистого колчедана в кипящем слое. Изд-во "Химия", 1971, стр. 79.  
5. Катализ в кипящем слое. Под ред. И. Н. Мухленова. Изд-во "Химия", Л., 1971, стр. 13.

Институт неорг. и физической химии

Поступило 28. IV 1974

Б. В. Шахтахтинский, Э. И. Талыбыс, Э. И. Гулиев, Р. А. Велиев

## Филичай пирит концентратынын фасилләсиз ишләјен түргуда гајнарлауда йандырылышасы

### ХУЛАСА

Мәғләдә мұхтәлиф температур һәмләринде, пирит концентратынын йандырылышының дәл параметрләриндә һесаб едилән сульфид күкүрдүүи յимма дәрәҗәсіни, процесси температурину жә бууларға кора յимма мүддәттің һесабламага имкан берән формууллар берилмеш жә сәләдә до 10-мин формуллар үзүү қызында һесабламалардан алынан рәгәмләри тәрүби нәтижәләрдө уйгуң кәнділі көстәрілмешдір.

Тәддигаттың нәтижәләрі флотасы өлүмүнүн пирит концентратынын гајнарлауда йандырылышасы учун лађибољашылышында пешин мүндисе һесабламаларында пешкінде әділә өттіләр.

О. В. Shakhtakhinsky, A. I. Talyby, A. I. Gulyev, R. A. Velliev

## Roasting of Filizchay pyrite concentrate in boiling-vortical layer on continuous working kiln

### SUMMARY

In the present article formulas, giving the possibility of calculation, according to temperature intervals, parameters of pyrite concentrate roasting such as sulphide sulfur burning-away rate, the process temperature at which this rate is possible and flattous time necessary for it are given. Besides, practical results withouting the calculating agreement with calculated data are given.

Obtained data might be used in engineering calculations in furnace designing of boiling-vortical layer in application to flotational pyrite concentrate of Filizchay deposit.

УДК 550. 42 : 516. 49 : 552. 4

В. М. БАБА-ЗАДЕ

ГЕОЛОГИЯ

## ЭНДОГЕННЫЕ ГЕОХИМИЧЕСКИЕ ОРЕОЛЫ В АГЯТАГСКОМ РТУТНОМ РУДНОМ ПОЛЕ И ИСПОЛЬЗОВАНИЕ ИХ ПРИ ПОИСКАХ СКРЫТОГО ОРУДЕНЕНИЯ

(Представлено академиком АН Азербайджанской ССР Ш. А. Азизбековым)

Изучение эндогенных ореолов для поисков, особенно скрытого оруденения представляет большой интерес. В последние годы в отечественной и зарубежной геологической печати опубликовано немало работ, в которых показано значение этих ореолов для поисков скрытого оруденения. Этими же исследованиями в ореолах установлен определенный спектр химических элементов, используемых при поисках эндогенных месторождений. Такими элементами-индикаторами для ртутных месторождений Севано-Карабахской металлогенической зоны, как показали исследования (1), являются сурьма, мышьяк, свинец, медь, цинк и бор.

Рудное поле сложено вулканогенно-осадочными образованиями нижнего и верхнего сенона, прорванные различного возраста и состава интрузивами — от ультраосновных до кислых. Структура рудного поля сложная, что объясняется развитием разрывных нарушений двух направлений — северо-западного и северо-восточного. В структурных узлах пересечений этих нарушений локализуется ртутное оруденение.

### Методика геохимических исследований

Опытно-методические исследования по изучению эндогенных ореолов вокруг известных рудных тел проводились путем опробования детальных геохимических разрезов (масштаб 1:500), ориентированных вкрест простирания рудоконтролирующих структур, а также подземных горизонтальных выработок и скважин, что обеспечивало надежность изучения различных участков околоврудного пространства по вертикальному сечению.

Пробы были проанализированы на группу халькофильных элементов приближенно количественным спектральным и химическим путем. Этими методами обеспечивалась необходимая чувствительность анализов.

Для выявления тесноты связи между концентрациями ртути и элементов-индикаторов в ореолах применен метод ранговой корреляции по Спирману.

Фоновые и минимально аномальные концентрации элементов-индикаторов определялись посредством вероятностного трафарета накопленных частностей. Установление соответствия данного распределения теоретическому проверялось с помощью критерия Колмогорова. Для определения фона пробы отбирались за пределами рудного поля из различных пород. Во избежание возможного пропуска слабых аномалий минимально аномальные величины определялись с 10%-ным уровнем значимости.

### Характеристика эндогенных ореолов

Данные по распределению ртути и ее элементов-индикаторов в породах хорошо выявляются по графикам распределения этих элементов, нанесенных на профили и колонки буровых скважин. Из этих графиков видно, что только ртуть характеризуется относительной стабильностью, фиксируя положение рудных интервалов. Как показывает сравнительный анализ данных, полученных путем профилирования с таковыми подземных горных выработок, неравномерность распределения ртути в околоврудных породах обусловлена размерами рудных тел и интервалов. Обычно рудным телам с большими параметрами соответствует более широкий размах рассеяния ртути с высоким содержанием ее.

Повышенное содержание ртути довольно часто соответствует зонам разрывных нарушений, при этом наиболее эффективная ширина ореолов ртути, мышьяка, свинца развивается в висячих боках разломов. Породы зон разломов в достаточной степени пористы, проницаемы и гидротермально изменены.

В процессе накопления ртути в околоврудных породах большое значение приобретает и литологический фактор последних (табл. 1).

Таблица 1  
Распределение ртути в горных породах, развитых в Агяташском рудном поле

Параметры Породы	Кол-во анализ. <i>n</i>	Средне- арифмет. <i>x</i>	Средне- квадрат. отклон., <i>s</i>	Коэффи- циент концент., <i>k</i>	Коэффи- циент вариаци., <i>V</i>	Границ- ные зна- чения, г/т
Аргиллиты	38	0,0002	0,0001	2,5	50,0	0-8
Тектоническая брекчия аргиллитов	82	0,0006	0,0004	15,0 44,5	66,7	0-50
Диоритовые порфириты	26	0,0006	0,0004	100	66,7	0-30
Сerpентиниты	23	0,0002	0,0001	1700	50,0	0-8
Листвениты	257	0,0017	0,0011		64,7	0-600

В некоторых случаях даже литологически неблагоприятные для концентрации ртути породы отличаются повышенной ртутоносностью. Так, в зонах контакта серпентинитов и лиственитов первые характеризуются повышенной ртутоносностью. В подобных участках пористость и проницаемость серпентинитов повышается. Наблюдения показывают, что структурные или литологически благоприятные факторы сами по себе в отдельности не всегда способствуют концентрации ртути, чаще всего рудные тела локализованы на тех участках, где тесно переплетаются эти два фактора.

В поведении ртути и ее элементов-индикаторов в общем устанавливаются положительные корреляционные связи, не меняющиеся на всех горизонтах (табл. 2). Отмеченное положение свидетельствует о локальной пространственной связи эндогенных ореолов ртути и ее элементов-индикаторов с рудными телами.

Таблица 2

Средние значения коэффициентов корреляции содержаний ртути и ее элементов-индикаторов  
а) Агяташское рудное поле

Элементы	As	Cu
Hg	+0,10	+0,32
As		+0,16

б) Второй участок Агяташского рудного поля  
(по данным подземных скважин № 43, 44, 45)

Элементы	Sv	Pv	Cu	Zn	B
Hg	+0,44	+0,40	+0,32	-0,08	+0,71
Sb	+0,48	+0,35	+0,10	+0,51	
Pb		+0,52	+0,31	+0,18	
Cu			+0,48	-0,18	
Zn				+0,10	

Размер рассеяния для рассматриваемых элементов различен. Во многих пробах, отобранных за пределами рудного поля к северу и к югу, а также на флангах 500—600 м отмечаются более высокие, чем фоновые, содержания ртути.

Это свидетельствует о том, что аномальные концентрации ртути в породах распространяются от рудного поля в зоне шириной 500—600 м.

В надрудных толщах ртуть и ее элементы-индикаторы образуют довольно четкие ореолы, что объясняется присутствием здесь собственных минералов ртути, меди, свинца и др.

В Агяташском рудном поле по данным геохимического опробования наиболее ярко выделяются ореолы ртути, мышьяка и меди.

Ореолы ртути образуют относительно широкие поля с содержанием в них этого элемента 300—1000·10<sup>-5</sup>%. При этом высокие концентрации ее чаще отмечаются в пределах южных аномалий, что, несомненно, заслуживает детальных исследований. Это подтверждается еще и тем, что высокопроцентные аномалии меди и мышьяка также тяготеют к высокопроцентным ореолам ртути.

Ореолы меди с содержанием ее 1·10<sup>-3</sup>—7·10<sup>-3</sup>% развиты в южных частях рудного поля, где фиксировано аномальное поле меди и ртути. Наоборот, ореолы мышьяка с высокой концентрацией его 20·10<sup>-2</sup>% фиксируются в северных частях рудного поля. Здесь выявлено аномальное поле, совпадающее с таковым ртути и меди. Весьма характерно совпадение полей максимальных концентраций названных элементов с контурами рудоносной зоны. По мере удаления от последней в сторону, концентрация ртути, меди и мышьяка постепенно уменьшается до фоновой. В связи с этим, обнаруженные аномальные поля ртути, меди и мышьяка, являющиеся индикаторами верхних частей эндогенных ореолов, могут быть изучены в качестве объекта опытно-методических исследований для разработки геохимических критериев скрытого оруденения.

С целью изучения флангов первого рудного тела по второму участку на горизонте шт. № 4 были пробурены скважины.

Результаты опробования по ним позволили определить контуры эндогенных ореолов ртути, сурьмы, свинца, цинка и бора.

Ртуть обнаруживает высокопроцентные ореолы, образующие два аномальных поля. По существу можно было бы слить и принять их за единую аномалию. Концентрация ртути в пределах изученных аномалий колеблется от 350·10<sup>-5</sup> до 1300·10<sup>-5</sup>%. Сурьма также обнаруживает два аномальных поля, в которых содержание ее колеблется от 2·10<sup>-2</sup> до 4·10<sup>-2</sup>%. Ореолы свинца, обнаруживают по сути два аномальных поля, в пределах которых концентрация этого элемента варьирует от 7·10<sup>-2</sup> до 13·10<sup>-2</sup> г/т. Особенно богаты свинцом оказались ореолы южных аномалий, которые можно рассматривать как единые и вполне заслуживающие детальных исследований, так как они совпадают с аномальными полями сурьмы. Ореолы цинка, наоборот оказались небольшими и смещающимися в сторону на север. Здесь отмечены три аномальных поля, которые в итоге отражают повышенные концентрации цинка, колеблющиеся от 10·10<sup>-2</sup> до 25·10<sup>-2</sup>%.

Эти весьма высокопроцентные ореолы цинка также подлежат проверке крупномасштабными геохимическими поисками. Интересно отметить, что аномальные поля цинка совмещены с таковыми сурьмы и ртути.

На основании такого совпадения возможно предполагать широкую перспективу поисков скрытого сурьмяно-ртутного оруденения на флангах второго участка Агяташского рудного поля.

Таким образом, анализ поведения оконтуренных ореолов в пределах Агяташского рудного поля позволяет отнести их к перспективным в части постановки на площадях развития детальных крупномасштабных геохимических поисков с применением буровых скважин.

#### ЛИТЕРАТУРА

1. Бабазаде В. М., Мартиросян Р. А., Насибов Т. Н. Об элементах индикаторов ртутного оруденения Севано-Карабахской зоны. «Изв. АН Азерб. ССР, серия наук о земле», 1972, № 5. 2. Беус А. А., Григорьян С. В., Ойзерман М. Г., Чолакян П. Г., Стояновский А. А. Руководство по предварительной математической обработке геохимической информации при поисковых работах. «Недра», 1965. 3. Григорьян С. В., Янишевский Е. М. Эндогенные геохимические ореолы рудных месторождений. «Недра», 1968.

АГУ им. С. М. Кирова

Поступило 13. IV 1973

В. М. Бабазадэ

Ағјатаг чиә филизи саһәсиндә ендокен қеокимјәви ореаллар вә онлардан кизли филизләшмәнин ахтарышында истифадә

#### ХУЛАСӘ

Мәгаләдә Ағјатаг чиә филизи саһәсиндә тәчруби-методик қеокимјәви тәдгигатларын апарылмасындан бәһс едилүр. Бу ишләр филиз-иәзарәтедичи структурларын узанмасына әкс истигамәтдә кечилмиш дәгиг мигјаслы (1:500) қеокимјәви кәсилишләрин вә набелә мұхтәлиф һоризонтларда вурулмуш мағара вә жералты буругларын нұму-нәләнмәсі нәтичәсіндә мүмкүн олмушудур.

Ашқар едилмиш ендокен ореол саһәләриннің өјрәнилмәсі Ағјатаг чиә филизи саһәсиндә жени филиз күтләләри үзә чыхармаг учун буруг ишләри тәтбиг едилмәклә иримигјаслы қеокимјәви ахтарыш ишләринин апарылмасыны мәгсәдәујғүн һесаб едир.

**Inside geochemical oreoli of agyatag's mercury ore field and using them in searching of the hidden oreing**

**SUMMARY**

The necessity of the geochemical study of ore field in detail in order to reveal the hidden ore bodies is proved in this article for the first time.

They set closely connection of mercury with its elements indicators—Sb, As, Cu, Zn, and B.

УДК 559. 832

**ГЕОЛОГИЯ**

А. Б. СУЛТАНОВ, А. М. ПЛЮЩ, Ш. А. ДЖАРУЛЛАЕВ, Н. К. КАДЫРОВ,  
И. Г. ПАКИН

**О ТЕПЛОВОМ РЕЖИМЕ МЕСТОРОЖДЕНИЯ САНГАЧАЛЫ-  
МОРЕ—о. ДУВАННЫЙ—о.БУЛЛА**

(Представлено академиком АН Азербайджанской ССР А. А. Ализаде)

Морское нефтегазоконденсатное месторождение Сангачалы-море о.Дуваний—о.Булла приурочено к антиклинальному поясу крайней северо-восточной части Бакинского архипелага и простирается узкой полосой, длиной более 20 км, охватывающей три одноименные, самостоятельные асимметричные поднятия (перво—куполовидное, два следующих—брахиантектические), от мыса Сангачалы к юго-востоку до о.Булла. В этом же направлении увеличивается глубина моря от 3 м в районе о. Дуваний до 16 м у о. Булла. Основным объектом разработки является VII горизонт.

В присводовой части антиклинального пояса проходит крупный продольный разрыв набросового характера с плоскостью падения на юго-запад, причем северо-восточное крыло (в котором имеются запасы нефти и газа) опущено относительно юго-западного. Кроме того, имеются поперечные нарушения (рисунок) сбросового характера, в соответствии с которыми принято рассматривать месторождение состоящим из пяти тектонических блоков (Сангачалы-море относится к блоку I, складка о. Дуваний охватывает II, III и IV блоки и поднятие о. Булла включает V блок).

В 1969—1970 гг. была проведена опытная закачка морской воды в залежь VII горизонта, через две нагнетательные скважины, но ввиду малого количества закачанной воды ( $4500 \text{ м}^3$ ) это обстоятельство не могло существенно повлиять на пластовую температуру.

Углы падения пластов на складках Сангачалы-море и о. Дуваний более крутые на их северо-восточных крыльях (соответственно  $28-35$  и  $30-38^\circ$ ), чем на юго-западных (соответственно  $10-12$  и  $25-28^\circ$ ), а на поднятии о. Булла—наоборот, на северо-восточном крыле  $15-20^\circ$ , на юго-западном— $30-40^\circ$ .

В связи с отсутствием каких-либо опубликованных данных о тепловом режиме рассматриваемого месторождения представляется полезным сделать первый шаг в данном направлении. Для этого нами были использованы измерения температуры в эксплуатационных скважинах, за период 1965—1970 гг., при остановке их для замера пла-

стового давления. Учитывая, что измерения температуры были сделаны с точностью до  $1^{\circ}$ , односуточный период остановки скважины можно считать достаточным.

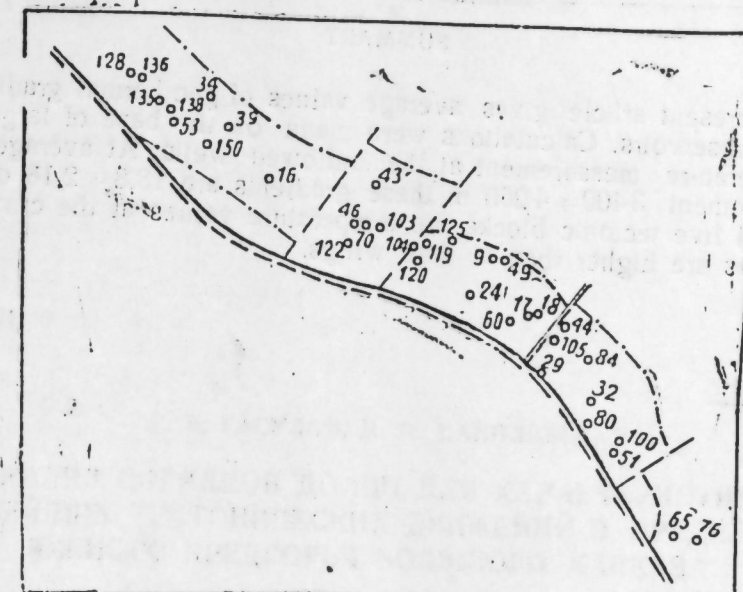
№ скв.	Глубина замера, м	Темпера-тура, $^{\circ}\text{C}$	$G, \text{м}/^{\circ}\text{C}$	Глубина замера, м		Значения $G$	
				пределные	сред- ние	пределные	сред- ние
I блок	128	4 257	96	53,1			
	156	4 398	98	53,5			
	135	4 145	94	53,0			
	138	4 104	94	52,5	4030—4624	4260	52,2—55,6
	53	4 030	93	52,2			53,2
	34	4 624	99	55,6			
	39	4 566	101	53,6			
	150	4 125	94	52,8			
	16	4 099	94	52,4			
II блок	46	3 980	94	50,9			
	122	3 580	94	45,8			
	43	4 644	94	59,4	3580—4 644	3 970	45,8—59,4
	70	3 980	89	54,4			51,6
	103	3 963	94	50,7			
	104	3 776	93	48,9			
III блок	119	3 753	88	52,0			
	120	3 562	86	50,7			
	125	3 667	90	49,4			
	24	2 821	77	46,1			
	9	3 631	85	52,5	2821—3 849	3 400	46,1—52,5
	49	3 592	85	51,9			50,5
	61	3 849	90	51,9			
	60	2 656	70	49,0			
	17	3 282	80	51,1			
	48	3 196	79	50,6			
IV и V блок	105	3 124	79	49,4			
	44	3 435	82	51,9			
	29	2 217	76	36,8	217—4 090	3 430	36,8—52,3
	84	3 527	88	48,8			48,0
	32	3 462	94	44,3			
	80	3 040	84	44,6			
	100	3 813	92	49,9			
	51	3 745	88	51,9			
	76	4 090	94	52,3			
	65	3 842	92	50,4			

Результаты замеров температуры и вычисленные значения геотермической ступени ( $G$ ) приведены в таблице.

Как видно из таблицы и рисунка, на первый взгляд наблюдается снижение значений  $G$  от блока I к VI и V (т. е. на юго-восток). Но если учесть, что в этом же направлении средняя глубина измерений снижается (а обычно  $G$  растет с увеличением глубины), то можно считать интенсивность теплового поля по всему месторождению примерно одинаковой. Это подтверждается также и тем, что значения температур на одинаковых глубинах по разным блокам почти одинаковы. Так, например, в скв. 16 (I блок) на глубине 4 099 м и в скв. 76 (V блок) на глубине 4 090 м значения температуры одинаковы ( $94^{\circ}\text{C}$ ). В скв. 119 (III блок) и скв. 51 (IV блок) на глубинах 3 753 и 3 745 м температура одинакова ( $88^{\circ}\text{C}$ ). В скв. 104 (II блок) на глубине 3 776 м температура  $93^{\circ}\text{C}$ , а в скв. 100 (IV блок) на глубине 3 813 м (т. е. глубже почти на 40 м) температура  $92^{\circ}\text{C}$  (т. е. в данном случае температура на IV блоке ниже, чем на II).

Но внутри блоков отмечается определенная закономерность, температура на крыльях складок ниже, чем на куполах. Например, в

скв. 34 и 39 (I блок), расположенных на крыле значение  $G$  максимальное по блоку ( $55,6$  и  $53,6 \text{ м}/^{\circ}\text{C}$  соответственно), а скв. 53, расположенной ближе к куполу, значение  $G$   $52,2 \text{ м}/^{\circ}\text{C}$ . На блоках



II, III и IV наибольшее значение  $G$  наблюдается на крыльях [в скв. 43, 9 и 44 (соответственно  $59,4$ ,  $52,5$  и  $51,9 \text{ м}/^{\circ}\text{C}$ ), а наименьшая  $G$  в скв. 122, 24, 29 (соответственно  $45,8$ ,  $46,1$  и  $36,8 \text{ м}/^{\circ}\text{C}$ ), расположенных близко к гребню складки.

#### ВЫВОДЫ

- Интенсивность теплового поля на данном месторождении по его простиранию не изменяется.
- На одинаковых глубинах температура на гребнях складок выше, чем на крыльях.
- Величина  $G$  по данному месторождению находится в пределах  $48—53 \text{ м}/^{\circ}\text{C}$  при средних глубинах  $3 400—4 260$  м.

Институт проблем глубинных нефтегазовых месторождений

Поступило 31. I 1973

А. Б. Султанов, А. М. Плјуш, Ш. А. Чәруллаев, Н. Г. Гәдиров, И. Г. Пакин  
Сәнкәчал-дәниз, Дуванлы вә Булла адалары јатағының  
истилик режиминә дайр

#### ХУЛАСӘ

Мүәллифләр мувәггәти олараг дајандырылыш истисмар гууларында апарылан температур өлчәмләри әсасында јатағын қеотермик пилләснин гијмәтини тә'җин етмишләр. Орта өлчәм дәриниллекләриндә ( $3 400—4 260$  метр) һәндәси пилләнин гијмәти  $48—53 \text{ м}/^{\circ}\text{C}$  арасында дәјишилир.

Јатағын узанма истигамәтиндә истилик саһаснин дәјишил мәси мүшәнидә олуимур. Бүтүн беш тектоник блокда гырышыларын тар һиссәләринин температуру ганадлардан йүксәк олур.

About heat regime at Sangachali—sea, Duvanni and Bull  
islands oil reservoirs

SUMMARY

The present article gives average values of geothermal gradients for these oil reservoirs. Calculations were made on the base of large quantity temperature measurement at the unflowed wells. At average depths of measurement  $3400 \div 4260$  m these gradients are  $18,8 \div 2,18$  deg/km.

At all five tectonic blocks the temperature values at the crux of the anticlinales are higher than at their wings.

УДК 551. 24

ГЕОЛОГИЯ

Г. Л. РАСУЛОВ, Д. М. ДАНИЛЕВСКАЯ

АНАЛИЗ ПОРЯДКОВ ДОЛИН ДЛЯ ХАРАКТЕРИСТИКИ  
НОВЕЙШИХ ТЕКТОНИЧЕСКИХ ДВИЖЕНИЙ В ПРЕДЕЛАХ  
ЮЖНОГО ПРЕДГОРЬЯ БОЛЬШОГО КАВКАЗА

(Представлено академиком АН Азербайджанской ССР А. А. Якубовым)

Новейшая тектоника изучается большим комплексом геоморфологических и геолого-геофизических методов, одним из которых является морфометрический метод. исследования новейших движений. Вполне самостоятельный по методике и техническим приемам, он в то же время является наиболее экономичным камеральным методом поисков неотектонических структур.

Этот метод, предложенный Р. Е. Харитоном, В. П. Пановым и уточненный В. П. Философовым (1960 г.), успешно применяется в настоящее время в различных районах территории Советского Союза для поисков неотектонических структур.

Морфометрический метод основан на изучении количественных и высотных соотношений форм рельефа земной поверхности с тектоническими структурами.

Особенность тектоники, геологического и геоморфологического строения обусловливают особую сложность применения морфометрического метода в условиях нашего района. К указанным особенностям можно отнести литологическую неоднородность новейших образований (верхнеплиоцен-антропогеновых), переходный характер предгорий к складчатым областям, широкое развитие как эрозионно-тектонического, так и аккумулятивный форм рельефа и т. д. Эта работа в условиях Азербайджана применяется впервые и дала определенные результаты, необходимые для оценки новейших и современных тектонических движений молодых геологических образований.

В предлагаемой статье освещаются результаты анализа порядков долин. В морфометрических исследованиях выявление порядков долин и нанесение их на карту имеет большое значение и основой построения различных других морфометрических карт.

В. П. Философов (1967 г.) называет долинами незамкнутые понижения рельефа, ограниченные с боков обращенными друг к другу скатами, выработанными проточной водой и имеющими общий уклон в продольном направлении. Долины, созданные поверхностными про-

точными и подземными водами при взаимодействии с линейными положительными и отрицательными тектоническими структурами в исследуемом районе являются широко распространенными формами рельфа. Встречаясь, долины низших порядков не пересекают друг друга, а слияясь, образуют долины более высоких порядков. Самыми элементарными являются долины первого порядка. Они возникают при слиянии отдельных струй плоскостного стока в линейный поток. Две долины первого порядка, слияясь, образуют долину второго порядка. Долина третьего порядка образуется от слияния двух долин второго порядка и т. д. Для всех участков новейших поднятий области характерна двоякая связь однопорядковых долин как впадения, так и слияния их. При этом они образуют многочисленные гидрографические узлы.

В исследуемой области нами выделено шесть порядков долин.

Являясь одной из основных форм рельефа, долины возникли за определенный промежуток времени. Следовательно, они отражают тектонические движения определенного возраста.

Основными долинами исследуемой области являются реки Алазань, Агричай, Алиджанчай, Туринчай, Геокчай, Гирдыманчай и Кура, которая является основной гидрографической единицей. Кура имеет наивысший — 6-й порядок. Из указанных рек только у Алиджанчая и Агричая 4-й порядок. Все другие реки имеют долины 5-го порядка.

В крайней северо-западной части района р. Агричай, имеющая долину 4-го порядка, впадает в р. Алазань, у которой порядок на единицу выше. Правобережье Агричая представляет собой аккумулятивную равнину, тектонически соответствующую широкому синклинальному прогибу. Поэтому и основные притоки Агричая расположены как раз на этой стороне, из которых шесть 3-го порядка, двенадцать притоков 2-го порядка и множество 1-го порядка. Почти все долины впадают в русло Агричая под прямым углом.

Левобережье Агричая, т. е. северный склон Дашиозского хребта имеет в общем мягкие очертания рельефа, за исключением отдельных участков. Здесь отсутствуют постоянные притоки. Главным образом развита овражно-балочная сеть. Оврагов 4-го порядка здесь четыре, 2-го порядка до трех десятков, а 1-го насчитывается несколько десятков. Количество долин, как видно, намного увеличивается с уменьшением их порядка.

Различное, резко асимметричное строение гидрографической сети правого и левого берега Агричая свидетельствует о неравнозначном тектоническом развитии геологических структур указанного участка в новейшем этапе. Складчатые зоны Дашиозская и Кудбарекдагская испытывали интенсивное воздымание в указанном этапе, отсюда и резкая расчлененность рельефа, многочисленность долин более низких порядков, образовавшихся сравнительно в недавнее время.

Долина Агричая хорошо разработана, имеет широкое аллювиальное дно и резко выраженную асимметрию склонов, обусловленную длительным односторонним смещением на север. В период своего начального заложения основное русло реки находилось, очевидно, южнее современного. Оно, по мере воздымания Дашиозской структуры сместилось на север и, наконец, приняло современное положение. Этому смещению способствовала активизация неотектонических движений, выразившаяся в росте указанных структур.

Участок р. Куры, расположенный к югу от описанной территории, между меридианом, проходящим западнее Алазани и через г. Мингечаур, выглядит несколько иначе. Наиболее расчлененным здесь является правый берег реки. На правом берегу отсутствуют притоки (за исключением Кюракчая). Овражно-балочная система весьма развита. Будучи эрозионной формой, овраг здесь начинается в ложбине стока

или вблизи слияния последних, резко выраженным обрывом и при своем росте уничтожает ложбину стока. Они, зарождаясь в пределах водораздельного стока, проходят вершиной, достигая водораздельного пространства. Кроме того, на этом участке наблюдаются и сквозные долины. Указанный берег относительно крутой. Оврагов порядка несколько десятков, а 1-го более сотни. Данному участку свойствен быстрый переход низких порядков долин в более высоких порядков свидетельствует о том, что здесь имели место интенсивные денудационные процессы.

Значительные отиссительные высоты и большая величина врезания оврагов, как правило, приурочены к районам, испытывающим поднятие, поэтому и большое распространение оврагов здесь при прочих равных условиях свидетельствует о том, что они приурочены к участкам новейших поднятий, испытывающих восходящие движения и настоящее время.

Другие реки района Алиджанчай, Туринчай, Гескчай, Гирдыманчай являются транзитными и берут свое начало с Большого Кавказа. Все они текут почти в субмеридиональном направлении, прорезая тектонические структуры области, впадают в главную речную артерию — Курь.

В средних течениях указанных рек овражная система имеет наиболее широкое развитие.

В бассейне реки Алиджанчай овраги 4-го порядка уже не наблюдаются. Определено пять оврагов 3-го порядка на правом берегу. Такое же количество оврагов 3-го порядка прослеживается и на левобережье Алиджанчая. Долины второго порядка и первого развиты значительно больше.

В бассейнах рек Туринчай и Геокчай нарастание порядков долин происходит значительно быстрее, чем в долине Алиджанчай. Имеют широкое развитие долины 1-го и 2-го порядков. В пределах долин указанных рек на границе водораздельного пространства с водораздельным склоном, там, где увеличиваются уклоны склонов, ложбины стоков быстро переходят в овраги 1-го порядка, или овраги 2-го и 3-го, а местами 4-го порядков.

Очень хорошо разработаны долины самих рек Алиджанчай, Туринчай, Геокчай, Гирдыманчай. Они имеют широкое аллювиальное дно, довольно резкую асимметричность склонов. На участках, где реки секут антиклинальные поднятия Север-Айдынбулагское, Чайкаракбюлинское, Восточно-Коджашенское, Согутлинское, Юхары-Аджияздинское и др. крылья последних сложены современными отложениями. Вместе с тем, тектонические структуры определяли место заложения речных долин, а последующие движения этих структур повлияли на весь ход дальнейшего их развития.

Исходя из того, что участкам новейших тектонических поднятий присуща большая пересеченность рельефа и учитывая все сказанное, можно отметить, что в региональном масштабе тектоническая активность уменьшается с севера на юго-восток, с севера на восток, но дифференцированный характер движений обусловил некоторое различие активности этих процессов, что видно из порядков долин. К участкам новейших поднятий, испытывающим восходящие, и в настоящее время, можно отнести складчатые зоны Дашиоз-Амирванскую, Кудбарекдагскую, Коджашенскую, Боздаг-Караджинскую, а к участкам прогибов широкую Арешскую мульду и другие синклинальные погружения, разделяющие складчатые зоны.

В исследуемом районе растущие новейшие поднятия оказали весьма существенное влияние на развитие и плановое размещение речной

системы Алаазани, Алиджанчая, Турианчая, Геокчая, Гирдыманчая; Результаты геоморфологических исследований доказали, что почти все долины этих рек являются анцедентными.

Дифференцированное проявление новейших тектонических движений по-разному отразилось на отдельных участках. Так, например, при интенсивном росте Айдынбулагской и Чайкендской структур происходила миграция разливов в среднем течении Алиджанчая вверх по течению и относительно древние разливы оказываются осушеными и вовлеченными в новейшее поднятие.

В силу преобладания интенсивности новейших движений над эрозионной деятельностью водного потока, Алиджанчай полностью огибает Чайкендскую структуру и прорезает юго-восточную переклиналь Северо-Айдынбулагской антиклинали. По мере ослабления интенсивности новейших движений в юго-восточном направлении и преобладающего действия эрозии над тектоникой, Турианчай и Геокчай прорезают переклинальную часть Согутлинской и Гейвандлинской структур.

При относительно медленном росте поднятий и преобладании эрозионной деятельности рек, последние полностью прорезают структуры, расположенные к югу от Арешского синклинального прогиба. Так, например, в нижнем течении реки Алиджанчай, Турианчай, Геокчай, Гирдыманчай полностью прорезают Чайкаракоюилинскую, Восточно-Коджашенскую, Совалансскую, Юхары-Агджаязинскую, Теклинскую, Геокчайскую и Карамарьямскую антиклинальные структуры в их центральных частях.

В пределах этих структур происходит значительное сужение долин, уменьшение пойм и террас, спрямление русла и заметное уменьшение степени меандрирования, увеличение высоты террас и уклона рек по сравнению со смежными синклинальными участками. Резкое увеличение глубины эрозионных врезов и спрямление русла также наблюдается у меридионального течения реки Алаазань, где она прорезает Западно-Дашузскую, Кудбарекдагскую и Аджиноурскую структуры.

Отсутствие извилистости и полное спрямление рек в пределах вышеуказанных структур связано с движениями, имеющими место в современном и новейшем этапе в исследуемом районе.

В пределах синклинальных прогибов, расположенных между расположенных между указанными антиклинальными зонами, рельеф выполяживается и принимает равнинный характер. Здесь почти отсутствуют долины низших порядков. Сток воды эпизодический и наблюдается только во время весенних и осенних затяжных дождей. Русла таких потоков, в особенности малых порядков, на плоской поверхности равнины часто теряются. Размер и форма долин связаны с порядками. Если на участках новейших поднятий происходит быстрый переход низших порядков в более высокие, что привело к сокращению длины этих оврагов, то на участках тектонических прогибов нарастание порядков долин происходит медленно. В указанных синклинальных прогибах весьма широкое распросстранение имеют ложбины стока, которые переходят в балки, а не в овраги. Овраги совершенно отсутствуют. Реки начинаются с более высоких порядков долин, чем в пределах тектонических поднятий.

К границам отдельных впадин, как правило, приурочено слияние долин одного порядка. Они как бы оконтуривают положительные структуры, причем, чем меньше порядок сливающихся долин, тем меньше контуры синклинальных прогибов. Слияние долин в исследуемом районе и большинство случаев псевдометрическое.

Дифференциация рельефа в области происходила в соответствии с направлением и интенсивностью тектонических движений в новейшее

время. При этом в современном рельефе антиклинальным поднятиям соответствуют водоразделы, а синклинальным прогибам широкие понижения. В пределах пониженных участков возникают речные долины более высоких порядков, а крылья новейших тектонических поднятий рассекаются оврагами, болками и небольшими речушками младших порядков.

Надо сказать, что длина однопорядковых долин зависит от геолого-геоморфологических условий. Зависимость между порядком долин и их размерами не линейна, а различна для разных структур исследуемого района.

Порядок относительно больших речных долин зависит от характера структурно-тектонических зон, в пределах которых они протекают. Так, Алиджанчай, Турианчай, Геокчай, Гирдыманчай быстро приобретают 5-й порядок на участках складчатых структур области, но далее, в пределах Куринской низменности до впадения в Куру на протяжении более 50 км порядок их не увеличивается.

Таким образом, анализ порядков долин применительно к исследуемой территории в совокупности с результатами анализа других морфометрических исследований, дает возможность определить характер и степень дифференцированности новейших тектонических исследований.

## ЛИТЕРАТУРА

1. Ахмедбэйли Ф. С. Неотектоника восточной части Большого Кавказа. Изд-во АН Азерб. СССР, Баку, 1966.
2. Гаврилов М. Д. Основные черты новейшей тектоники и геоморфологии Аджиноура. Тр. конфер. по геоморфологии Закавказья, 1953.
3. Геоморфологические методы при нефтегазопоисковых работах. Изд-во "Недра", 1966.
4. Морфологический метод при геологических исследованиях. Материалы первого межведомственного совещания по морфометрическому методу поисков тектонических структур, состоявшийся в Саратове с 1 по 4 февраля 1962 г. Изд-во Саратовского Ун-та, 1963.
5. Мусеевов М. А. Новейшая тектоника Средне-Куринской впадины. Уч. зап. АГУ, серия геол.-геогр., № 1, 1962.
6. Ширинов Ф. А., Баженов Ю. П. Геологическое строение предгорий южного склона Большого Кавказа. Азернешр, 1962.
7. Философов В. П. Порядки долин и их использование при геологических исследованиях. Научный ежегодник за 1955 г. Саратовский ун-т, геологич. фа-т, Саратов, 1959.
8. Философов В. П. Морфометрический метод выявления структур. Тр. ВНИГИХ. Изд-во "Недра", 1966.
9. Философов В. П. Некоторые теоретические вопросы морфометрического метода выявления тектонических структур. Изд-во Саратовского ун-та, 1963.

Институт геологии

Поступило 28. IV 1967

Н. Л. Ресулов, Д. М. Данилевская

Бөјүк Гафгазын дағданы саһасында жени тектоник һәрәкәтләрин сәчијјәләнмәси учун чај дәрәләри сырасынын анализи

## ХУЛАСЭ

Бөјүк Гафгазын чәнуб дағданы саһасынни чај дәрәләри сырасынын тәдгиги иәтичәсендә мүәјҗән едилемнишdir ки, жени мәрһәләдә қеоложи гырышыгылгыларын тектоник иикишафы мұхтәлиф олмушадур.

Бу да жени тектоник һәрәкәтләрин мұхтәлиф саһәләрдә бир-бириндән фәргли олмасы илә әлагәдәрдәр.

Іәр бир чај дәрәсі сырасы мүәјҗән йашлы тектоник һәрәкәти экс етдири.

Жени голхмаларын иикишафы чај дәрәләри системини јерлашмасында опун иикишафына хејли тә'сир көстәрмишdir.

Analysis of valley orders for the characteristics of the newest tectonic movements within the limits of great caucasus southern piedmont

SUMMARY

As the valleys are one of the land forms they originated within the definite period of time and represent tectonic movements of definite age. Growing newest upheavals influenced greatly the development and planned distribution of river system.

УДК 551. 4(422. 94)

ФИЗИЧЕСКАЯ ГЕОГРАФИЯ

М. А. МУСЕИБОВ, Б. А. БУДАГОВ

О НОВОМ ФИЗИКО-ГЕОГРАФИЧЕСКОМ РАЙОНИРОВАНИИ  
АЗЕРБАЙДЖАНСКОЙ ССР

(Представлено академиком АН Азербайджанской ССР Г. Алиевым)

За последние 20—25 лет предложены десятки схем физико-географического районирования территории Азербайджанской ССР.

Подавляющее большинство предложенных ранее схем не было подкреплено достаточными фактическими данными о характере территориальной дифференциации ландшафтов. За последнее десятилетие вся территория республики была покрыта равнамасштабной ландшафтной съемкой. Для горных областей были составлены главным образом среднемасштабные, а для предгорных и равнинных районов—крупномасштабные ландшафтные карты. За это время большие работы проводились по изучению биоклиматических особенностей территории республики и изданы монографии по климату, гидрологии, геоморфологии, почвоведению, растительному покрову и т. п. Все позволяет в отличие от предыдущих схем решить вопрос физико-географического районирования Азербайджана на более твердых научных основах.

Научно-теоретические основы комплексного районирования Азербайджана, в том числе системы региональных таксономических единиц, в определенной степени были разработаны ранее (М. А. Мусеев, 1958, 1961; М. А. Мусеев, В. А. Будагов, Ш. Б. Керимов, Н. Ш. Шириков, 1965).

Исследования последних 5—10 лет позволяют уточнить схему районирования республики, предложенную в наших предыдущих работах и значительно дополнить комплексную характеристику отдельных крупных и выделенных в них физико-географических районов, базируясь на среднемасштабную ландшафтную карту Б. А. Будагова [1].

Различные и своеобразные сочетания известных физико-географических факторов обусловливают чрезвычайно различный характер биоклиматических и почвенных условий, что в комплексе определяет физиономию и гамму разнообразных видов, подтипов ландшафтов, своеобразно комплексирующихся в пределах каждого конкретного физико-географического региона.

Большая часть территории Азербайджанской ССР входит в физико-географическую страну Кавказ, которая распадается на ряд областей, меньшая ее часть—территория Нахичеванской АССР—относится к физико-географической стране Переднеазиатских нагорий. На тер-

территории Азербайджана физико-географические области Кавказа представлены своими юго-восточными провинциями.



I 1 2 3 4 5 6 II 7 8 9 10  
III 11 12 13 14 IV 15 16 V 17 VI 18 19

Карта-схема физико-географического районирования Азербайджанской ССР (Данные см. в таблице). Составили М. А. Мусеинов и Б. А. Будагов.

Известно, что в горных странах основой для выделения крупных региональных единиц (в пределах конкретной горной физико-географической страны) являются морфоструктурные особенности территории. Исходя из этого, в Азербайджане выделены физико-географические провинции Большого Кавказа, Малого Кавказа, Кура-Араксинской низменности, Среднеараксинской котловины и Ленкоранской, которые являются частями более крупных одноименных физико-географических областей Кавказа и Переднеазиатских нагорий.

Азербайджанские части, перечисленные в таблице горных физико-географических областей, неоднородны по типу и структуре высотных ландшафтных поясов, в целом определяемых климатическими и геоморфологическими особенностями территории. Благодаря этой неоднородности они распадаются на ряд физико-географических подобластей и районов.

Крайняя юго-восточная часть Большого Кавказа, рассматриваемая нами в качестве области, прежде всего делится на три подпровинции, в основу которых положена мезоэкспозиция региона: это провинция СВ,—Южного склонов и ЮВ погружения. Биоклиматические, геолого-геоморфологические условия названных подобластей существенно различаются и поэтому каждая из них характеризуется спределенным

### Физико-географическое районирование Азербайджанской ССР

Страна	Область	Подобласть	Район
Кавказ	I. Юго-Восточная часть Большого Кавказа II. Малый Кавказ III. Куринская межгорная впадина	a) Северо-Восточный склон	1. Самур-Дивичинский
		b) Южный склон Большого Кавказа	2. Конакхендский
		v) Юго-восточное погружение Большого Кавказа	3. Закатало-Лагичский
		g) Гянджа-Карабахская горная	4. Азазано-Агричайский
		d) Севано-Акерицкая	5. Шемахинский
		e) Гарсаклети-Аджинопурская	6. Кобыстан-Ашеронский
		j) Кура-Араксинская	7. Гянджинский
			8. Карабахский
			9. Вулканическое нагорье
			10. Акерицкий
			11. Аджиноур-Джейранчельский
			12. Казах-Карабахский
			13. Кюдрю-Ширванский
			14. Приараксинский
			15. Кура-Араксинский
Переднеазиатские нагорья	IV. Ленкоранская		16. Ленкоранский
			17. Талышский
	V. Средне-Араксинская	Нахичеванская	18. Шаруро-Ордубадский 19. Нахичеванский

набором и типом высотных ландшафтных поясов. На СВ склонах на этой же основе выделены следующие физико-географические районы:

1. Самур-Дивичинский, 2. Конакхендский.

Первый охватывает Прикаспийскую низменность, характеризуется господством, в южной части полупустынных, в северной—лесных, лугово-лесных (низовые леса района обильного грунтового увлажнения) ландшафтов. Данный район без изменений природных условий продолжается на север по приморской низменности до гор. Дербента. Таким образом, он в пределах Азербайджана представлен не полностью.

Конакхендский район охватывает значительную территорию, характеризуется господством с semiаридных ландшафтов на крайней низкогорной ЮВ части, лесными—в остальной части низкогорья и среднегорья, субальпийскими высокогорьями с небольшими участками скальных и нивально-ледниковых ландшафтов.

Подобласть южного склона в пределах республики представлена не полностью. Два района, выделенные в ее пределах (3. Закатало-Лагичский и 4. Азазано-Агричайский), почти без существенных изменений продолжаются до поперечного Кахетинского хребта. Господствующие ландшафты Закатало-Лагичского района—горно-лесные, достаточно увлажненные и скально-крутосклонного высокогорья.

Подобласть ЮВ погружения Б. Кавказа характеризуется аридным, semiаридным климатом. В западной, сравнительно возвышенной части ее на нагорных плато господствуют горно-степные ландшафты на меловом палеоген-неогеновом комплексе осадочных пород, местами в сочетании с кустарниками и лесокустарниками, в восточной части доминируют полупустынного и сухостепного, широко развиты также аридно-денудационные формы рельефа. Эти особенности ландшафта позволяют выделить здесь два района: 5. Шемахинский и 6. Кобыстан-Ашеронский.

Азербайджанская часть М. Кавказа представляет собой сложную ландшафтную область и делится на две подобласти: Гянджа-Карабахскую и Севано-Акеринскую. Господствующие высотные ландшафтные пояса представлены горно-луговыми. Отдельные части области существенно различаются между собой по общей структуре ландшафта. Здесь выделены (как и в предыдущих схемах) четыре физико-географических района: 7. Гянджинский, 8. Карабахский, 9. Вулканическое нагорье. 10. Акеринский. Если между седьмым и восьмым районами много общего, то девятый (основной тип ландшафта горно-луговой на обширных лавовых, туфо-лавовых плато и склонах вулканических массивов) и десятый (горно-степные, кустарниково-степные комплексы, местами в сочетании с аридными редколесьями и светлыми лесами) сильно отличаются как от предыдущих, так и между собой.

Область Куринской межгорной впадины в пределах Азербайджана является сложным физико-географическим образованием и делится на две подобласти: 1. Гарсакети-Аджиноурскую подпровинцию, 2. Кура-Араксинскую. Гарсакети-Аджиноурская подпровинция входит в пределы республики Аджиноур-Джейранчельским районом. Основные черты природных комплексов—господство полупустынных, сухо-степных, степных ландшафтов с участками аридных редколесий (из арчи и эльдарской сосны) и низкогорных дубовых лесов, лесо-кустарников на аридно-денудационных, предельно расчлененных низких горах и грядах в южной полосе подобласти, плато, слаборасчлененных низких гор и хребтов в центральной и северной ее полосах. В подобласти выделяется один район: 11. Аджиноур-Джейранчельский (зерноводство, виноградарство, часть—зимние пастбища).

Кура-Араксинская подобласть характеризуется господством плоских морских и аллювиальных низин с полупустынными ландшафтами (с интразональными комплексами: тугай, болотные, озерно-болотные, луговые и лугово-болотные, солончаки и т. п.) и элементами пустынных (на востоке равнин) наклонных, местами расчлененных иллювиально-пролювиальных, делювиально-пролювиальных равнин с сухо-степными, кустарниково-степными ландшафтами, местами с участками низинных лесов и аридных редколесий из фисташки. Ландшафты и условия развития сельского хозяйства плоских низин и наклонных равнин совершенно различны, что позволяет здесь (в отличие от всех предыдущих схем) дать следующие физико-географические районы: 12. Казах-Карабахский, 13. Кюдро-Ширванский, 14. Приараксинский, 15. Кура-Араксинский.

Ленкоранская область также состоит из двух природных районов: 16. Ленкоранская низменность, которая характеризуется влажным субтропическим климатом и субтропическими ландшафтами, в первичном виде представлена лесами с богатым видовым составом; 17. Район горного Талыша характеризуется господством низкогорно-лесного пояса, их субтропических видов, включая реликтовые и среднегорно-лесные пояса. На севере области леса замещаются щебляком и степями пологих низких гор и холмов. Для горного Талыша характерна также инверсия ландшафта—азональные ландшафты межгорной котловины среднегорного пояса—Ярдымлинская, Лерикская, щебляком и кустарниково-степными комплексами, появлены аридных элементов в водораздельном пограничном Талышском хребте.

На территории Нахичеванской АССР, входящей в физико-географическую схему Переднеазиатских нагорий, выделены два района (как и в предыдущих схемах): 18. Шаруро-Ордубадский, 19. Нахидчеванский, входящие в среднеараксинскую провинцию азиатской природной страны. Резко выраженная континентальность климата в условиях горно-котловинного рельефа обусловила развитие полупустын-

ных ландшафтов на Приараксинской равнине и горно-ксерофитных комплексов с небольшими участками леса на сильно пересеченных крутосклонных горных хребтах. Высокогорная зона характеризуется горно-луговыми и скальными комплексами.

Из изложенного следует, что различные физико-географические районы республики характеризуются определенным набором типов и подтипов ландшафта, обусловленных биоклиматическими, геологогеоморфологическими факторами, что в конечном итоге предопределяет специализацию сельского хозяйства в их пределах.

## ЛИТЕРАТУРА

- Будагов Б. А. Ландшафтная карта Азербайджанской ССР. Изв. АН Азерб. ССР, серия наук о Земле, 1970, № 6. 2. Гвоздецкий Н. А. Общая схема физико-географического районирования Кавказа и Закавказья. Уч. зап. АГУ. Физико-географического районирования Азербайджана. Уч. зап. АГУ, серия геол.-геогр., 1958, № 2, 4. Завриев В. Г. Схема физико-географического районирования Азербайджанской ССР. М., 1963. 5. Мусеев М. А. Физико-географическое районирование Азербайджана. Тез. докл. межвуз. совещ., посвящ. естественно-историч. эконом.-географич. районированию для целей с/х горного Кавказа и республик Закавказья. Баку, 1961. 6. Мусеев М. А., Керимов Ш. Б., Будагов Б. А., Ширинов Н. Ш. Физико-географическое районирование Азербайджанской ССР. Матлы в межвуз. совещ. по физико-географич. и эконом.-географич. районированию Средней Азии и Казахстана для целей с/х. Ташкент, 1965. 7. Сафаров И. С. Физико-географическое районирование и основы рационального размещения отраслей сельского хозяйства. Тез. докл. межвуз. совещ., посвящ. естественно-историч. и эконом.-географич. районированию для целей с/х горного Кавказа и республик Закавказья. Баку, 1961. 8. Шихлинский Э. М., Завриев В. Г. Физико-географические области и районы Азербайджана. "Советский Азербайджан", Изд-во АН Азерб ССР. Баку, 1949.

Институт географии

Поступило 24. XII 1973

М. А. Мусеев, Б. Э. Будагов

## Азэрбајҹан ССР-ин физики-ҷоғрафи рајонлашмасы

### ХҮЛАСЭ

Мүәллифләр республика әразисинә апарылан ландшафт тәдгигат ларына әсасланараг, Азэрбајҹан ССР-ин йени физики-ҷоғрафи рајонлашмасыны вермишләр.

Онлар Азэрбајҹан ССР әразисини ики өлкәјә—Гафгaz вә Өн Асија јәјләсъына бөлмүшләр. Гафгaz өлкәсүнә дөрд вилајәт дахил едилиш, һәр вилајәт дахилиндә исә јарымвилајәтләр (JB) вә рајонлар айрылышы.

Бөյүк Гафгазын чәнуб-шәрг һиссәсүнә дахил едилен шимал-шәрг Јамачы JB-дә 1) Самур—Дәвәчи вә 2) Гонагкәнд, чәнуб Јамачында-кы JB-дә 3) Загатала—Лиһыч вә 4) Алазан—Әјричај, Бөйүк Гафгазын чәнуб-шәрг гуртарачағы JB-дә 5) Шамахы вә 6) Гобустан—Абшерон рајонлары айрылышы.

Кичик Гафгазын Кәнчә—Гарабағ (дағлыг) JB-дә 7) Кәнчә, 8) Гарабағ, Севан—Һәкәрә JB-дә исә 9) Вулканик яјла вә 10) Һәкәрә рајонлары айрылышы.

Күр дағарасы чөкәклийинин Гарсакети—Ачыноһур JB-дә 11) Ачыноһур—Чејранчөл; Күр—Араз JB-дә исә 12) Газах—Гарабағ, 13) Күдрү—Ширван, 14) Аразбоју вә 15) Күр—Араз рајонлары айрылышы.

Ләнкәран вилајәти дахилиндә ики—16) Ләнкәран вә 17) Талыш, Орта Араз вилајәтинин Нахчыван JB дахилиндә дә ики—18) Шәрил—Ордубад вә 19) Нахчыван рајонлары айрылышы.

Мәгаләдә һәр бир рајонун гыса сәчијәси верилир.

New physical—geographical division into districts  
of the Azerbaijan SSR

## SUMMARY

Landscape investigation carried out at the last 5—10 years permits us to determine and supplement the division into districts of the Azerbaijan SSR. The territory of the Azerbaijan SSR is distinguished into two physical—geographical countries: the Caucasus and Front Asian Highland Caucasian country includes the south eastern part of the Grand Caucasus. Minor Caucasus, the Kur intermountainous depression and Lankaran region. The Front Asian Country includes only Middle—Aras region. Every region is distinguished into subregion (8 subregions), but subregions into districts (19 districts).

УДК 581.14

## ФИЗИОЛОГИЯ РАСТЕНИЙ

Р. А. САФАРАЛИЕВА, Р. М. МЕХТИЗАДЕ

АУКСИНО-ИНГИБИТОРНАЯ АКТИВНОСТЬ СЕМЯН НУТА  
В ПРОЦЕССЕ ИХ НАБУХАНИЯ

(Представлено академиком АН Азербайджанской ССР М. Г. Абуталибовым)

Рост растений представляет собой процесс, управляемый группой эндогенных факторов, обладающих регуляторными функциями. К их числу относятся как фитогормоны, так и ингибиторы роста.

Имеется достаточно данных, свидетельствующих об активной роли природных ингибиторов роста [2].

Показано также, что углубленный физиологический анализ онтогенеза невозможен без изучения и фитогормонов [4].

Несмотря на широкую распространенность ростовых веществ в тканях различных растений и их большое значение в регуляции физиологического-биохимических процессов, мы не располагаем достаточной информацией не только относительно механизма действия, но и относительно распределения этих веществ у разных растений.

Особенно мало изучен вопрос изменения содержания регуляторов роста в семенах различных растений, в процессе их набухания и прорастания.

В связи с этим мы исследовали характер изменения ауксино-ингибиторной активности в процессе набухания и прорастания семян нута. В настоящей работе приводятся данные, касающиеся периода набухания семян.

С этой целью были взяты сухие семена нута и после 2, 4, 8, 12, 24 ч намачивания в водопроводной воде при температуре 25—26°. Материал фиксировался жидким азотом, экстракция проводилась серным эфиром. Для разгонки хроматограмм применяли две системы растворителей—уксусная кислота—вода (15 : 85) и *n*-бутанол—аммиак—вода (10 : 1 : 1). Хроматограммы просматривали в дневном, ультрафиолетовом свете (УФ) и в УФ в парах аммиака, обрабатывали  $\text{AgNO}_2$  без  $\text{NaOH}$  и с  $\text{NaOH}$ ,  $\text{FeCl}_3$ ,  $\text{AlCl}_3$ , ДСК (диазотированной сульфаниловой кислотой), ванилиновым реагентом, реактивами Сальковского, Эрлиха, Прохазки. Биологическую активность обнаруженных пятен оценивали по приросту колеоптилей пшеницы по методу Бояркина [1].

Разгонка экстракта сухих семян нута в кислой системе растворителей позволила обнаружить соединения с  $R_f$  0,28; 0,60; 0,70 и 0,88

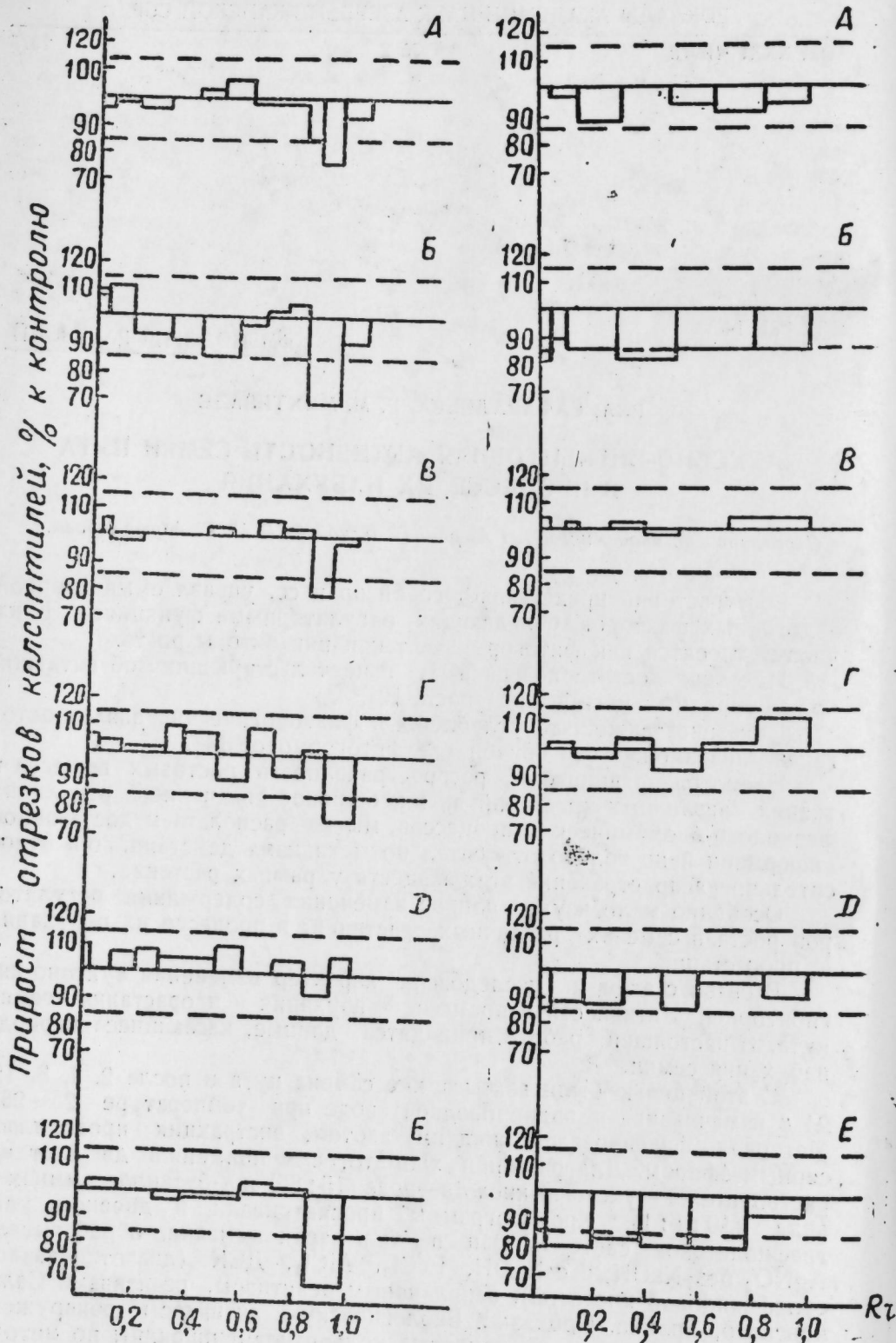


Рис. 1. Содержание ростовых веществ в семенах нута—сухих (А), после 2-часового (Б), 4- (В), 8- (Г), 12- (Д) и 24-часового (Е) намачивания. Смесь для разделения—уксусная кислота—вода (15:85).

Рис. 2. Содержание ростовых веществ в семенах нута—сухих (А), после 2-часового (Б), 4- (В), 8- (Г), 12- (Д) и 24-часового (Е) намачивания. Смесь для разделения—п-бутиламмиак—вода (10:1:1)

(рис. 1, А). Из них заметно выделяется своей активностью вещество с Rf 0,88. Оно ингибирировало прирост колеоптилей пшеницы на 24%. Активность трех других соединений была невысокой, в пределах недостоверности.

Разгонка экстракта сухих семян нута в щелочном растворителе также показала некоторую ингибирующую активность ростовых веществ.

При намачивании семян, т. е. в процессе их набухания, ингибирующая активность вещества с Rf 0,88, обнаруженного в кислом растворителе, сохраняется при существенном изменении уровня его активности (рис. 1 и 2 Б, В, Г, Д, Е).

Можно высказать предположение, что функция обнаруженного в семенах нута и гибрита защищается в подавлении прорастания семян. Причем, как показывают наши данные (рис. 1, Е), ингибирующая активность этого вещества с продолжительностью набухания семян не исчезает.

Так, при 2-часовом намачивании (рис. 1, Б) ингибирующая активность его существенно возрастает от 24% в сухих семенах до 32%, что, по-видимому, происходит за счет освобождения связанной его формы. Усиление ростингибирующей активности при 2-часовом намачивании семян нута показывают зоны хроматограммы и при разделении экстракта семян в щелочной смеси растворителей (рис. 2, Б).

Как видно из данных исследования (рис. 1 В, Г), ингибирующая активность вещества с Rf 0,88 с увеличением продолжительности намачивания несколько слабеет. При 4- и 8-часовом намачивании семян нута активность его падает до исходного значения, что может быть связано с инактивацией свободной формы ингибитора и, частично, с вымыванием его в процессе набухания.

По-видимому, с продолжительностью набухания семян ингибирующая активность этого соединения слабеет и в какой-то момент достигает своего минимума. В нашем опыте наименьшая активность ингибитора с Rf 0,88 наблюдалась при 12-часовом намачивании семян (рис. 1, Е). Однако во всех остальных зонах хроматограммы отмечалась тенденция к стимулирующей активности.

Можно полагать, что 12-часовое намачивание семян нута обеспечивает наилучшее соотношение стимуляторы для активации прорастания семян нута.

При дальнейшем намачивании семян (рис. 1, Е) вновь повышается ингибирующая активность рассматриваемого соединения, достигая к 24 ч значительного уровня (33%). При этом и на хроматограммах, разогнанных в щелочной смеси растворителей, наблюдается тенденция к ингибирующей активности (рис. 2, Е). Как показали наши предыдущие исследования, при чрезмерном намачивании семян (порядка двух суток) наблюдается высокая и устойчивая ростингибирующая активность во всех зонах хроматограммы. По-видимому, чрезмерно продолжительное так же, как и недостаточное намачивание семян, не обеспечивает нормального соотношения стимуляторы для их прорастания.

Идентификация обнаруженных в семенах нута соединений с помощью физических, химических и биологических показателей позволяет предположительно отнести их к фенолкарбоновым кислотам по отсутствию окраски пятен при дневном свете, голубоватому свечению в УФ-свете, реакции с  $\text{AgNO}_3$  со щелочью, ДСК, отсутствию реакций с  $\text{AlCl}_3$ , ванилиновым реагентом реактивами Сальковского, Эрлиха, Прохазки.

**Выводы**

1. Изучение ауксино-ингибиторной активности семян нута в процессе набухания позволило выявить в сухих и намоченных семенах соединение с Rf 0,88, отличающееся заметной ингибирующей активностью.

2. Предполагается, что функция указанного соединения заключается в ингибировании процесса прорастания семян нута.

3. Активность обнаруженного в семенах нута ингибитора существенно меняется в процессе набухания.

4. По-видимому, 12-часовое намачивание семян нута обеспечивает наиболее благоприятное соотношение стимуляторы, необходимое для ингибиторы интенсивного прорастания семян.

5. Идентификация обнаруженного в семенах нута ростингибирующего соединения с Rf 0,88 позволяет предположительно отнести его к фенолкарбоновым кислотам.

**ЛИТЕРАТУРА**

1. Бояркин А. Н. Сб. «Методы определения регуляторов роста и гербицидов». Изд-во «Наука», 1966.
2. Игнатьев Б. Д., Шаткина Ш. И. Физиология и биохимия раст., т. 2, вып. 1, 1970.
3. Кефели В. И., Турецкая Р. Х. Сб. «Методы определения регуляторов роста и гербицидов». Изд-во «Наука», 1966.
4. Холодный Н. Г. Применение регуляторов роста в плодоводстве. М., 1958.

Ин-т ботаники

Поступило 19. IV 1972

Р. А. Сәфәрәлијева, Р. М. Меңдизадә

**Шишмә просесиндә нут тохумларынын ауксин—ингибитор фәаллығы****ХУЛАСӘ**

Нут тохумларынын ауксин—ингибитор фәаллығынын өјрәнилмәсі нәтижесинде гуру вә исладылыш тохумларда шишмә просеси заманы ингибитор фәаллығы илә фәргләнән Rf 0,88-дә јерләшән бирләшмә ашқар едилмишdir.

Һәмmin бирләшмәнин илкін еңиләшдирилмәсі онун фенолкарбон туршуларына мәнсуб олдуғын көстәрмишdir.

Әлдә олан мә'лumatlara әсасән еңтимал олунур ки, бу бирләшмәнин вәзиғеси тохумларын чүчәрмәсии ләнkitmәкдән ibarәтdir.

R. A. Safaralieva, R. M. Mehtizade

**The auxin—Inhibitory activity of the chick pea seeds  
in the process of their swelling****SUMMARY**

The study of the auxin—inhibitory activity of the chick pea seeds in the swelling process had allowed to reveal in the dry and moisten seeds some combination with Rf 0,88, differed from distinct inhibitory activity.

The preliminary identification of the discovered combination permit to take it to phenolcarbony acids.

It is suppose, that the function of the mentioned combination consists in the inhibition of the seeds germination.

УДК 577. 156:513. 445. 4

**ПОЧВОВЕДЕНИЕ**

С. А. АЛИЕВ, Д. А. ГАДЖИЕВ

**АКТИВНОСТЬ ФЕРМЕНТОВ В ОСНОВНЫХ ТИПАХ  
ПОЧВ НАХИЧЕВАНСКОЙ АССР**

(Представлено академиком АН Азербайджанской ССР В. Р. Волобуевым)

В Нахичеванской АССР вертикальная зональность распространения почв накладывает определенный отпечаток на их генетические особенности и биохимическую активность.

Целью наших исследований явилось изучение в почвах вертикальных зон Нахичеванской АССР (примитивные сероземы, сероземы, каштановые, горные черноземы) закономерностей изменения в характере и интенсивности ферментативных процессов.

Активность ферментов почв (инвертаза, фосфотаза, протеаза, каталаза и полифенолоксидаза) изучена методами А. Ш. Галстяна [2], В. Ф. Куипревича и Т. А. Щербаковой [8]. Анализы проведены в 5-кратной повторности на свежих образцах почв при полевой влажности и пересчитаны на абсолютную-сухую почву. Исследования активности ферментов почв проводились в 1969—1970 гг. в сезонной динамике. В работе приводятся результаты средних обобщенных материалов.

Примитивные сероземы и сероземы характеризуются низкой активностью процессов биосинтеза окислительного фермента полифенолоксидазы. Сравнительно повышенная активность протеолитических ферментов свидетельствует о распаде новообразованных азотистых органических соединений [4, 13]. Активность гидролитических ферментов инвертазы и каталазы выражена весьма слабо. Возможно, продолжительное летнее иссушение почв приводит к частичной инактивации молекул ферментов. Незначительное содержание в этих почвах фосфороорганических соединений вызывает снижение фосфатной активности. Отдельные исследователи [7, 8, 12, 10, 15, 14] считают, что снижение активности фосфатаз может быть также связано с наличием в почвах доступных для растений и микроорганизмов форм фосфора. В исследуемых почвах наблюдается низкая активность ферментов по всему почвенному профилю.

В каштановых почвах наблюдается средняя интенсивность биологических процессов, о чем говорит некоторое повышение показателей активности каталазы. Также проявляется высокая активность окислительного фермента—полифенолоксидазы, определяющей значительную интенсивность процессов гумификации растительных остат-

ков и новообразования гумусовых соединений. Из исследований А. Ш. Галстяна [2] видно, что в каштановых почвах Армении также отмечается наибольшая активность окислительного фермента полифенолоксидазы участвующей в процессах синтеза и разложения органического вещества почв. В работах ряда исследователей [1, 2, 3, 5, 9, 11 и др.] установлена способность микроорганизмов при процессах гумификации растительных остатков и новообразования гумусовых соединений продуцировать высокоактивные полифенолоксидазы.

Активность ферментов в основных типах почв Нахичеванской АССР  
(средние за 1969—1970 г.г.)

Почва	Глубина, см	Инвертаза, мг глюкозы/г почвы, 24 ч	Фосфатаза, мг Р <sub>2</sub> О <sub>6</sub> /10 г почвы, ч	Протеаза, мг амин./N/g почвы, 24 ч	Катализ, мг О <sub>2</sub> /г почвы, 2 мин	Полифено-локсидаза, мг пурпургала/100г почвы, 30 мин
Горный чернозем	0—5	42,9	9,2	0,56	12,9	6,0
	0—20	28,1	9,7	0,34	10,8	5,2
	20—40	16,4	7,0	0,19	7,6	3,8
Каштановая	0—5	12,0	4,5	0,29	5,5	6,8
	—	7,0	2,8	0,15	3,9	6,1
	20—40	4,8	1,3	0,10	2,6	3,5
Сероземная	0—5	7,6	2,4	0,20	2,0	4,1
	0—20	4,6	1,0	0,12	2,5	4,1
	20—40	3,5	0,8	0,07	1,2	2,9
Примитивный серозем	0—5	3,7	1,6	0,15	2,0	3,1
	0—20	2,6	1,1	0,07	1,3	3,2
	20—40	1,9	0,6	0,15	0,8	1,1

Повышенная карбонатность исследуемых каштановых почв не сколько подавляет активность гидролитических ферментов — инвертазы и протеазы, участвующих в разложении углеводов и белковых органических веществ. Увеличение в почве содержания гумуса вызывает некоторое повышение интенсивности микробиологических процессов и деятельности экстрацеллюлярных фосфатаз по мобилизации фосфора. Ферментативные процессы наиболее активны в верхнем 0—5-санитметровом слое почвы, с глубиной по профилю их активность в значительной степени снижается.

Наличие в горных черноземах большого количества свежей растительной массы и гумуса способствует значительному повышению интенсивности микробиологических процессов и обогащению почвы высокими комплексами ферментативных систем. В этих почвах наблюдается значительная активность каталазы, что является показателем их высокой биологической активности [4, 2, 9]. Сравнительно высокая активность полифенолоксидазы также свидетельствует о интенсивности протекания процессов гумификации растительных остатков и новообразования гумусовых соединений.

В исследуемых почвах особенно резко возрастает активность гидролитического фермента, участвующего в превращении углеводов растительных остатков и гумусовых веществ.

В горных черноземах менее выражена протеолитическая активность, что говорит о недостаточной интенсивности процессов разложения сложных азотсодержащих органических соединений. Благодаря значительному содержанию органического вещества фосфаты находятся преимущественно в форме недоступных для растений и микро-

организмов фосфорорганических соединений. В связи с этим корни растений и микроорганизмы продуцируют большое количество фосфатов, которые катализируют распад фосфорорганических соединений и образование минерального фосфора. Интенсивность выделения растениями и микроорганизмами фосфатов обусловлена их потребностью в доступном фосфоре [10, 12, 14, 15].

Наибольшая активность ферментов в горных черноземах обнаружена в верхнем слое почвы, с глубиной по почвенному профилю их активность постепенно снижается.

Таким образом, в основных типах почв Нахичеванской АССР в связи с вертикальной зональностью наблюдаются закономерные изменения активности ферментативной системы.

## ЛИТЕРАТУРА

1. Александрова И. В. Роль продуктов жизнедеятельности актиномицетов в образовании гумусовых веществ. «Почвоведение», № 12, 1962.
2. Галстян А. Ш. Активность ферментов как показатель, характеризующий почвенные типы. Докл. к VIII Международному конгрессу почвоведов. «Наука», 1964.
3. Захаров И. С., Тараин Н. П., Курчачева И. И., Вассерман Р. И. Активность ферментов пероксидаз и полифенолоксидаз в почве в зависимости от применения минеральных удобрений и микроэлементов. IV Всесоюзный конгресс почвоведов. Алма-Ата, 1970.
4. Козлов К. А. Изучение биологической активности почв восточной Сибири. «Почвоведение», № 4, 1962.
5. Кононова М. М. Участие целлюлозных микробактерий в процессе гумификации растительных остатков. «Микробиология», т. 18, вып. 2, 1949.
6. Кононова М. М., Александрова И. В. Биохимия процесса гумусообразования и некоторые вопросы питания растений. «Изв. АН СССР, серия биол.», № 1, 1958.
7. Крамер М., Ердей Г. Применение метода определения активности фосфатаз в агрохимических исследованиях. «Почвоведение», № 9, 1959.
8. Купревич В. Ф., Щербакова Т. А. Почвенная энзимология. Изд-во «Наука и техника», Минск, 1966.
9. Махновская А. Д. Участие микроорганизмов в обогащении почвы ферментами. Сб. докл. симп. по ферментам почвы. Изд-во «Наука и техника». Минск, 1968.
10. Миненко А. К. Использование интенсивности продуцирования микроорганизмами фосфатазы для сравнительной оценки обеспеченности почвы доступным фосфором. Сб. докл. симп. по ферментам почвы. Минск, 1968.
11. Мишистин Е. Н., Драгунов С. С., Пушкинская О. М. Роль микроорганизмов в синтезе перегнойных соединений почвы. «Изв. АН СССР, серия биол.», № 9, 1956.
12. Ратнер Е. И., Самойлова С. А. Внеклеточная фосфатазная активность корней. Физиология растений, т. 2, № 1, 1955.
13. Ромейко И. Н. Протеолитическая активность дерновоподзолистой почвы при различных способах вспашки. «Почвоведение», № 10, 1969.
14. Чудерова А. И. Активность фосфатаз в дерново-подзолистых почвах. «Почвоведение», № 11, 1969.
15. Щербакова Т. А., Шимко Н. А., Гаврилова А. Н. Фосфатазная активность некоторых почв Белоруссии. Сб. докл. симп. по ферментам почвы. Минск, 1968.

Институт почвоведения  
и агрохимии

Поступило 28. I 1972

С. Э. Элиев, Ч. Э. Іачыев

Нахчыван МССР-ин әсас торпаг типләриндә ферментләрни активлији

## ХУЛАСӘ

Тәдгигатдан мәгсәд Нахчыван МССР-ин әсас торпаг типләриндә (ибыдаи боз, боз, шабалыды, даг-гара) шагули зоналлыг үзрә ферментатив просесләрни характер вә интенсивлијиниң дәјишилмәси ганунаујғуулугларыны өјрәнмәкдир.

Ибыдаи боз, боз торпаглар ферментатив системин ашагы активлији илә харктеризә олунур. Бу торпагларда битки галыгларынын нумуслашмасы просеси вә оксидләшдиричи фермент олан полифенолоксидазанын биосинтези ашкар олуңур. Протеолитик ферменттн активлији нисбәтән јуксәкдир. Іидролитик ферментләрдән олан инвертаза вә фосфатазыны активлији хејли ашагыдыр.

Шабалыды торпагларда каталаза вә оксидләшмә ферменти—полифенолоксидазанын бир гәдәр артмасы мүшәнидә олунур.

Торпагда карбонатлығын артмасы һидролитик ферментләрин—инвертаза вә протеазанын активлијини азалдыр. Фосфатазанын исә бир гәдәр јүксәлигеси нәзәрә чарпыр.

Дағ-гара торпагларда ферментатив системин фәал комплексинин, каталаза вә полифенолоксидазанын хејли активлији мүшәнидә олунур. Һидролитик ферментләрдән инвертазанын активлији хүсусилә кәскин артыр.

S. A. Aliev, D. A. Gadjiev

### The activity of the enzymes in basic types of the soils of Nakhichevan ASSR

#### SUMMARY

In the line of the vertical zones of Nakhichevan ASSR (the primitive grey-earths, grey-earths, chestnut, mountain black-earths) was studied of the regularity variation both in the nature and intensity hydrolytic (invertase, proteasa, phosphatase) and acidify-restoration (catalase, polyphenoloxidase) of the enzymes.

АЗЭРБАЙЧАН ССР ЕЛМЛӘР АКАДЕМИЈАСЫНЫН МӘРУЗӘЛӘРИ

ДОКЛАДЫ АКАДЕМИИ НАУК АЗЕРБАЙДЖАНСКОЙ ССР

ТОМ XXXI ЧИЛД

№ 2

1975

УДК 631. 48—497. 2

ПОЧВОВЕДЕНИЕ

М. П. БАБАЕВ

### КУЛЬТУРНЫЙ ПОЧВООБРАЗОВАТЕЛЬНЫЙ ПРОЦЕСС В ОАЗИСНЫХ ПОЧВАХ МИЛЬСКО-КАРАБАХСКОЙ СТЕПИ

(Представлено академиком АН Азербайджанской ССР Д. М. Гусейновым)

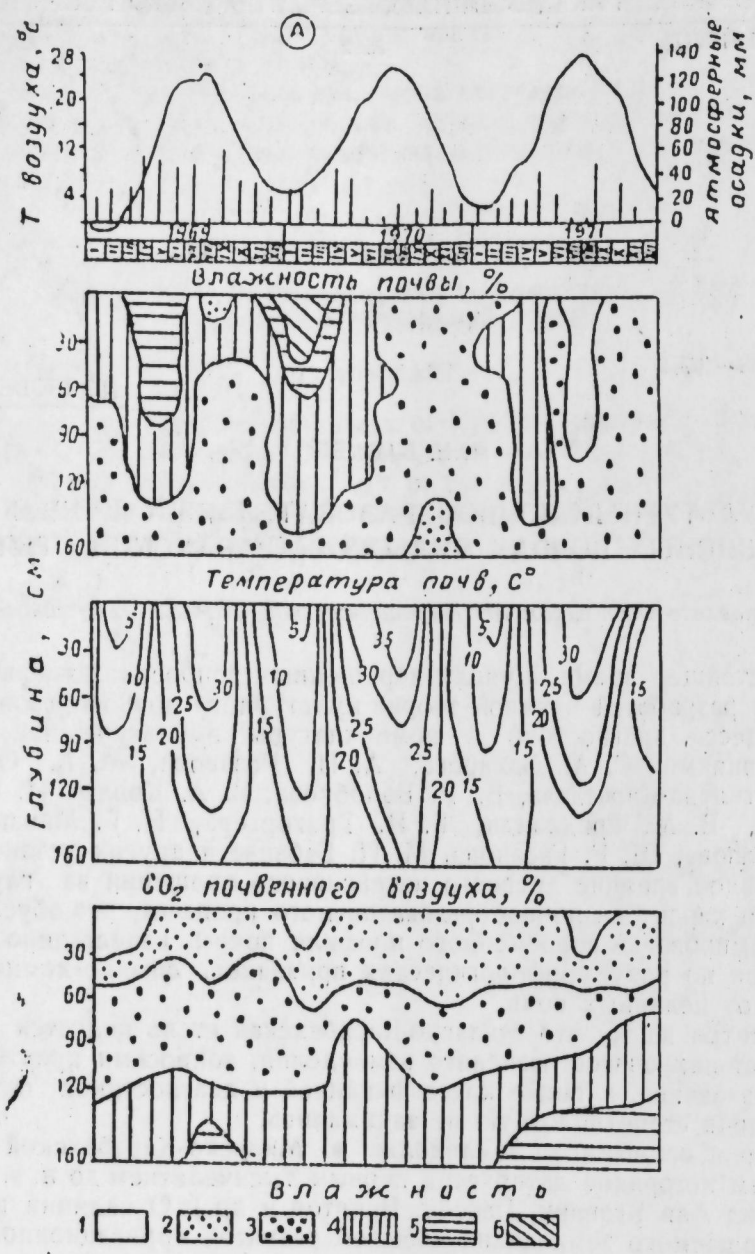
В настоящее время к числу нерешенных вопросов почвоведения относится разработка научной теории культурного почвообразовательного процесса, диагностики и номенклатуры окультуренных почв. Исследованиями С. А. Захарова, А. Н. Розанова, М. А. Орлова, И. К. Антипова-Каратеева, В. Р. Волобуева, В. А. Ковды, И. П. Герасимова, В. М. Фридланда, Г. И. Григорьева, Н. Г. Минашиной, М. Э. Салаева, Ш. Г. Гасанова, М. П. Бабаева и других установлено существенное влияние древнего интенсивного орошения на глубокие изменения характера почвообразовательного процесса, что обуславливает формирование современного профиля почвы, качественно отличающегося по ряду морфологических признаков, физико-химических свойств от целинных почв.

Несмотря на то, что Мильско-Карабахская степь является одним из древнейших очагов оазисного земледелия, вопросами культурного почвообразования, а также классификацией и диагностикой окультуренных почв степи вплотную не занимались.

История орошаемого земледелия в Мильско-Карабахской степи по данным историков датируется первым тысячелетием до н. э. (Страбон, Гамиль Кавини, Пасек, Бунятов и др.). О наличии в древности орошаемого земледелия и былой развитой ирригационной сети свидетельствуют следы древних оросительных каналов в виде плоских грив и микроповышений—Хахол-арх. Гяур-арх и многочисленные курганные погребения, сохранившиеся до наших дней.

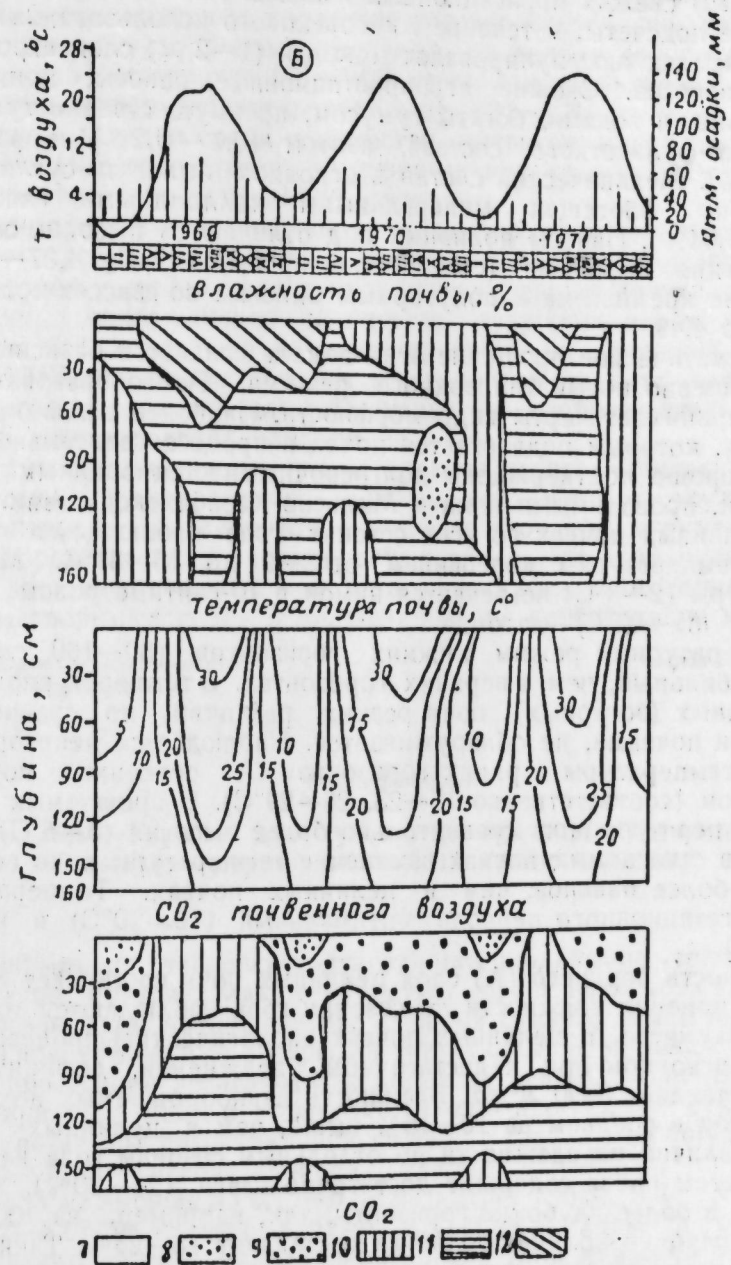
Длительное (вековое) орошаемое земледелие привело к заметному изменению микро- и нанорельефа, а также состава и свойств почвенного покрова. Стационарные исследования показали, что влияние древнего орошения прежде всего сказывается в создании в культурных почвах нового промывного типа водного режима и в постепенном наращивании профиля почв за счет ирригационных наносов.

Для выявления влияния орошения на свойства оазисных почв изучалась динамика качества поливных (речных, артезианских, кяргизских) и грунтовых вод, атмосферных осадков, а также взвешенных наносов.



Динамика влажности температуры,  $\text{CO}_2$  в  
воздухе древних оазисов Кура-Араксинской  
3—10—15; 4—15—20; 5—20—25; 6—25—30.  
10—0,4—0,6; 11—0,6—0,8;

Воды рек древних оазисов Мильско-Карабахской степи имеют минерализацию 0,25—0,60 г/л. По своему составу эти воды гидрокарбонатные, встречаются и гидрокарбонатно-сульфатные воды. Оросительные воды имеют щелочную реакцию ( $\text{pH}=8,2-8,8$ ). Они богаты питательными элементами. В одном литре содержат в среднем 0,19—0,33 мг аммиачного и 0,12—0,38 мг нитратного азота, 0,6—1,0 мг воднорасторимого фосфора и 5,22—8,07 мг калия. Дождевые воды содержат в среднем на каждом литре 0,14—0,17 мг аммиачного и



целинных (*A*) и окультуренных (*B*) почвенно-изменности. Влажность: 1—0—5; 2—5—10;  $\text{CO}_2$ : 7—0,1; 8—0,1—0,2; 9—0,2—0,4; 12—0,8—10.

0,22–0,23 мг нитратного азота, 1,4–1,6 мг фосфора и 2,60–2,81 мг калия.

Поливные воды древних оазисов Кура-Араксинской низменности содержат большое количество взвешенных и влекомых ианосов. В поливных водах магистральных каналов и рек Мильско-Карабахской степи в период поливов содержание взвеси составляет 2,27—2,44 г/л, в оросителях количество извесей сравнительно меньше (1,20—1,40 г/л). Ежегодно на орошающем поле аккумулируется в среднем 1,0—1,5 мм

(8—12 м/га) свежих ирригационных наносов. Как показывают предварительные подсчеты, в течение многовекового использования на орошаемых землях аккумулировался мощный (1—2 м) слой агроирригационных наносов. Свежие агроирригационные наносы, приносимые оросительными водами, богаты гумусом, преимущественно гуматного и гуматно-фульватного состава, азотом (0,1—0,2%) и фосфором (0,2—0,3%). Механический состав в основном пылевато-суглинистый, значительно обогащен минеральными коллоидными частицами (19,25—25,04%). Наносы поливных вод отличаются высоким содержанием кальция и магния (соответственно 9,15—12,01; 4,37—6,78%). Отношение кремнезема к полуторным окислам во взвесях колеблется от 2,96 до 4,49.

Систематическое орошение этих земель создает в оазисных почвах совершенно новый тип водного режима. Почвообразовательный процесс принимает черты гидроморфности. Наиболее наглядны все те изменения, которым подвергается почва в процессе длительного орошения, хорошо подтверждены долгосрочными стационарными исследованиями, проводимыми нами в Мильтско-Карабахской степи.

В целинных почвах во всех сезонах года наблюдается положительная температура с колебанием от 3—9 до 15—31°C. Минимум температуры (2—3°C) встречается зимой в 10-сантиметровом слое, а максимум (31—32°C)—летом.

Температурный режим нижних горизонтов (80—160 см) почв более стабильный, чем в верхних горизонтах. В температурном режиме освоенных (богарных) почв резких различий, по сравнению с целинными почвами, не обнаруживается. Наблюдается некоторое понижение температуры верхних горизонтов (A) освоенных почв весной и летом (соответственно 15—23, 26—29°C). В орошаемых почвах зимой температура почв сравнительно более высокая (5—6°C). Таким образом, в орошаемых почвах изменение температуры почв по сезонам года более плавное, чем в целинных почвах. Температурный режим вегетационного периода оптимальный (10—20°C) и высокий (20—30°C).

Влажность верхнего (A) слоя целинных почв составляет 8—25%. Резкие изменения влажности по сезонам года наблюдаются только в первом полуметре. В целинных почвах биологические процессы протекают в основном при недостаточном увлажнении, дефицит влаги за год составляет 3890 м<sup>3</sup>/га. Влажность давноорошаемых почв в пахотном слое в среднем на 10—15% выше, чем в целинных почвах. Резких различий во влажности по отдельным сезонам года не наблюдается. Летом почва содержит достаточно влаги (24—30%), которая проникает в более глубокие горизонты, так, например, на 100-сантиметровой глубине количество влаги составляет 15—23%. Таким образом, можно утверждать, что по всей толще почв имеется достаточное количество влаги для протекания биологических процессов.

В целинных почвах в связи с засушливостью климата концентрация CO<sub>2</sub> почв иного воздуха невысокая (в 20-сантиметровом слое —0,1—0,2 объем. %). Максимум CO<sub>2</sub> наблюдается весной (0,17—0,20%) и осенью, а минимум летом (0,12—0,13%) и зимой (0,08—0,10%). В распахиваемых (в багоре) почвах, по сравнению с целинными, ощущимых сдвигов в концентрации углекислоты (0,07—0,09% — зимой, 0,15—0,21% — весной) не отмечено. Давноорошаемые почвы по концентрации CO<sub>2</sub> почвенного воздуха резко отличаются от целинных почв. В пахотном горизонте орошаемых почв концентрация углекислоты довольно высокая—0,3—0,5%. За вегетационный период (весной 0,45—0,53; летом—0,40—0,47; осенью—0,38—40%) в содержании CO<sub>2</sub> почвенного воздуха резких колебаний, которые так присущи целинным почвам, не наблюдается.

Как показали лабораторные опыты, в целинных почвах интенсивность нитрификационных процессов гораздо слабее, по сравнению с орошаемыми окультуренными почвами. На целине до опыта количество нитратов составляло 0,0—1,03 мг/кг, а в окультуренных почвах под хлопчатником значительно больше 2,26—2,83 мг/кг.

В последующие сроки количество нитратов имеет тенденцию к увеличению—соответственно в целинных почвах до 1,41—3,08 мг/кг, а в окультуренных—2,61—11,30 мг/кг.

Проведенные исследования показали заметное различие в количестве микробных ассоциаций (бактерий, актиномицетов, грибов, нитрификаторов и др.) в целинных и окультуренных почвах. Так, если в целинных почвах общее количество микроорганизмов колеблется от 3 040—3 190 тыс., то в окультуренных их величина достигает 4 592—4 752 тыс. Таким образом в давноорошаемых почвах имеются благоприятные условия для протекания почвообразовательного процесса и восстановления плодородия.

Высокоокультуренные почвы древних оазисов Мильтско-Карабахской степи характеризуются мощным современным окультуренным слоем, накоплением перегноя, комковато-зернистой структурой и высокой порозностью. В окультуренных почвах, по сравнению с целинными, происходит накопление питательных элементов, выщелачивание легкорастворимых солей и иллювирирование карбонатного кальция.

Институт почвоведения  
и агрохимии

Поступило 28. XI 1972

М. П. Бабаев

Мил—Гарабаф дүзүнүн суварылан торпагларында  
мэдэни торпагэмэлэклэмэ просесинэ дайр

ХУЛАСЭ

Апарылмыш стасионар тәдгигат материалларына əсасэн (торпаг просесләри, рүтубәтилик, температур, торпаг һавасында карбон газынын кәсафәтлиji, нитрификасија, суварма сулары, асылы һиссәчикләр) Мил—Гарабаф дүзүнүн суварылан торпагларында мэдэни торпагэмэлэклэмэ просесинин истигамати вә торпагда кедән дәјишикликләр сәчијәләндирiliр. Мэдэни торпагэмэлэклэмэ просесиңдә суварма суларынын вә асылы һиссәчикләрни кејиijät тәркиби ии бөյүк əhәмиjätти вардыр. Мил—Гарабаф дүзүндә суварма суларынын һәр литриндә 0,19—0,33 мг амонjak вә 0,12—0,38 мг нитрат азоту, 0,6—1,0 мг фосфор вә 5,22—8,07 мг калиум вардыр. Суварма суларында слан асылы һиссәчикләр дә гида маддәләринин зәниjлиji илә сәчијәләнир (хумус 2—3%, азот 0,1—0,2%, фосфор 0,2—0,3%).

Суварма илә əлагәдар олараг, тогпагда рүтубәтләнмә режими дәжишир (рүтубәт орта һесабла ики дәфә артыр), бу да өз нөвбәсиндә гуру иглим шәраптнандә биологи просесләрин сүр'этләнмәсн үчүн шәрапт җарадыр. Суварылан торпагларда карбон газынын кәсафәтлиji 0,3—0,4% олуб, хам торпагарда 0,1—0,2%-э нисбәтэн ҳеjли jүксәкдир. Бу торпагларда нитрификасија просеси дә чох сүр'этләкедир.

Беләликлә, стасионар тәдгигетлар көстәрик и, гәдимдән суварылан вә бечәрилән торпагларда мүнбилиjин артмасы үчүн əльверишли шәрапт вардыр. Мәhз буна көрә дә, Мил—Гарабаф дүзүнүн јүксәк мэдәниләшмиш гәдимдән суварылан торпаглары галын вә мүнбитет əсгатына малик олмасы вә əльверишли физики-кимjәви хассәләрилә сәчијәләнир.



В связи с этим нас интересовал вопрос изменения содержания нуклеиновых кислот у различных селекционных форм земляники в условиях Апшерона.

Работа проводилась на апшеронской экспериментальной базе Института генетики и селекции многолетних культур. В опытах участвовали новые селекционные формы крупноплодной садовой земляники—Азч-59-1, Азч-59-2, Азч-62-3, Азч-62-4, Азч-63-6, Азч-63-7 и интродуцированный сорт Иосиф Магомед как контрольный вариант. Листья были собраны с опытных растений в течение вегетации, т. е. в апреле, июле и октябре. Определение нуклеиновых кислот проводили по методу Y. Y. Poulsen and R. H. Nieman. Данные, показывающие изменение содержания нуклеиновых кислот в листьях различных селекционных форм земляники представлены в таблице.

Изменение содержания нуклеиновых кислот в листьях селекционных форм земляники в период вегетации

Формы земляники	Дата взятие проб	Содержание НК, мг % на сухой вес			
		РНК	ДНК	Сумма	$\frac{\text{РНК}}{\text{ДНК}}$
Иосиф Магомед	Апрель	1059,6	112,6	1172,2	9,4
Азч 59-1	-	1152,7	109,5	1262,2	10,5
Азч 59-2	-	1157,6	90,4	1248,0	12,8
Азч 62-3	-	1124,4	105,7	1230,1	10,6
Азч 62-4	-	1131,5	106,6	1238,1	10,6
Азч 63-6	-	1113,3	101,6	1214,9	10,9
Азч 63-7	-	1205,8	79,7	1285,5	15,1
Иосиф Магомед	Июль	1074,8	49,3	1124,1	21,8
Азч 59-1	-	943,3	83,5	1026,8	11,2
Азч 59-2	-	1074,0	149,9	1223,9	7,1
Азч 62-3	-	840,9	63,7	904,6	13,2
Азч 62-4	-	628,8	99,0	727,8	6,3
Азч 63-6	-	992,8	81,5	1084,3	12,1
Азч 63-7	-	913,5	86,3	999,8	10,5
Иосиф Магомед	Октябрь	942,8	91,7	1034,5	10,2
Азч 59-1	-	878,2	56,9	935,1	15,4
Азч 59-2	-	822,8	-	-	-
Азч 62-3	-	803,0	58,7	861,7	13,6
Азч 62-4	-	510,0	91,9	602,1	5,5
Азч 63-6	-	940,0	84,8	1024,8	11,0
Азч 63-7	-	858,1	113,2	971,3	7,5

Как видно из данных таблицы, в начале вегетации, когда идут усиленные ростовые процессы, у всех селекционных форм земляники содержание нуклеиновых кислот в листьях больше, чем у контрольного варианта. Однако необходимо отметить, что увеличение нуклеиновых кислот в основном происходит за счет РНК, так как содержание ДНК у всех форм уменьшается. Показатель  $\frac{\text{РНК}}{\text{ДНК}}$  также у всех форм выше. Наибольшим показателем  $\frac{\text{РНК}}{\text{ДНК}}$  обладает селекционная форма Азч-63-7, что составляет 15,1. Если сравнить урожайные данные (Азч-63-7—67,400, Иосиф Магомед—55,100 г со 100 м<sup>2</sup>), то можно заметить, что максимальный урожай наблюдается также у новых форм, это составляет на 22% больше, чем сорт Иосиф Магомед. Следовательно, отношение  $\frac{\text{РНК}}{\text{ДНК}}$  в начальной фазе играет важную роль в росте, развитии и накоплении урожая земляники. При повышенном значении этого показателя, по-видимому, синтетические процессы

улучшаются. А период созревания ягод у новых селекционных форм содержание нуклеиновых кислот резко падает по сравнению с контролем. В данной фазе содержание РНК в основном уменьшается, а ДНК увеличивается, что не соответствует первой фазе. По-видимому, на данном этапе развития у селекционных форм земляники нуклеиновые кислоты оттекают в другие органы. После сбора урожая содержание нуклеиновых кислот в листьях изменяется незначительно, за исключением формы Азч-62-4, где резко падает содержание РНК.

Из представленных данных можно прийти к выводу, что у новых форм земляники в ранней фазе развития идет усиленный синтез нуклеиновых кислот. В фазе созревания ягод нуклеиновые кислоты из листьев оттекают в другие органы растений. К концу вегетации содержание нуклеиновых кислот в листьях у всех изученных форм падает, что, по-видимому, связано с затуханием ростовых процессов.

## ЛИТЕРАТУРА

1. Столетова В. Н., Будницкая Е. В., Агамалова С. Р. Особенности изменения обмена нуклеиновых кислот в онтогенезе разных форм пшеницы. Изд-во АН СССР, 1965, 2. Конарев В. Г. Нуклеиновые кислоты и морфогенез растений. М. Изд-во "Высшая школа", 1959.

Институт генетики и селекции

И. К. Абдуллаев, Т. Д. Мектиева, Д. С. Гулиева

Чијәләйин юни селексија формаларының јарпагларында нуклеин туршулары мигдарының дәјишилмәси

## ХУЛАСӘ

Тәдгигат иәтичәләри көстәрир ки, чијәләйин юни селексија формаларының јарпагларында нуклеин туршуларының мигдары онларын илк фазасында сүр'әтлә артыр. Мејвәләрин јетишмә фазасында исә нуклеин туршуларының мигдары јарпаглардан дикәр органлара ахынтысы илә әлагәдар олараг, азалмаға башлајыр.

Векетасијаның ахырында бой просесиинин зәйфләмәси иәтичәсендә јарпагларда нуклеин туршуларының мигдары азалыр.

I. K. Abdullayev, T. D. Mekhtiyeva, D. S. Kuliyeva

Nucleic acid content change in the leaves of new selection strawberry form in the vegetation period

## SUMMARY

The intense synthesis of NA takes place in the new selection strawberry forms in the early development phase.

The NA content in the leaves of all strawberry forms studied diminishes to the end of vegetation.

УДК. 633. 11

## ФИЗИОЛОГИЯ РАСТЕНИЙ

Чл.-корр. М. А. АЛИ-ЗАДЕ, Р. Т. АЛИЕВ

## ГЕТЕРОЗИСНЫЙ ЭФФЕКТ И СОДЕРЖАНИЕ ДНК В КЛЕТКЕ ГИБРИДОВ ПШЕНИЦЫ ПЕРВОГО ПОКОЛЕНИЯ

В последнее время некоторые исследователи предполагают, что одной из причин проявления гетерозисного эффекта является усиленное воспроизведение генетического материала у гибридов и высокое абсолютное содержание его в расчете на биологическую единицу. Таким образом, для выяснения причин мощного развития гибридов первого поколения, другими словами, у гетерозисных гибридов необходимо установить изменения в содержании ДНК в расчете на одно ядро или клетку.

С этой целью нами проводились специальные исследования на гетерозисных гибридах при сравнительном изучении родительских форм.

Для исследования были взяты простые внутривидовые гетерозисные гибриды твердой пшеницы, полученные в отделе генетики и селекции зерновых и зернобобовых культур Института генетики и селекции АН Азерб. ССР и их родительские пары. Растения выращивались на Карабахской научно-экспериментальной базе Института. Пробы для анализа брались в фазе начала колошения со второго сверху листа.

Результаты анализов приведены в таблице.

Нуклеиновые кислоты определялись по Nieman Poulsen [1] (мг% на сухое вещество). Полученные данные пересчитывались на одну клетку, по ранее описанной методике [2].

Для исследования нами брались два гибрида первого поколения. В качестве материнской формы в обоих случаях брались пшеницы *Tr. durum hordeiforme* мексиканского происхождения и отцовский—в одном случае сорт Джрафари (*Tr. durum leucicum*), в другом сорт Севиндж (*Tr. durum hordeiforme*). Результаты анализов в относительных и абсолютных показателях приведены в таблице.

Из приведенных в таблице данных видно, что по показателям относительного содержания нуклеиновых кислот в листьях, выраженных в мг% на сухое вещество, сделать определенное заключение затруднительно.

В одном случае относительное содержание РНК (мг%) у гибрида выше, чем у родителей, а в другом—гибрид занимает промежуточное положение между родителями. Подобные же результаты получены

Содержание нуклеиновых кислот в листьях гетерозисных гибридов пшеницы и их родительских форм

Гибриды и родители	На сухое вещество, мг %		На одну клетку, нг	
	РНК	ДНК	РНК	ДНК
<i>Tr. durum hordeiforme</i> (Мексика) × <i>Tr. durum leucicum</i> (с. Джрафари)				
<i>F<sub>1</sub></i>	809,0	170,3	56,5	11,39
<i>Tr. durum hordeiforme</i> (Мексика)	673	141,1	46,3	9,31
<i>Tr. durum leucicum</i> (сорт Джрафари)	756	139,0	53,0	9,74
<i>Tr. durum hordeiforme</i> (Мексика) × <i>Tr. durum hordeiforme</i> (с. Севиндж). <i>F<sub>1</sub></i>	632	157,7	51,0	11,61
<i>Tr. durum hordeiforme</i> (сорт Севиндж)	709	165,7	43	9,93

по относительному содержанию ДНК. Более характерными являются показатели абсолютного содержания нуклеиновых кислот (нг на клетку), хотя показатели РНК и в этом случае варьировали. Как видно из представленных в таблице данных абсолютное содержание РНК на клетку у первого гибрида выше, чем у родительских пар, а у второго также занимают промежуточное положение между родителями. Наиболее интересными являются данные, характеризующие абсолютное содержание ДНК в клетке.

Из приведенных в таблице данных видно, что количество ДНК в клетке гетерозисного гибрида значительно превосходит родительские формы. Этот интересный факт говорит о наличии у гетерозисных гибридов механизмов регуляции, способствующих редупликации молекул ДНК в клетке, приводящей к соматической полиплоидизации, образованию копий генов или повторяющихся последовательностей молекул ДНК. По-видимому, при гетерозисном эффекте процессы редубликации этим не ограничиваются. Процессы редубликации ДНК сопровождаются процессами транскрипции, что приводит к активации генной функции клеточного ядра у гетерозисных гибридов.

Таким образом, можно предполагать, что гетерозисный эффект у гибридов первого поколения заключается в активации комплекса генов и относится к категории процессов, связанных с механизмом генетической регуляции развития признаков.

Если полученные нами данные в какой-то степени освещают вопрос о природе гетерозиса, а именно увеличение массы ДНК в клетке, то в связи с этим выдвигают для решения еще более важный вопрос—каким образом количество ДНК в соматической клетке увеличивается?

## ЛИТЕРАТУРА

- Nieman R. H. a. Poulsen S. Z. Spectrophotometric estimation of nucleic acid of plant leaves. "Plant Physiol.", 38, № 1, 31—55.
- Али-заде М. А., Ахундова Э. М. Содержание ДНК в соматических клетках у полиплоидных форм шелковицы (Morus Z.). "ДАН СССР", т. 191, № 4, 939—940, 1970.

Институт генетики и селекции

Поступило 27. IV 1973

М. А. Элизадэ, Р. Т. Элиев

нетерозис ефекти вә бугданын биринчи нәсил  
нибридиний һүчејрәсиндә ДНТ-нин мигдары

ХҮЛАСЭ

Сортлар арасында һибридләшdirмә иәтичәсииндә алымыш ики  
буғда һибриди өјрәнилмишdir. Бу һибридләр биринчи нәсил олараг  
нетерозис хассасинә малиkdir. Мүәյҗән олуимушdur ки, һибридләrin  
һүчејрәлиндә олан ДНТ-нин мигдары онларын валидејләринин һү-  
чејрәлиндә олан ДНТ-нин мигдарындан чохdur.

M. A. Ali-zade, M. A. Aliev

Effect of the heterosis and the content DNA in the cell  
of the wheat's hybrids the first generation

SUMMARY

The two hybrids are put to the test, received by the way of the interspecific cross. The hybrids of the first generation they distinguished by the effect of the heterosis. Established, what in the cells of the hybrids have more DNA, than in the cells its parental forms.

АЗӘРБАЙЧАН ССР ЕЛМЛӘР АКАДЕМИЯСЫНЫН МӘРУЗӘЛӘРИ

ДОКЛАДЫ АКАДЕМИИ НАУК АЗЕРБАЙДЖАНСКОЙ ССР

ТОМ XXXI ЧИЛД

№ 2

1975

УДК-61

МЕДИЦИНА

З. А. ЗЕЙНАЛОВА, Т. Г. ГАМБАРОВА

ЭЛЕКТРОЛИТЫ КРОВИ ПРИ НАРУШЕНИЯХ ПРОВОДИМОСТИ  
СЕРДЦА

(Представлено академиком АН Азербайджанской ССР М. Р. Назировым)

В настоящее время внимание исследователей привлечено к выяснению роли электролитов при нарушениях ритма и проводимости сердца в связи с возможностью более углубленного изучения данной проблемы.

Аритмия значительно отягощает состояние больного, а иногда является непосредственной причиной смерти (В. Л. Доцицин, 1970).

Несмотря на обилие литературы, посвященной балансу электролитов при аритмиях, вопрос о значении этих изменений остается открытым. Имеющиеся в доступной нам литературе сообщения в основном относятся к отдельным ингредиентам электролитного обмена, представленные данные немногочисленны и порой разноречивы.

В настоящей борьбе мы изучили состояние электролитного обмена у больных с атриовентрикулярной блокадой сердца с целью выявить особенности нарушения электролитного обмена при этом.

Под нашим наблюдением находилось 27 человек с атриовентрикулярной блокадой сердца, из коих мужчин—16, женщин—11. По возрасту больные распределялись следующим образом: до 30 лет—4 больных, 31—40—2; 41—50—3; 51—60—6, старше 60 лет—12 человек. Таким образом, основной контингент больных с атриовентрикулярной блокадой сердца составляют больные старше 60 лет (44%).

У 12 больных был атеросклеротический кардиосклероз, 8 больных болели гипертонической болезнью, у 5 больных был ревмокардит, у 2—комбинированный митральный порок сердца. По данным ЭКГ, у 4 больных была зарегистрирована атриовентрикулярная блокада I степени, у 12 больных атриовентрикулярная блокада II степени, у 5 больных атриовентрикулярная блокада III степени, у 6 больных полная поперечная блокада сердца.

Во время пребывания в клинике, у больных мы исследовали содержание натрия, калия, кальция, магния, хлора и неорганического фторфара в плазме; калия, натрия и кальция в эритроцитах. Определение содержания калия, натрия, кальция в плазме и эритроцитах проводилось методом пламенной фотометрии на аппарате ПФЛ-1. Хлор в крови определялся по методу С. Д. Балаховского и И. С. Балаховского (1953), магний в крови по М. Н. Калинниковой (1961), неор-

ганический фосфор по Самсону (1961). В контрольной группе было 22 практически здоровых лица (нормативы С. Н. Алиметова, 1970).

Данные исследования электролитов крови у больных с атриовентрикулярной блокадой сердца по сравнению со здоровыми лицами показали следующие сдвиги.

У больных с неполной блокадой сердца (21 человек) [средний уровень калия в эритроцитах составляет  $109,90 \pm 1,90$  ( $P > 0,05$ ), при норме  $105,86 \pm 0,46$ . Отмечается повышение содержания натрия в эритроцитах —  $19,60 \pm 0,79$  ( $P < 0,001$ ), при норме  $16,11 \pm 0,32$ , концентрации кальция в эритроцитах —  $1,43 \pm 0,03$  ( $P > 0,001$ ), при норме  $1,26 \pm 0,0013$ , уровня калия в плазме, который равнялся  $5,95 \pm 0,20$  ( $P > 0,001$ ) при норме  $5,18 \pm 0,14$ .

Содержание натрия в плазме существенно не изменилось —  $142,90 \text{ мэкв}, \text{л}$  при норме  $143,40 \pm 0,82$ . Средняя величина концентрации кальция незначительно понизилась и составила  $5,09 \pm 0,15$  ( $P > 0,001$ ), нормальная величина которого  $5,85 \pm 0,13$ . Уровень магния в среднем был значительно повышен и равнялся  $1,80 \pm 0,01$  (при норме  $1,78 \pm 0,03$ ).

Средняя величина содержания хлора в плазме составляет  $98,90 \pm 1,89$ , что несколько ниже нормы ( $100,05 \pm 1,53$ ).

Концентрация неорганического фосфора у больных с неполной блокадой сердца существенно не изменилась и в среднем составила  $1,74 \pm 0,03$ , причем нормальная величина равнялась  $1,75 \pm 0,08$ .

Отношение  $K_{\text{пл}}/K_{\text{пл}}$  в среднем несколько повышенено и составляет  $22,00 \pm 0,81$  (норма  $20,43 \pm 0,32$ ). А коэффициент  $Na_{\text{пл}}/Na_{\text{сп}}$  незначительно понизился:  $7,61 - 0,49$  ( $P > 0,02$ ), норма которого  $8,90 \pm 0,25$ . Соотношение  $Na_{\text{пл}}/K_{\text{пл}}$  составило  $24,60 - 1,22$  ( $P < 0,02$ ), что ниже нормы ( $27,68 - 0,59$ ). Отношение  $K_{\text{пл}}/Ca_{\text{пл}}$  у больных с неполной блокадой сердца в среднем повысилось до  $1,16 \pm 0,07$  ( $P > 0,01$ ), при норме  $0,88 \pm 0,01$ . Коэффициент  $Na_{\text{сп}}/K_{\text{сп}}$  незначительно повысился и составил  $0,88 \pm 0,01$ , при норме  $0,15 \pm 0,01$ . Отношение  $Ca_{\text{пл}}/Mg_{\text{пл}}$  составляет  $2,85 \pm 0,10$  при норме  $3,18 \pm 0,18$ .

Таким образом, согласно представленным данным, у больных с неполной блокадой сердца отмечено достоверное повышение натрия и кальция в эритроцитах, калия в плазме,  $K_{\text{пл}}/Ca_{\text{пл}}$  и понижение содержания кальция в крови, соотношений  $Na_{\text{пл}}/Na_{\text{сп}}$ ,  $Na_{\text{пл}}/K_{\text{пл}}$ . Содержание остальных ингредиентов не претерпевает существенных изменений.

Группу больных с полной поперечной блокадой сердца составили 6 человек, из которых 5 мужчин и 1 женщина. Возраст больных колебался от 15 до 80 лет. У 3 больных был атеросклеротический кардиосклероз, у 2 — гипертоническая болезнь, у 1 больного — ревмокардит.

У больных с полной поперечной блокадой сердца уровень калия в эритроцитах значительно повышен и составляет  $112,70 - 1,52$  ( $P > 0,001$ ), а содержание внутриклеточного натрия —  $19,00 \pm 0,89$  ( $P < 0,01$ ), что выше нормы. Концентрация кальция в эритроцитах равняется  $1,39 \pm 0,04$ , это несколько выше нормы.

Уровень калия в плазме у всех 6 больных с полной блокадой был резко повышен и в среднем составил  $6,61 \pm 0,34$  ( $P > 0,01$ ).

Содержание натрия в плазме оставалось в пределах нормы:  $142,60 \pm 2,74$ , а концентрация кальция в плазме по сравнению со здоровыми лицами значительно понижена и составляет  $4,79 \pm 0,36$  ( $P > 0,02$ ). Содержание магния в плазме выше нормальной величины:  $1,90 \pm 0,06$ . Уровень хлора несколько повышенный, в среднем составляет  $102,30 \pm 2,50$ , что говорит о тенденции его в нормальной величине. Концентрация неорганического фосфора несколько выше нормы:  $1,81 \pm 0,04$ .

Отношение  $K_{\text{сп}}/K_{\text{пл}}$  у всех 6 больных уменьшено и в среднем равно  $17,25 \pm 0,84$  ( $P < 0,01$ ). То же можно сказать о коэффициенте  $Na_{\text{пл}}/Na_{\text{сп}}$ , который также понижен и равен  $7,61 \pm 0,49$  ( $P < 0,05$ ). Соотношение  $Na_{\text{пл}}/K_{\text{пл}}$ , в отличие от здоровой группы, понижено у всех

6 больных и равно  $21,87 \pm 1,22$  ( $P < 0,001$ ). Отношение  $K_{\text{пл}}/Ca_{\text{пл}}$  увеличено у всех 6 больных и составляет  $1,43 \pm 0,15$  ( $P > 0,01$ ), что значительно выше нормы. Коэффициент  $Na_{\text{сп}}/K_{\text{сп}}$  незначительно повышен:  $0,17 \pm 0,01$ . Соотношение  $Ca_{\text{пл}}/Mg_{\text{пл}}$ , наоборот, уменьшено у всех 6 больных и в среднем составляет  $2,56 \pm 0,25$  ( $P > 0,05$ ).

Следовательно, в группе больных с полной поперечной блокадой сердца отмечается достоверное повышение натрия и кальция в эритроцитах, калия в плазме, соотношений  $K_{\text{пл}}/Ca_{\text{пл}}$  и понижение кальция в плазме, коэффициентов  $K_{\text{сп}}/K_{\text{пл}}$ ,  $Na_{\text{пл}}/K_{\text{пл}}$ .

Подытоживая полученные данные, мы приходим к заключению, что при атриовентрикулярных блокадах сердца происходят заметные сдвиги в электролитах крови. Так, у больных с неполной блокадой сердца отмечается достоверное повышение натрия и кальция в эритроцитах, калия в плазме, соотношений  $K_{\text{пл}}/Ca_{\text{пл}}$  и понижение кальция в плазме, коэффициентов  $Na_{\text{пл}}/Na_{\text{сп}}$ ,  $Na_{\text{пл}}/K_{\text{пл}}$ .

Аналогичные сдвиги в показателях электролитов крови мы наблюдали в группе больных с полной поперечной блокадой, однако надо отметить, что у этой группы больных отмечается более резко изменение калиевого обмена, о чем говорит уменьшение коэффициента  $K_{\text{сп}}/K_{\text{пл}}$ .

Таким образом, наши наблюдения еще раз свидетельствуют о том, что при атриовентрикулярных блокадах сердца происходят существенные изменения электролитного обмена. Во всех случаях отмечена гиперкалиемия, относительное уменьшение калиевого градиента, что позволяет говорить о преобладании содержания внеклеточного калия над внутриклеточным.

АМИ им. Н. Нариманова

Поступило 3. 1 1974

З. А. Зеиналова, Т. Г. Гамбара

Атриовентрикулярные блокады (урекда) олан хастэлэрдэ електролит мүбадилэсииин вэзијэти

#### ХУЛАСЭ

Бизим тэрэфимиэдэн електролит мүбадилэсииин вэзијэти атриовентрикулярные блокады (урекда) олан хастэлэрдэ өүрэнэйлишидир.

Алыныш көстэричилэр бяза атриовентрикулярные блокадалы хастэлэрдэ електролитлэр мүбадилэсииин дэшишкэнлийн наггында данышлага имкан верир.

Гејд ёдилниш һиперкалиемија вэ калиум градијентинин азалмасы һүчејрэхаричи калиумун ( $K'$ ) һүчејрэдахили калиума нисбэтэн артыглыны (устунлүүнү) көстэрир ки, бу да патокенетик энэмијэти маликдир.

S. A. Zeinalova, T. G. Gambarova

The state of electrolyte metabolism in patients with cardiac atrioventricular blockage

#### SUMMARY

We have studied the state of electrolytic metabolism in patients with cardiac atrioventricular blockage.

The data obtained allows to state definite changes in electrolytic metabolism in atrioventricular blockage. The noted hyperkalemia and decrease of potassium gradient show the prevalence of extracellular potassium over intracellular that is of pathogenetic significance.

ЭДЭБИЙЛТ ТАРИХИ

А. ГУЛИЈЕВ

## ГИЈМЭТЛИ БИР АВТОГРАФ ҺАГГЫНДА

(Азэрбајҹан ССР ЕА ақадемији Ә. Ә. Әлизадэ төгдим етмийшdir)

Азэрбајҹан алимләrinин орта әсрләrdə јаздыглары әсәrlәrə дүнjanын мүхтәлиф әлм вә мәденијјэт мәrkәzләrinдә тәсадүf әтмәk мүмкүндүr<sup>1</sup>. Белә мәденијјэт очагларындан бирى дә Тéhran университетинин Märkäzi kitabxanasыдыr. Һәmin kitabxanada Azэрbaјҹan аlimlәrinin әsәrlәri, o чumләdәn nadir әlјazmalarы вә гијmәtli autograflarы muһafizә olunmagdadyr. O гәbillәn olan әlјazmalaraыndan biri dә „Elbürhan fi shérfatul-inisan“ („Inisan shérifi һaggynadä däliл“) adly әsәrin avtografiydyr. Bu jahynillarda kerkemli Iran аlimlәri Iräç Әfshar вә Mähemmädtägä Daneshpäjüh lütükcarlyg eidi, һәmin nadir autografin mikrofilmimini biżże kendärmish-lär<sup>2</sup>.

Alimin өз әли илэ јаздығы бу әsәr 245 goşa vәrәgdәn<sup>3</sup>, bашга сөzlә, 490 cәhinfedәn ibarətdir. Эtjazmasынын sonunču vәrәgindeñ ajdyn olur ki, әsәr natamamdyr<sup>4</sup>.

Avtografi aşzýyadaky шe'rлә bашlanыr<sup>5</sup>: „Ej sänden bашga hәr iki dünjada hәc bir шe'j olmajan, sәn bizim xәjalımyzdiñ јukcәk, hәr bir kumandan tәmizsәn. Һәrcәnd ki, bütün әlamәtlәrin ejisәn, lakin nişanәn odur ki, sәnин әlamәtin јохdur“<sup>6</sup>.

Әsәrin әlimizdäki variandy, Kүnêş hәmişhә nур сачыр<sup>7</sup> сөzlәriлә bitir. Eljazmasыchni mәtinini nәzәrdәn keçiridikdә ajdyn olur ki, әsәrin bәlmә, фәsil, aýry-aýry kicik bаштыглары, rubai вә mүхтәlif шe'rlerin bашлыглары, nabzәlә bejt сөzүni. өzү gyrmazyы mүrækkeblә јazylmyshdyr<sup>8</sup>. Әsәrdäki Gur'an aýälәri вә hәdis-lәrin bә'zilәri, әrәb zәrbүl-mәsәllәrinin bашлыглары, bir сөzlә, mүellifin gabaryg шekildә nәzәrә chatdyrmag istädiyi bütün mәtinlәr

<sup>1</sup> Бунун үчүн мүхтәlif өlkәlәrdә muһafizә olunan әlјazmalarыны тәsvir eden әrәb, фарс, түрк katalçylarыны nәzәrdәn keçirmeк kifaјetdir.

<sup>2</sup> Xaňishimizә emәl eidi, әsәrin mikrofilmimini biżże kendärmä Iranyn bu iki kerkemli mәtinishuneslärini minnietdarlyg вә tәşekkүruмuzу bildiriрик.

<sup>3</sup> Һачы Mähemmädtägä Shirvani. Elbürhan fi shérfatul-inisan, вәr. 245. Téhran universiteti Märkäzi kitabxanasыndaky 2541 nәmrәli autografin mikrofilmii.

<sup>4</sup> Jenä orada.

<sup>5</sup> Bә'zi tekniki сәbәblәrә керә mәtinlәri farsecha dejil, Azэрbaјҹan dilini tәrçümесини veriririk.

<sup>6</sup> Һачы Mähemmädtägä Shirvani. Kestäriләni autografiy, вәr. 1a.

<sup>7</sup> Jenä orada, вәr. 245.

<sup>8</sup> Jenä orada, вәr. 1a-245.

## „Elbürhan fi shérfatul-inisan“ әsәrinin 7 a vәrәgi

gyrmazyы mүrækkeblә veriliшидир. Әsәrin әsas mәtin, әvvәldәn ahyaga kimi, gara tusha јazylmyshdyr.

„Elbürhan fi shérfatul-inisan“ын autografi oldugu onun ilk cәhinfeläriñdeñ nәzәrә charpyr. Autografi mүellifini kerkin emäji, ishe mәs'uli jjät. ә jaňashma hissi, әsәrinin lajiginchä ortaja chyharmag arzusy һaggynadä da tәsävvүr. jaralyr. Autografi, mүellifini өz әsәrinin daimi tәkmülläshdiymek istädiyi, әn iñicä mәtläblәri mәhabatläle vermek niijetiirdä olduguunu da һumaishi etdirir<sup>9</sup>.

<sup>9</sup> Һачы Mähemmädtägä Shirvani. Kestäriләni autografiy, вәr. 16, 3a, 5ab, 6ab, 7ab, 9b, 19a, 40ab, 45b, 46b, 49a, 55b, 57ab, 58ab, 61b, 63a вә c.

Бу автограф бир даһа сүбүт едир ки, онун мүэллифи әсәр үзәриндә ишләјәркән һәр кичик сөз, һәр бир ифәдә, һәр һансы бир мәтләб үзәриндә дөнә-дөнә фикирләшмишdir<sup>10</sup>. О, бә'зән бир сөзү бир нечә дәфә силиб, йениси илә әвәз етмиш, айры-айры чүмләләрин садәлийинә, фикрин сәррастлыг вә тутарлылығына чалышмышдыр<sup>11</sup>. Бә'зи һалларда мүэллиф әввәл јаздыры бир нечә сәнифәни соңра тамамилә позмуш, һәмин фикирләри бир даһа көтүр-гој едәрәк, йенидән гәләмә алмыш, даһа габарыг, даһа тә'сирли, даһа тутарлы олмаларына наил олмушшур<sup>12</sup>.

Автографын вәрәгләрниң җазыларын сәтирләри ежни мигдарда дејилдир. Бә'зи вәрәгләрдә 16, 17, 18, 19, бә'зиләрнәде исә 20, 21, 22 сәтир вардыр.<sup>13</sup> Бә'зи вәрәгләрин кәнарларында әлавә вә дүзәлишләр едилмишdir<sup>14</sup>.

Автографдан мә'лум олур ки, онун мүэллифи көркәмли Азәрбајчан сәјяһы, мүтәфәккири, шаир вә әдиби Һачы Мәһәммәдәли Ширванидир.<sup>15</sup> О, тәхминән 1782—1783-чү илләрдә Шамахы шәһәриндә агадан олмуш, 2—3 јашларында икән Ирагын Кәрбәла шәһәринә апарылышышдыр<sup>16</sup>.

Мүэллиф чох қәзиб-дәланан пәришан сәјяһи, не'мәтуллахи тәритәтинә мәңсуб фәгир бир шәхс олдуғуну хүсуси олараг нәзэрә чатышмышдыр<sup>17</sup>. Алым өзүнү „Мәһәммәдәли иби Искәндәр Ширвани не'мәтуллахи“ кими охучуја тәгдим етмишdir<sup>18</sup>.

Һ. М. Ширванинин әсәрини нәээрдән кечиртдикчә, онун фачиәли һәјаты, мәһәрумийәт вә ишкәнчәләрлә долу рузикары һаггында тәсәвүрүмүз кенишләнинр. 0,20 ил Кәрбәлада Јашајыб, тәһисл алмыш, Йахын вә Орта Шәрг өлкәләринин тарихини, фәлсәфә вә ичтимәи фикрини өјрәниш, көркәмли алимләрлә көрүшмүшшур<sup>19</sup>.

Ваһабиләрин Кәрбәлаја күчлү Јүрүшү зәманы, јә'ни 1801-чи илнин апрел айында Һачы Мәһәммәдәлинин յажын адамлары, гоһум вә достлары, о чүмләдән атасы ахунд Искәндәр өлдүрүлмүшшур<sup>20</sup>. Бу дәһештәли һәдисәдән соңра Мәһәммәдәли артыг Кәрбәлада гәрар тута билмәмиш, әввәл Бірдада, соңралар исә Ирзина кетмишdir<sup>21</sup>. О заман Һачы Мәһәммәдәлинин бөјүк гардаши Зејналабдин Ширвани Иранын Тојсәркан шәһәриндә Јашајырды. Һачы Мәһәммәдәли Иран ҹатан кими гардашынын Яаңына, Тојсәркана кетмишdir<sup>22</sup>.

Мәһәммәдәли Ширвани гардаши Һачы Зејналабдинлә фикир мүбадиләси вә мәсләһәтләшдикдән соңра һансы йолла кедәчәйини, һәјатыны нәјә һәср едәчәйини гәт етмишdir. Һачы Мәһәммәдәли гардаши илә кечиртдији күнләрдә өмрүнү һәмишәлик олараг, елм вә сәјаһәтә һәср етмәк гәрарына кәлмишdir.

Һачы Зејналабдинин өз гардашына сәјаһәтә ҹыхмағы мәсләһәт көрмәсини тәсадүфи һал һесаб етмәк олмаз. Сәјаһәтин елм, билик, тәчрүбә мәнбәји олдуғу һамыдан чох Һачы Зејналабдин мә'лум иди. Һачы Зејналабдин сәјаһәтин мүсбәт кејфијәтләrinи өз һәјатында

<sup>10</sup> Һачы Мәһәммәдәли Ширвани. Көстәрилән автографы, вәр. 646, 676, 69a, 716, вә с.

<sup>11</sup> Йенә орада, вәр. 74a, 76ab, 77ab, 80ab, 876 вә с.

<sup>12</sup> Йенә орада, вәр. 74b, 75ab вә с.

<sup>13</sup> Йенә орада, вәр. 1a, 2a, 7ab, 10ab, 21ab вә с.

<sup>14</sup> Йенә орада, вәр. 45b, 50ab, 57ab, 63ab, 65b, 71b, 77ab вә с.

<sup>15</sup> Йенә орада, вәр. 41a.

<sup>16</sup> Һачы Зејналабдин Ширвани. Бустапус-сәјаһәт, сәјаһәт Тегран, 1315, сәh. 318.

<sup>17</sup> Һачы Мәһәммәдәли Ширвани. Көстәрилән автографы, вәр. 41a.

<sup>18</sup> Йенә орада.

<sup>19</sup> Йенә орада.

<sup>20</sup> Йенә орада.

<sup>21</sup> Йенә орада.

<sup>22</sup> Йенә орада.

сыйагдан кечирдијинә көрә гијматли өмрүнүн 40 илни сәфәрдә кечирмишdir<sup>23</sup>.

Һ. М. Ширвани гардашынын мәсләһәтилә сәјаһәтләрини Һиндистандан башламышдыр. Һиндистанын сирли бир хәзинә олдуғу Һачы Зејналабдинә јахши мә'лум иди. Мәһәз буна көрә дә о, өмрүнү сәккиз илни һәмин өлкәдә кечирмиш вә ораны тәрк өдәркән „Һиндистан... Һиндистан сәјаһәт арзусы слмасајды, сәндә дәими јашамаг да оларды“ демишdir<sup>24</sup>.

Мұхтәлиф өлкә алимләри Һиндистаны өјрәнмәк мәгсәдилә тағдимдән вәтәнләрнин узуни илләр тәрк етмишләр. Бу өлкәни тәдгиг әтмәк иијјәтилә доғма дијарындан узаг дүшән алимләрдән бири дә Һачы Мәһәммәдәли Ширванидир. Битиб түкәнмәјен јарадаңы ахтарыш, Һиндистан мәдәнијәтинә дәрин мараг Азәрбајчан алимини доғма Јерләрдән аյырмыш, мачәраларла долу Һиндистан дијарына апарыб чыхармышдыр.

Автографдан мә'лум олур ки, Һачы Мәһәммәдәли Ширванидир чыхыбы Казруна кетмиш, соңра исә дәнис жолу илә Мәсгәт—Кәрачи тәрефә һәрәкәт етмишdir<sup>25</sup>.

Сәјяһ Һиндистанда сәјаһәтләрини давам етдиրәрәк, Хејрпуру, Шәкәрпүру, Күчәраты, Бомбеји, Дәкәнин мәркәзи олан Һејдәрабады қәзиб доламышдыр<sup>26</sup>. О, бир илә گәдәр Һејдәрабадда јашамышдыр. Алым бундан соңға Мачинә, Исламабадә, Дәккәјә, Кәлкүттәјә, Муршидабадә, Бенгаләјә, Эзимбәдә, Бәнаресә, Фејзабадә, Фәррүхабадә, Әкбәрабадә вә б. шәһәрләрә кетмиш, бир мүддәт һәмин Јерләрдә јашамышдыр. О, Һиндистаны қәзә-кәзә қәлиб Шаһ Җаһанабадә чатышдыр<sup>27</sup>. Һ. М. Ширвани Ләнур истигаматинә дә сәјаһәт етмиш, нәһајәт, кәлб Кәшмира чатышдыр<sup>28</sup>.

Һ. М. Ширвани сәфәрдә олмајанын камил тәдгигатчы олачағына, дәјәрли әсәрләр յаза биләчәйине шүбһә илә јанашмышдыр. О, белә һесаб етмишdir ки, инсан шәхсән сәјаһәтдә олдуғда, өзү қөрү, өзү мушаһидә етдиңдә даһа әтрафлы, даһа кениш мә'лумата малик олур. Буна көрә дә о, имкан дахилиндә, чох Јерләрдә олмаға чалышмышдыр.

Һачы Мәһәммәдәли Әғғаныстаны да көрмәк истәјирди. Бу мәгсәдлә дә о, Мүзәффәрабад јолу илә Орта Асијада һәрәкәт етмишdir. Сәјяһ бир گәдәр бу Јерләрдә јубанмыш, ән нәһајәт, Орта Асијада чатышдыр<sup>29</sup>. Тәэссүфлә гејд етмәк лазымдыр ки, бу һанијәдә она бөјүк ԛыр бәдбәхтлик үз верир: јухары тәбәгә иу маҗәнәдәләри ону һәбс едиг башына мин мүсебәт қәтирир, тәһигир едир, гул кими мүнасибәт бәсләјирләр<sup>30</sup>. Гејд етмәк лазымдыр ки, адәтән, белә һалларда сәјяһлар јол гејдләриндән вә әлјазмаларындан мәһрум едилүр.

Орта Асијада Һ. М. Ширванијә үз вермиш бу фачиәјә, дәһшәтли һәдисәјә бахмајраг, о, Әғғаныстаны сәјаһәт етмәк фикриндән әл чекмәмишdir. Сәјяһ әввәлләр һәзәрдә тутдуғу Гәндәһар вә Һерат шәһәрләrinә кетмишdir<sup>31</sup>, тарихи абидаләрлә зәнкин олан бу шәһәрләрдә бир мүддәт галышмышдыр. Башга өлкәләрдә олдуғу кими, сәјяһ Әғғаныстанда да мұхтәлиф халг, тајфа вә гәбиләләрин һәјат тәрзи, адәт-ән'әнәләри, мәнишәтилә марагланышдыр.

<sup>23</sup> Бу барәдә әтрафлы мә'лumat алмаг үчүн бах: А. Гулијев. Қөркәмли Азәрбајчан сәјяһ-алими Һ. З. Ширвани, Бакы, 1964, сәh. 43—96.

<sup>24</sup> Һачы Зејналабдин Ширвани. Бустапус-сәјаһәт, сәh. 618.

<sup>25</sup> Һачы Мәһәммәдәли Ширвани. Көстәрилән автографы, вәр. 42ab.

<sup>26</sup> Йенә орада.

<sup>27</sup> Йенә орада.

<sup>28</sup> Йенә орада.

<sup>29</sup> Йенә орада.

<sup>30</sup> Йенә орада.

<sup>31</sup> Йенә орада.

Эфганистандан сонра алым Мәһмәдә кетмиш, бир мүддәт орада йашамышдыр. Онун сөнракы маршруту белә олмуштур: Нишабур, Сәбзәар, Шәируд, Дамған, Семнан, Техран, Гәзвин, Һәмәдан<sup>32</sup>. Сәjjah Һәмәданда слдуғу заман, Һачы Мәһәммәдәфәр Гаракөзлү вә гардашы Зејналабдин Кәрбәлаја кетмәни она мәсләһәт көрүрләр. Бундан сонра о, Кәрбәләда, Һәчәфдә, Бәғдәдә, Бәсрәдә, Кезрунда олур<sup>33</sup>.

Әсәрдән айдын олур ки, онун мүәллифи Һачы Мәһәммәдәли Әрдәлан, Сүлејмани, Кәркүк, Мосул, Бардин, Дијарбәкр, Үрфә, Һәләб, Траблис, Нәјруд, Сәнд, Гебрес, Искәндәријә, Сувејс, Іәнбуг, Җәддә, Мәккә истиғамәтиндә дә сәјаһәт етмишdir. Сәjjah слдуғу бүтүн јерләрдә тарихи вә мүгәддәс јерләри көрмәјә чалышмышдыр<sup>34</sup>.

Ираны, Эфганистаны, индики әрәб өлкәләринин чохуну, Һиндистаны, Орта Асијагы кәзіб доланан сәjjahы Түркијә дә марагландырырды. О, Түркијә кедәркән ѡолуну Сәнд, Гүнә, Мисир, Ша, Һәләб, Мәрәш, Гејсәријә вә бир сырға башга јерләрдән салмағы мәгсәдәүғүн һесаб етмишdir<sup>35</sup>.

Алымин өз јаздығына көрә, онун Һиндистан сәфәри 12 ил бир нечә ај, Рум, Мисир, Шам, Іәмән сәфәри исә 14 ил 7 ај чәкмешdir<sup>36</sup>. Мүәллиф көстәрик ки, сәјаһәт етдијим јерләрин чоху айры-айры дөөләтләрин пајтахты, өлкә вә вилајәтләрин мәркәзи шәһәрләри иди. Сәjjah даһа сонра хатырладыр ки, кәзіб доландығым мәшһүр олмајан шәһәрләрин адларыны чәкмәдим, јохса мәтләб узанарды<sup>37</sup>. О, даһа сонра јазыр: „Гәләндәр<sup>38</sup> һәр нә дејирсә, көрдүйнү дејир<sup>39</sup>“.

Н. М. Ширвани өзүнә ғәрибә һәјат ѡолу сечмишdir. Автографдан көрүндијүү кими, о, охумуш, сәјаһәт етмиш, ахтармыш, материал топламыш, тәдгигат ғармыш, јазыб-јаратмышдыр. Бир сөзлә, сәjjah-алим шәхси күзәран вә һәјатыны гајда салмагдан башга бүтүн ишләрә мачал тапмышдыр. Онун өзүнә айлә һәјаты гурмамасы, өмрү бою бу сәадәтдән мәһрум олмасы буна чанлы мисал ола биләр<sup>40</sup>. Һачы Мәһәммәдәли автографында е'тираф едир ки, әзиз өмрүмү сәјаһәтдә баша вурмушам. Һәјатым бою мал, дөвләт, сәрвәт тәмән-насында олмамышам<sup>41</sup>. О, сөзүнә давам едәрәк көстәрик ки, чи-чалалы үрәјимә тәлә һесаб етдим, издивач камыны гәлбимдә сахлазым, е'т барсыз дүнjanын һеч бир көмәтиң тәмәнна көзү илә баҳмадым<sup>42</sup>.

Н. М. Ширванинин тәвәллүд тарихи дәгиг айдын олмадығы кими, онун һансы илдә вәфат етмәси дә мә'лум дејилдир. Лакин буна баҳмајараг, мүәллиф и бу автографы онун Ьашы, иә гәдәр өмүр сүрмәси һаггында мүәյян тәсәввүр јарадыр. Сәjjah һәмиин автографда гочалыг јашына долдуғу, күчдән дүшдүйү, дәрд-кәдәрин ону тагәт-дән салдығы, бели дә гүввәтиң, кәзләриңдә ишығын олмадығы барадә охучуда там тәсәввүр јаратмышдыр<sup>43</sup>. Сәjjahынын өз гејдләринә әсасан онун тамам гочалдығыны, 70—80 ил јашадығыны еңтимал етмәк олар.

Һәлә гәдим вахтлардан башләјараг, мүтәфәккирләр инсаны „тәби-этин тачы“, „јер үзүнүн әшрәфи“, „көвһәрләрин көвһәри“ кими ги-

<sup>32</sup> Һачы Мәһәммәдәли Ширвани и Көстәрилән автографы, вәр. 42 б.

<sup>33</sup> Јенә орада, вәр. 43аб.

<sup>34</sup> Јенә орада.

<sup>35</sup> Јенә орада, вәр. 44б.

<sup>36</sup> Јенә орада.

<sup>37</sup> Ғәләндәр дәрвиш демәкдир. Дәрвиш исә фәгир, јохсул мә'насындаидыр.

<sup>38</sup> Һачы Мәһәммәдәли Ширвани. Көстәрилән автографы, вәр. 44б.

<sup>39</sup> Јенә орада.

<sup>40</sup> Јенә орада.

<sup>41</sup> Јенә орада.

<sup>42</sup> Јенә орада.

<sup>43</sup> Јенә орада.

мәтләндирмишләр<sup>44</sup>. Һачы Мәһәммәдәлинин бу автографы да инсанын мә'нәвијјат вә көзәллиji, бөјүлүк вә иәчиблиji, шәрәф вә вүгары, әзәмәт вә надирлиji һаггында јазылмыш бир әсәрдир. Мүәллиф инсанын налајиг әмәлләри и әсәр боју писләмешdir. О, инсаны онун бөјүк әдә бир сырға сыға билемәјен һәрәкәтләрдән узаглашмага сәсләмиш, җалызы өз әмәји илә јүксәлә, ад-сан, шөһрәт с һәби ола биләчәйни хатырлатмышдыр. Бу әсәр, ејни заманда, XIX әсрии бириңи յарысында Түркијәлә, Иранда, Эфганистанда, Һиндистанда, әрәб өлкәләринде, Орта Асијада вә б. јерләрдә баш вермиш һадисәләр һаггында көзәл тәсәввүр јарадыр. Автографда Һачы Мәһәммәдәлинин сәјаһәт етдији бүтүн өлкәләрин ичтиман, сијаси, иғтисади, мәдәни һәјаты барадә зәнкин мә'лumat вардыр.

Мүәллиф әсәрдә эи ғыр, эи ачи һәгигәтләр һаггында даныша бىрлиш, инсаны шикәт вә мүфлис әдән чәмијәти ифша етмишdir. Бөјүк реалист ғимәт вә јазычы бүтүн ишләрдә һијлә, јалан, чинајет ишләдәнләри—истәр шаһ, истәрсә дә дөвләт апаратынын эи кичик үзүү олса белә—күлүш, мәсхәрә, истеңза һәдәфиә чевирмишdir.

Сәjjah-алим әсәр беју садә әмәк адәмларынын, јер үзүндәки бүтүн ие'мәтләри әлдә едәнләрин тәрәфдары кими чыхыш етмиш, онларын сәадәти һаггында дүшүнмүшдүр. Мүәллиф дөврүн мүһүм проблемләрине тохунараг, өз әсәрини бир нөв зәмәнәни күзкүсүнә чевирмәжә мүвәффәг олмушdur.

Һачы Мәһәммәдәли Ширванинин јени әлдә едилмиш „Әлбүрhan fi шәрафат-ул-инсан“ әсәрини автографы Азәрбајҹан мәдәнијәти тарихини зәнкинләшdirән гијметли бир мә'хәз кими бөјүк әһәмијәтә маликдир.

Јажын вә Орта Шәрг  
Халглары Институту

А. А. Кулиев

## Об одном ценном автографе

### РЕЗЮМЕ

Сочинения средневековых азербайджанских ученых можно встретить во многих культурных центрах мира, одним из которых является Центральная библиотека Тегеранского университета. В этой библиотеке хранятся рукописи и автографы многих сочинений азербайджанских и других восточных авторов. К числу таких отискается и автограф сочинения азербайджанского путешественника Мухаммад-Али Ширвани „Ал-бурхан фи шарафат-ул-инсан“ („Доказательство достоинства человека“), микроснимок которого получен недавно из Тегерана.

В этой статье впервые даются относительно подробные сведения о содержании и авторе данной рукописи.

Agamir Kuliyev

## On a valuable autograph

### SUMMARY

One may come across a lot of manuscripts and autographs by the Azerbaijan scholars of the Middle Ages in many scientific and cultural centres of the world. The central library of the Tehran University is considered to be one of such centres, where many manuscripts and autographs of the Azerbaijan and other oriental authors are kept. Among those manuscripts there is also the autograph of the azerbaijan traveller those manuscripts there is also the autograph of the azerbaijan traveller Mahammad-Ali-Shirvani „Burhan fi Sharafat-al-insan“ (The Proof of the Human Glory) the microfilm of which has recently been received from Tehran. This article gives for the first time some relatively detailed information about the manuscript itself and its author.

“З. Көјүшов. һәзз вә истираб, Бакы, 1969, сән. 3.

## ХАНЛАРКЭНДДЭ КҮП ГЭБИРЛЭРИ ТАПЫНТЫСЫ

(Азәрбајҹан ССР ЕА академики Ә. С. Сүмбатзадә тәгдим етүүшүдүр)

Азэрбајчаны Муған зонасы археоложи чөһөтдән олдугча зәкф өјрәнилмишdir. Одур ки, бурада ашыар едилмиш hәр бир јени абидә тәдгигатчыларын диггәтини чәлб өтмәjә билмәз.

1966-чы иилин жаңыраңда Саатлы рајоны Сарчалар гэсэбэси тикинти гурашдырма үйләрсөнинең рәиси Н. Сәфәрәлиев, мүһәндис-ләрдән С. Сарыјев вә К. Ағајев Ханларкәндидин 3 км шимал-гәрбиндә суварма системи илә әлагәдар тәсәррүфат ишләри көрүләркән, гәдим мәдди-мәдәнијәт абидаләринин үзә чыхмасы нағында Азәрбајҹан ССР ЕА Тарих институтуна хәбәр вермишләр. Һәмин абидаләрин тәдгиг едилмәси мәгсәдилә Саатлы рајонуң ташкил едилмеш гыса мүддәтли археологи кәшифийят сәфәри заманы Муған дүзүндә күп гәбирләrinә сид даңа бир обьектин ғарлығы аյдан олмушшудур. Бурада, яени газылыш коллекторуның көнарында, бир-биринчән 10—12 км мәсафәдә 4 күп гәбир ачылмышдыр. 3—3,5 м дәрениликдә ашкар едилмиш күпләрни ағзы шимал-гәрб 1 стигамәтиндә гојулмушшудур. Онлар тәсадүүфән ачылдығындан дағыдылмыш, этрафына вә ичәрисинә гојулмуш агаданлыг (кил габләр, бәзәк шејләри) сыймышдыр. Јерлиләр тәрәфиндән бә’зи мәдди-мәдәнијәт галыглары—бир нечә сахсы габ, тунч биләрзик, үзүк, шүшә мунчуглар топланмышдыр. Шубәсиз, бу тапынтылар абидаләнин дөврүнү мүәјжәнләшdirмәк вә гәдим сакинләринин мәшгулијәти нағында мүәјжән тәсәввүр јаратмаг үчүн мүһум әһәмијәтә маликдир. Тапынтылар нағында охучуда айдан тәсәввүр јаратмаг үчүн онлары айры-айрылыгда тәсвири өтмәк лазымыдир.

Кил габлар. Бозумтул рэнкдэ олан бу кил габлар эл илэ кобуд назырланмышдыр. Онларын ағызлары үчкүл, дөрдкүл вэ новча формасында әйнитиләрә малиқдир (табло, 1-3-чү шәкилләр). Габларын көвдәси шаршәкилли, отурачағы исә нисбәтән енилдири; гулпларын ен кәсији даирәви шәкилдә олуб габын чијини вэ ағзынын кәнэрьина јапышдырылмышдыр. Гејд етијимиз габлар истәр назырланма үсулuna көрә вэ истәрсә дә формасына әсасән тапылдығы әразинин гоншулуғуда јерләшән Чәфәрхан кәнді абидәләриңдән<sup>1</sup>, һабелә Шамахы рајону әразисинде<sup>2</sup> тапылмыш вэ ерамызын әvvәлләриңә анд олан кил габларла мүәjjән уйғунлуға малиқдир.

<sup>1</sup> Т. С. Пассек, Дежафарханский магнит.

а Ч. Э. Хәэлилов. Хыныслы яшаыш јери. Азәрб. ССР ЕА Хәбәрләри (ичтиман елмләр серијасы), № 3, 1961, II табло, 5-чи шәкил; А. Б. Нуриев. Күмүшлу яшаыш јери наргында илк мә'лumat. Азәрбајҹанын мадди-мәдәнијәти. VЧ чилд, Бакы, 1965, сәh. 165, 1-чи табло, 1-чи шәкил.

Тапынтылар ичәрисиндә бәзәк аваданлығы нисбәтлә көтүрүлдүкдә даһа зәңкиндир. Бунлар метал вә шүшә мә'мұлатындан ибарат олуб мараглы назырланма техникасына маликдир.

Түнч биләрзик<sup>3</sup>. Ен кәсији үчбучаг формасында олан бу биләрзијин учлары јасты вә сиври дүзәлдилмишdir (табло, 7-чи шәкил). Бу метал голбағының јасты вә сиври учлары бир нөв илан башы формасыны да хатырладыр. Онун учлары бир-биринә јахынлашдырылмыш формададыр. Биләрзијин үзәриндә чох кичик чизкиләрдән ибарәт енина хәтләр чәкилмишdir. Бу бәзәк әшіжасының үзәри јашыл пасла өртүлмүшдүр. Онун бә’зи һиссәләри гопуб төкулмүшдүр. Бу чүр биләрзикләр антик дөвр биләрзикләри илә үмуми уйғунлуг тәшкүл едир. Белә ки, јасты вә сиври учлу, даһа дөгрусу учлары илан башы формасында олан биләрзикләр Әһәмәни мадди-мәдәнијәти илә дә мүәјжән јахынлыг тәшкүл едир.

*Mic үзүк.* Үзүүн јалныз гаш һиссәси вә она јахын һиссәләри галмышдыр (табло, 6-чы шәкил). Үзүүн галығына көрә онун гаш һиссәсигө вахты илә овал формасында гашлыг бәркидилдижи мә'лум олур. Лакин үзүк өзү сыныг олдуғу үчүн онун гашында, еһитмал едилдижинә көрә, шүшә, јаҳуд дашдан тәбәгә шәклиңдә гашлыг јерләширилмишdir. Үзүүн гашында дүзәлдилмиш јувачыг вә ораја гашлығы бәркитмәк үчүн төкүлмүш күтләниң бәркимиш һалда изи галмышдыр. Бу тип үзүклөр ерамыздан әvvәl I әсрин ахыры вә ерамызын I әсринин әvvәлләриндә даһа кениш јаылмышдыр. Бунларын үзәриидә адәтән мөһүр слан дашлар вә башга материалдан гашлыглар да јерләшириллir. Һәмин үзүүн охшар нүмунәси Минкәчевир газынтыларынан тапылмышдыр<sup>4</sup>. Гејд едилән тунч үзүүн гашында киши сифәти чох көзәл тәсөр едилмишdir. Минкәчевирдән тапылан үзүк мөһүр күп гәбриндән дикәр мадди мәдәнијет галыглары, о чүмләдән IV Фраатын (ерамыздан әvvәl 38/37—3/2) адына кәсилемиш Аршаки дирһәми (кумуш пул) илә бирликдә тапылмышдыр. Бу пула әсасен һәмин күп гәбри вә аваданлығы ерамызын I әсринин әvvәлләринә анд едилмишdir.

Ханларкәнд күп гәбриндән тапылмыш үзүүн єни типи слан туңч-вә дәмир мөһүр—үзүкләри фрагментләри јенә дә Минкәчевир газынтылары заманы күп—катаомба гәбирләриндән әлдә едилмишdir. Оилар комплекс мәтериалларла е. ә. I әсрин сону вә ерамызыны I әсри-ни ин әввәлләrinә аид едилмишdir<sup>5</sup>. Һәмин үзүкләри вә еләчә дә нағышида данышдығымыз үзүүн башта өлкәләрдә олан охшар нуму-нәләри дә мутәхәсиссләр тәрәфиндән е. ә. I әсрин сону вә ерамызыны I әсринин әввәлләrinә аид слдуғу мүәјләнләшдирилмишdir<sup>6</sup>.

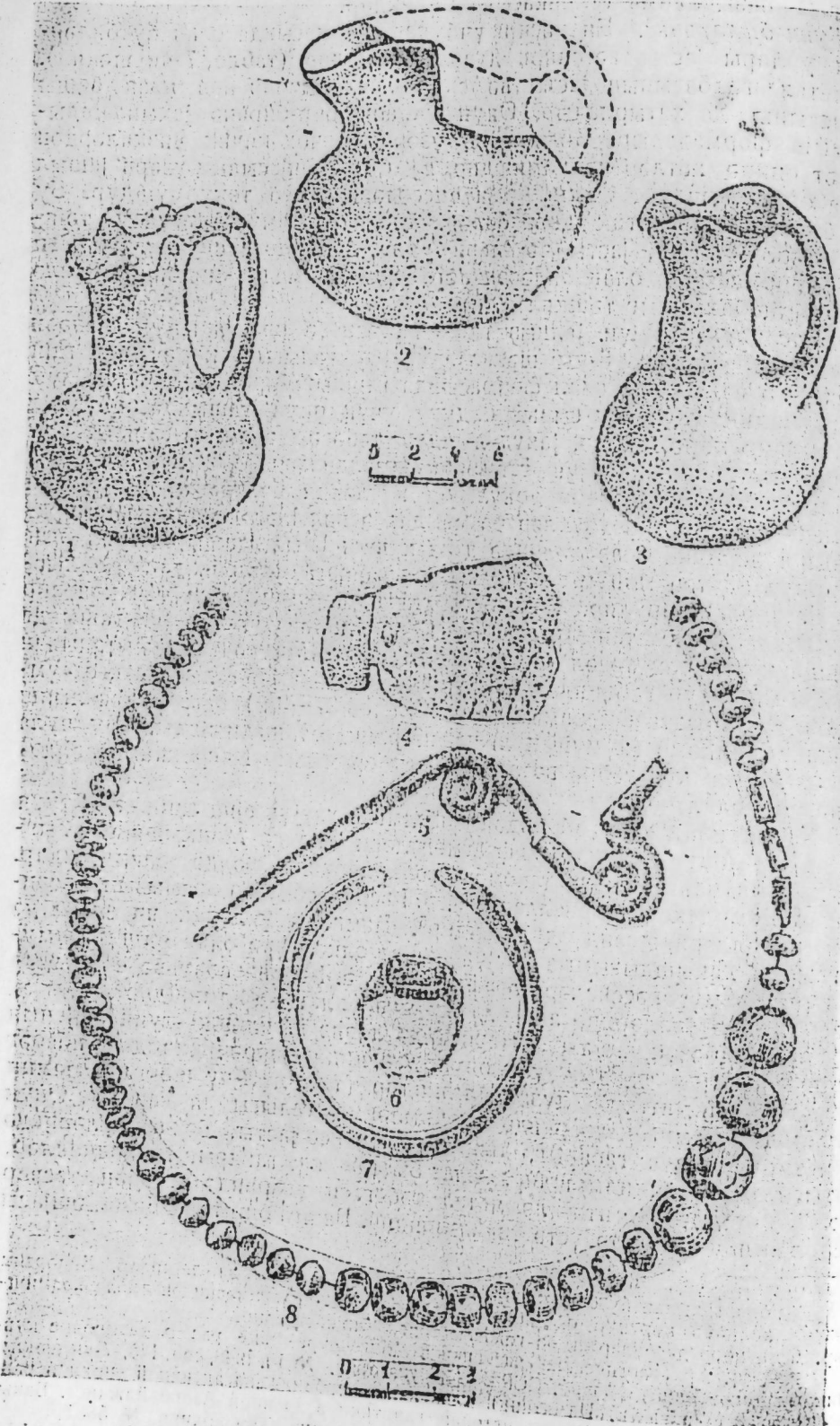
Метал бэзэк шејлэри ичэрийнд лөвхэ шэклинд тунч өшжанын жичик гырыг вардыр ки, онун үзэриндээ зэррэчилэрдэн ибэрэг табарыг чыхынтылар дүзэлдилмишдир (табло, 4-чүү шэкил). Үемин метал парчаснын үзэриндээ пэрчимлэхэмэ галыгы да вардыр. Онун бир тэрэфи азча габарыг, дикэр тэрэфи исэ ясты, бэ'зи јерлэриндэ батыглар дүзэлдилмишдир. Ола билсии ки, габарыг зэррэчилэр, յахуд нөгтэлэр өсчитэсилэ метал тэбэгэсий үзэриндэ мүэjjэн тэсвир верилмиш ёё палтар үстэ тикилмишдир. Башга бир тунч бэзэк өшјасы

З Гола тахылай бу бәзәк эшјасына чох вахт голбагы да дејирләр. Биләрзик сөзүн қалинчә көрүнүр, о „ биләк үзүү“ сөзүнүн бирләшмәсендән эмэлә қәлмиш.

4 Г. И. Археологические раскопки в Миндечауре (еще раз о датировке кувшинов горшечных). Азэрб. ССР ЕА Мэ'рүзләри", № 10, 1948, сн. 145, 7-чи шекил

б И. А. Бабаев. Памятники глиптики Азербайджана античной эпохи и раннего сре.невековья (очерки по истории глиптики в древнем Азербайджане). Баку, 1954, № 24-25; Азэр. ССР ЕА Тарих Институтунун елми архиви, № 5831.

1964, ч. 94-95; Азэрб. CCP EA Tariix Fingerrings, 1964, № 1103.



даға мараглышыр. О, ен кәсији даирәви олан түнч чубугчұгдан ибарәт олуб, мүәжжән мәсафәләрдә даирәви сарынараг спирал шәклиндә дүзәлдилмішdir. Бу чүр спиралшәкілли бурулмуш һиссәләрдән жалызы икиси әлдә едилмішdir (табло, 5-чи шәкил). Онлардан биринин жаңында әсас чубугчұға назик мәфтүл сарынышдыр. Һәмин бәзәк әшјасының бир тәрәфинидән метал чубугчұғун учу шишdir. Бу исә онун мүәжжән бир санчаг вәзиғеси дашыдығыны көстәрир. Спирал дүйүмидән соңра санчағын шишиң үчүнүн узуналуғу 7 см-дир.

Таптылыштар ичәрисинде шүшә мүнчуглар даға чохдур (табло, 8-чи шәкил). Онларын ичәрисинде пастадан һазырланмыш узунсов мүнчуглара да тәсадүф едилмішdir ки, бунларын чоху овхаланмышдыр. Шүшә мүнчуглара кәлинчә онлар иисбәтән жаҳшы галмышдыр. Бу мүнчуглар икى рәнкдә—ағымтыл вә көј рәнкдә һазырланмышдыр. Ағымтыл мүнчуглар мұхтәлиф бөјүклүкдәдир. Онларын бөјүкләри јумру, кичикләринин бә'зиси исә ромбвары формададыр. Бунлар мараглы һазырланма үсулуна маликдир. Шүшәсінин тәркибинде кичик говугчұглар вә гызыл гарышығы вардыр. Ағ рәнкли шүшә мүнчугларын тәркибинде гызылы рәнкә чаларлыг аждын көрүнүр. Бу чүр мүнчуглар Минкәчевирдән, Шамахы рајонуна Шәрқан жашајыш јеринин гәбристанлығындан, һабелә 1969-чу илдә Гәбләдә Чагаллы антик дөвр жашајыш јеринин чәнуб-шәрг кәнарында ашқар едилмиш некрополун торпаг вә күп гәбирләриндән дә тапталмышдыр. Мүнчуглардан көј рәнкдә һазырлананлары чохлуғу тәшкил едир. Һазырда абиәдә олан саһе Күр вә Араз чајларының сағ саһилиндә 30—35 км-лик бир мәсафәдә јерләшир. Ханларкәндә күп гәбирләре ашқар едилән јердән 3 км чәнубда, тәгребән 80 м енинде чај жатағынын изи галмагдадыр. Јерли әналиниң вердији мә'лumatат көрә, гәдим заманларда Араз чајы Күр чајына говушмадан Хәзәр дәнисинә дөгру ахмышдыр. Ерамызын I-II әсрләrinde јашамыш Рома тарихчisi Плутарх Помпејин дәјүшләрини тәсвир едәркән Күр вә Араз чајлары, онларын ахының нағында да бизә мә'лumatат верири. О јазыр ки, бә'зиләринин сөјләдијинә көрә бу чајлар говушмадан бир-бiriнин жаҳынлығында Каспи дәнисинә төкулүр. Белә олдуғу налда ашқар едилмиш абиәләрин сакинләре чајын сол саһилиндә јерләшишdir. Гәдим әнали өз әкин саһәләрини асанлығла сувармаг вә малдарлығла даға жаҳшы мәшғул олмаг үчүн чај вадиләrinde, һабелә мәһсүлдар торпагларда јашамышлар.

Күп гәбирләре ашқар едилән саһениң жаҳынлығында сүн'и дүзәлдилмиш тәпәләри дә олдуғу мүәжжәнләшdirилмишdir. Бу тәпәләр чох да ѡуксәк олмајан узунсов олуб, өлчүләри  $8 \times 40$  м-дән  $30 \times 350$  м-э тәддерdir. Һәмин тәпәләрдә газынты ишләри апарылмадығындан онларын дөврү вә характеристика нағында һәләлик дәғиг вә кениш мә'лumatат вермәк мүмкүн дејилdir. Ейтимал едилр ки, һәмин тәпәләр гәдим заманларда дашғына әлагәдар дүзәлдилмишdir.

Әлдә едилмиш материаллара әсесән һәмин абиәни е. ә. I әсрин ахырлары вә ерамызын I-II әсрләrinе аид етмәк олар.

Тарих институту

Алыннышдыр 28. X 1973

Ф. А. Османов

#### Находки кувшинных погребений в. с. Ханларкенд

#### РЕЗЮМЕ

В 1966 г. в с. Ханларке гд Саатлинского района при строительстве на глубине 3—3,5 м от земляной поверхности были обнаружены кувшинные погребения. В связи с этими находками Институт истории АН Азербайджанской ССР организовал кратковременную поездку в

зону Мугани, где был зафиксирован еще один объект кувшинных погребений. Во время поездки выяснилось, что четыре разрушенных кувшинных погребения сопровождались глиняными сосудами с четырех- и трехлепестковыми венчиками. Из предметов украшений имеются стеклянные бусы, медные кольца, бронзовый браслет и другие. Бусы разноцветные и различной формы, внутри белоцветных бус сложен тончайший слой золота.

Большой интерес представляет медное кольцо с овальной жуковиной. Вставка в жуковину утрачена.

Отмеченные керамические и другие изделия, обнаруженные на территории Ханларкента Саатлинского района по сравнительным материалам, дают возможность датировать этот комплекс концом I в. до н. э. и I—II вв. н. э.

F. L. Osmanov

### Findings of pitcher burials in a v. Khanlarkant

#### SUMMARY

In 1966 during the excavations pitcher burials were discovered in the depth of 3–3,5 m above the surface of the ground. According to these findings the History Institute of Academy of Sciences of Azerb. SSR decided to organize a short duration departure to Mugan zone, where was fixed one more object of pitcher burial. During this departure was cleared that these were four pitcher burials with potteries. These were decorations in these glass beads, cooper rings, a bronze bracelet and other things. The beads are many-coloured and have different forms, inside of the beads there is a slightest coating of the gold.

A great interest reproduces a cooper ring with oval inset. Its inset was lost.

Above mentioned potteries and others were discovered on the territory of Khanlarkant of these materials is the end of Ic. and I—IIc A. C.

АЗЭРБАЙЧАН ССР ЕЛМЛЭР АКАДЕМИЯСЫНЫН МЭРҮЗӘЛӘРИ

### ДОКЛАДЫ АКАДЕМИИ НАУК АЗЕРБАЙДЖАНСКОЙ ССР

ТОМ XXXI ЧИЛД

№ 2

1975



УДК 39

ЭТНОГРАФИЯ

Г. А. ГЕЙБУЛЛАЕВ

### К ПРОИСХОЖДЕНИЮ НЕКОТОРЫХ ЭТНОТОПОНИМ ОВ АЗЕРБАЙДЖАНА (СУМГАЙТ, КИОНГЮТ, ДЖОРАТ, ЗУНД, ОРИЯТ, ТАНГИТ, ЧИРКИН)

(Представлено академиком АН Азербайджанской ССР М. Ш. Ширалиевым)

Ряд этнотопонимов является ценным источником для определения тюркоязычных напластований в топонимике Азербайджана [1] и дает возможность уточнить ареал распространения тюркских племен на указанной территории. Один из слоев этой топонимики связан с теми тюркскими племенами, которые осели здесь в период монгольских завоеваний.

Одним из труднообъяснимых топонимов является название города Сумгита, который возник после Великой Отечественной войны. До этого никакого населенного пункта с таким названием здесь не существовало. Город получил свое название от близлежащей железнодорожной станции, последняя названа по почтовой станции с одним служащим [2]. В свою очередь, эта почтовая станция была создана на месте бывшего ранее каравансарайя Сумгант [3].

Известно, что каравансарай Сумгант (вернее Сугант—см. ниже) получил свое название от гидронима того же имени. М. Фон Биберштейн, в путевых заметках которого встречается это название, упоминает его только как гидроним „Сугет, иначе Гозлучай“ [4]. В архивном документе 1806 г. отмечено: „каравансарай у Козлучай или Сугантчай“ [5]. В специальной литературе первой половины XIX в. указывается, что незначительная река Гозлучай впадает в Каспийское море и что, „входя в Бакинскую провинцию, она получает также название Суганта“ [6]. Итак, топоним Сугант через промежуточные звенья связан с гидронимом.

Для выяснения происхождения топонима требуется определить его первичную форму. По имеющимся источникам можно сделать вывод, что правильной формой нашего гидронима является Сугант. Так он обозначен на карте Кавказа, составленной в 1834 г. [7]. В литературе, относящейся к 1836 г., отмечен „каравансарай Сугант“ [8] и „река Сугант“ [9]. Однако с середины XIX в., впервые у И. Березина, этот топоним и гидроним написаны как Сугант и Сумгант. Он пишет, что „у Сумганта (автор имеет в виду каравансарай.—Г. Г.) протекает река тоже Сумгант или Сугант“ [10].

А в литературе, относящейся во второй половине XIX в., этот топоним встречается только в форме Сумгант [11]. Из вышеприве-

денного становится ясным, что первоначальной формой гидронима и топонима был Сугант и что форма Сумгант есть результат добавления согласного звука „м“ в середине слова. Такое фонетическое изменение, хотя и редко, встречается в азербайджанских диалектах [12].

Первый, кто интересовался этимологией слова „Сумгант“, был И. Березин. Поделив это слово на две части: „Су“ (вода) и „гант“ (основа глагола „гант“—„возвращаться“), автор пишет, что „Сугант“ потюркски (т. е. по-азербайджански.—Г. Г.) значит „вода возвращается“ [13], и приводит народное предание, по которому „такое название дано ей (реке—Г. Г.) будто потому, что в ней вода в жару высыхает, а после дождей является“ [14]. Действительно, среди жителей соседних селений до сих пор существует предание, что река так названа потому, что после высыхания ее в летнее время, с наступлением осени в сухом русле появляется вода, т. е. „вода возвращается“.

В дальнейшем ряд авторов, исходя из этого, также объяснял его как „возвращается вода“ [15]. В. А. Никонов высказал мнение, что это объяснение—обычное переосмысление непонятного, по-видимому, дотюркского происхождения, но подвергшееся тюркизации [17]. Автор этих строк одно время тоже пытался объяснить этот топоним, исходя из иранских языков, как „окраина моря“ [18]. Но в дальнейшем было выяснено, что Сугант—этоним и что его следует объяснить как этнотопоним.

Известный средневековый историк XIV в. Рашид-ад-Дин среди тюркских племен, примкнувших к монголам в разные времена и участвовавших в их завоеваниях Ближнего Востока и Закавказья называет племя Сукант [19]. Сообщая о многих племенах и в том числе о Сукаите, автор пишет, что они происходили от дядей Огуза—Ор-хана, Каз-хана и Гур-хана, его братьев и их детей, которые не присоединились к Огузу (там же). По Рашид-ад-Дину, народности, которые в настоящее время называют монгольскими „однако в начале их название не было таковым, потому что это название появилось спустя некоторое время после них“ (там же). Нам кажется, что с завоеванием Азербайджана монголами это племя или часть его, наряду с другими, осело в месте, где впоследствии этоним сохранился как гидроним. Видимо, в то время племя Сукант вело кочевой образ жизни, ибо в известных нам поздних средневековых источниках нет намека на населенный пункт с этим именем.

Принадлежность топонима к племени Сукант подтверждает современным топонимом Джорат, находящимся недалеко от города Сумганица. С. Ашурбейли, объяснив это, предполагала, что это слово состоит из персидского „джоу“ (ячмень) и „рад“ (место) [20], что, по нашему мнению, следует считать ошибкой, ибо Рашид-ад-Дин в своей работе среди других тюркских племен перечисляет и племя Джурят [21]. Это дает основание считать топоним Джорат видоизменением от Джурят. Интересно, что в начале XIX в. селение Джоратлы было в окресте Шамшадил [25]. Можно предполагать, что во время существования государства Хулагидов эта местность служила пастбищем и местом пребыванием ряда племен. Известно, что Газанхан в 1301 г. посетил имению Хилизи (современный Гилизи), который находился как раз в зоне расположения этих типонимов [23]. Отметим также, что вообще в этой зоне, где находятся город Сумгант и село Джорат, все топонимы и микротопонимы тюркского происхождения (например, Бармак, Кизилбурун, Гилизи, Тугчай, Атачай и др.).

В Шекинском районе есть селения Кюнгют и Зунуд, жители которых говорят на азербайджанском языке. По нашему мнению, эти топонимы отражают названия тюркских племен Кингит и Сунит. Рашид-ад-Дин пишет, что племя Сунит имеет общее происхождение с племенем Сукант [24]. А племя Кингит автор включил в список племен,

„произвание которых было монголы“ [25]. Село Кингит в прошлом было и в Джавадском уезде. Бессспорно, что эти этнонимы с течением времени подверглись фонетическому изменению в соответствии с нормами азербайджанского языка. Так, замена начального согласного „с“ на „з“ характерна для диалектов азербайджанского языка [26].

О том, что топонимы Кюнгют и Зунуд соотносимы с вышеизложенными этнонимами, подтверждается и гидронимом Элджегенчай, рекой, протекающей на территории того же Шекинского района. Так, Рашид-ад-Дин среди других тюркских племен перечисляет и племя Элджегин [27].

Отметим также, что в Карабском районе, который входит в Шекинскую зону, есть другой топоним Тангит, который, безусловно, связан с племенем Тангут, о котором много пишет тот же автор [28]. По мнению В. В. Бартольда, после разрушения Тангутского государства монголами, часть его населения была принуждена отправиться на запад с ними [29]. Наконец, до сих пор в этом же районе имеются селения с этонимом Мугал, являющимся вариантом этонима монгол [30]. Там же до сих пор есть село Джалаир. Племя Джалаир Рашид-ад-Дин называет рядом с племенем Сунит в разделе „О тюркских племенах, которые в настоящее время называют монголами“ [31].

Следующим топонимом, связанным с этонимом, является Орият в Сальянском районе. Нам кажется, что этот топоним отражает этоним Урят, который упоминается единственный раз в сочинении Рашид-ад-Дина [32]. Интересно, что в прошлом селение Орият было в зоне Шекинского района, где установлены топонимы Кюнгют, Зунуд и гидроним Элджеген-чай. Кстати, отметим, что в современном Джалилабадском районе имеет селение Оратлы, а в Физулинском—Аратлы. Нам кажется, что и топонимы Араткенд в Сальянском районе тоже состоят из видоизмененных „Орият“ и „кенд“. Село Орият имеется и в Иране.

Наконец, о топониме Чиркин (в сложном топониме Гузейчирикин) Кельбаджарского района. Топоним Гузейчирикин состоит из двух компонентов—„гузей“ (по-азербайджански теневая сторона горы) и этонима чиркин, что означает „находящийся на теневой стороне Чиркин“. Топоним Чиркин образован от этонима Джиркин, о котором упоминает Рашид-ад-Дин [33].

По Рашид-ад-Дину, племя джирикин является частью племени Керат. Автор называет это племя „героическим племенем“ [34]. Отметим, что до недавнего времени в Таузском районе было село Чиркинили, считая его образованным от азербайджанского „чиркин“ (грязный), жители селения добились его переименования на Чешмэли.

Итак, из вышеприведенного становится ясным, что возникновение топонимов Сумгант, Джорат, Орият, Кюнгют, Зунуд, Гахмугал, Тангит, Чиркин, Джалаир и гидронима Элджеген и др. по времени приходится нафтопонимический слой [35], который сложился после завоевания Азербайджана монголами и включением его в состав обширного государства Хулагидов.

## ЛИТЕРАТУРА

1. Гусейнов Р. А. Тюркские этнические напластования XI—XII вв. в Закавказье. (Тез.). Баку. 1966.
2. Списки населенных мест Российской империи. Бакинская губерния, 1870.
3. Обозрение Российских владений за Кавказом, СПб., 1936, ч. III (далее—Обозрение).
4. Фон-Биберштейн М. Описание провинций, расположенных на левом берегу Каспийского моря между реками Терек и Кура; пер. с французского. С. Ашурбейли. Научный архив Ин-та истории АН Азерб. ССР. № 466.
5. Акты Кавказской Археологической комиссии, т. III, док. № 15 (далее—АКАК).
6. Обозрение, ч. III 7. Дори Б. Каспий. СПб., 1875.
8. Обозрение, ч. IV. 9. Обозрение, ч. III. 10. Березин И. Путешествие по Дагестану и Закавказью. Казань, 1850.
11. Списки населенных мест Российской империи. Бакин.

ская губерния, 1870. 12. Ширалиев М. Азэрбајҹан диалектологијасының әсаслары, Бакы, 1957. 13. Березин И. Путешествие по Дагестану и Закавказью, Казань, 1950. 14. Березин И. Ук. раб. 15. Йұзбашов Р. Мұғаллимин топонимик лугати, "Тарих", ичтимаијат, ҷографија тәдриси журналы, Бакы, 1969. 16. Газ. "Правда", 1957, № 200; жур. "Техника молодежи", 1958, № 9, стр. 7 и др. 17. Никонов В.А. Краткий топонимический словарь М., 1966. 18. Газ. "Совет канди", З. III, 1970. 19. Рашидий топонимический словарь М., 1966. 20. Газ. "Совет канди", З. III, 1970. 21. Ашурбейли С. Б. Топонимика Ашурбейли в связи с вопросом этногенеза азербайджанцев. "Изв. АН Азерб. ССР, серия истории, философии и права", 1967, № 2. 21. Рашидаддин. Ук. раб, т. 1, кн. вторая. 22. АКАК, т. 1, ч. II. 23. Ализаде А. А. Социально-экономическая и политическая история Азербайджана XIII—XIV вв. Баку, 1956. 24. Рашидаддин. Сб. летописей, т. 1, кн. первая, 1952. 25. Рашидаддин. Ук. раб. 26. Ширалиев М. Ук. раб., стр. 83. 27. Рашидаддин. Ук. раб., т. 1, кн. первая. 28. Там же, т. 1, кн. вторая. 29. Бартольд В. В. Соч., т. V. 30. Шастина Н. Примечания к кн. кн. вторая. 31. Рашидаддин. Ук. раб., т. 1, кн. вторая. 32. Там же. 33. Там же. 34. Там же.

Институт истории

Поступило 21. III 1972

Г. Э. Гејбуллајев

**Азэрбајҹаның бә’зи етнотопонимләrinin мәнишәйинә даир  
(Сумгајыт, Күнкүт, Чорат, Зунуд, Оријат, Тангыг вә Чиркин)**

ХУЛАСЭ

Азэрбајҹан топонимикасының түрк мөншәли тәбәгәләриндән бири дә монголларын гәрбә һәрәкәти илә әлагәдар олараг, Азэрбајҹанда мәскүнлашмыш түрк тајфалары илә бағлыдыр. XIII əср тарихчиси Рашидаддин монголларын тәркибиндә Өн Асија вә Загафгазијанын ишғал едилмәсindә иштирак етмиш түрк тајфаларындан бәһс едәркән Сугайт, Күнкүт, Чурјат, Сунит, Оријат, Тангыг вә Чиркин тајфаларының да адларының чәкир. Азэрбајҹанда һәмин адда топонимләrin мөвҗүд олмасы көстәрир ки, бу тајфалар бурада да мәскүнлашмышылар. Сумгајыт топониминин Сугайт адлы тајфаның ады илә әлагәдар олмасы онуна тәсдиғ олуңур ки, кечән эсерин орталарына гәдәр бүтүн мәнбәләрдә бу топоним вә һидроним Сугайт кими гејд олуңмушдур. Дикәр топонимләr исә az фонетик дәјишикликләrlә индијә гәдәр өз гәдим формаларының сахламышлар.

Г. А. Geybullayev

**About the origin of some Azerbaijanian ethnonyms (Sumgait, Kunkut, Gorat, Zunud, Oriyat, Tangit and Chirkin,)**

SUMMARY

One of the sections of Turkish origin of Azerbaijanian toponomy is connected with the Terkish tribes which dwelt in Azerbaijan because of the Mongolians movement to West. Speaking about the Tuerkish tribes which took part in Mongolians aggression in Front Asia and Transcaucasia the XIII-th century historian Rashidaddin names Sugait, Kunkut, Guryat, Sunit, Oriyat, Taugit and Chirkın tribes.

The existence of so-called topónies in Azerbaijan proves that those tribes once dwelt on the Azerbaijanian territory too.

Till the middle of the 19-th century the toponym and hybronym Sumgait was known as Sugait in all sources. It is enough to prove that the name Sumgait deals with the Sugait tribes. The rest of the toponyms with few phonetic alterations kept their ancient forms till nowadays.

МҮНДӘРИЧЛӘТ

Механика

Н. П. Пирив. Даирәви полимер лөвһәнин вибрасија едән јүкүн тә'сири иштәрчесиндә ейилмәсі . . . . . 3

Функционал анализ

Х. Р. Мирзәјев. Орлич фәзасында мәхсүс интегралы гијметләндидирилмәснә даир . . . . . 8

Ријазијјат

С. Э. Ыачыјев, А. И. Лившиц. Квант электродинамикасында пилләли диаграммаларын чәмләнмәсі мәсәләснә даир . . . . . 12

С. J. Jagubov, C. N. Samadova. Параболик тәиликләр үчүн Коши мәсәләснәни корректили . . . . . 17

P. J. Эмәнзәдә, M. B. Axundov. Гејри-хәтти еластик чубукун габарыглыгы . . . . . 21

Физика

Б. Н. Тағыјев, А. Б. Кот, Ф. И. Плијев. GaSe әсасында назырламыш бистабил ашырычыларда јүксәккечиричилүү тәбиэті . . . . . 27

Биофизика

Н. Б. Абдуллајев, Ш. В. Мәммәдов, Н. И. Чәфәров, Н. М. Мәһәммәдов. Іејван көзүнүн пигмент епителисиндә ишыгын тә'сири илә јаранмыш сәрбәст радикал сәвијјәләриниң тәдиги . . . . . 31

Кимја

М. М. Мөвсүмзәдә, В. С. Мәммәдзәдә, Н. Н. Қаримова. Етилен оксидинин формалденилдә васитәли һалокенләшмәсі . . . . . 41

Микробиология

И. И. Намазов, Е. Ч. Чәфәров, М. А. Ыачыјева, Х. Н. Гулијева, Л. М. Бабајева. Диизел яғында олан карбоидрокенләрни маја көбәләжи васитәсилә мәнимсәнилмәснин өјрәнилмәсі . . . . . 44

Кимја

А. А. Бүніјатзәдә, Н. Т. Гәһрәманов, Т. Н. Ыусејнов, Г. Р. Аутешшүс. Структур гурулушун полиетилен — акрилонитрил чалаг полимеринин хассасинә тә'сири . . . . . 47

Н. Б. Шахтахтийски, Э. И. Талыбылы, Э. И. Гулијев, Р. Э. Вәлијев. Филизчај пирит концентратының фасиләсиз ишләји гургуда гајнар лајда јаңдырылмасы . . . . . 51

Кеолокија

В. М. Базадә. Ағјатаг чиوا филизи саһесиндә ендокен қеокимјәви ореаллар вә онлардан кизли филизләшмәнин ахтарышында истифадә . . . . . 56

А. Б. Султанов, А. М. Плүш, Ш. А. Чәрүллајев, Н. Г. Гәдиров, И. Г. Пакин. Сәнкәчал-дәниз, Дуванлы вә Булла адалары ятагының истилек режиминә даир . . . . . 61

Н. Ресулов, Д. М. Даилевскай. Бөյүк Гафгазын дагјаны саһесиндә жени тектоник һәрәкәтләрни сәчијјәләшмәсі үчүн чај дәрәләри сырасының анализи . . . . . 65

<b>Физики чографија</b>	
М. А. Мүсөєибов, Б. Э. Будагов. Азэрбајҹан ССР-ни физики- чографи рајонлашмасы . . . . .	71
<b>Битки физиолокијасы</b>	
Р. А. Сәфәрэлијева, Р. М. Мендизадә. Шишмә просесинә пут тохумларының ауксин-инхибитор фәаллыгы . . . . .	77
<b>Торнагшұнаслыг</b>	
С. Э. Элиев, Ч. Э. Начыјев. Нахчыван МССР-ниң әсас торнаг типлеринде ферментләриң активлији . . . . .	81
М. П. Ба баев. Мил-Гарабаг дүзүнүн суварылан торнагларында мәдәни торнагемәләкәлмә просесинә даир . . . . .	85
<b>Селексија</b>	
И. К. Абдуллаев, Т. Д. Мендијева, Д. С. Гулијева. Чијеләйни јени селексија формаларының ярнагларында нуклеин түршулары миг- дарының дәјишилмәсі . . . . .	91
<b>Битки физиолокијасы</b>	
М. А. Элизадә, Р. Т. Элиев. Нетерозис еффекті өз бүгданыш бириңиң иесил һибридинин һүчејрасинә ДНТ-ниң мигдары . . . . .	94
<b>Тибб</b>	
З. А. Зејналова, Т. Г. Гәмбәров. Атровентрикулар блока- дасы (үрәкдә) олар хәстәләрдә электролит мүбадиләсииң вәзијәти . . . . .	97
<b>Әдәбијат тарихи</b>	
А. Гулиев. Гијметли бир автограф нағында . . . . .	100
<b>Археологија</b>	
Ф. Л. Османов. Ханларкәндә күп гәбирләри тапынтысы . . . . .	106
<b>Етнографија</b>	
Г. Э. Гејбуллаев. Азэрбајҹаның бәзи етнотопонимләrinин мәнишенин даир (Сүмгајыт, Құнқұт, Чорат, Зунуд, Оријат, Таңыг вә Чиркин) . . . . .	111

<b>Гидрохимия</b>	
Бар Гонконг шағында ишени Сөздәрдүйлүк жаңылар . . . . .	11
<b>Лингвистика</b>	
Азәрбајҹан түрк тарихында түрк түрк тарихы . . . . .	15
<b>Социология</b>	
Азәрбајҹанда түрк тарихында түрк түрк тарихы . . . . .	19
<b>СОДЕРЖАНИЕ</b>	
<b>Механика</b>	
Н. П. Пиринев. Изгиб круглой пластинки из полимерного материала под действием вибрационной нагрузки . . . . .	3
<b>Функциональный анализ</b>	
Х. Р. Мирзоев. Оценки особого интеграла в пространствах Орлица . . . . .	8
<b>Математика</b>	
С. А. Гаджиев, А. И. Ливашвили. К вопросу о суммировании лестнич- ных диаграмм в квантовой электродинамике . . . . .	12
С. Я. Якубов, С. Г. Самедова. Корректность задачи Коши для параболических уравнений . . . . .	17
Р. Ю. Амензаде, М. Б. Ахундов. Выпучивание нелинейно-упругого стержня . . . . .	21
<b>Физика</b>	
Б. Г. Тагиев, А. К. Кот, Ф. И. Плиев. Природа низкоомного состоя- ния в бистабильных переключателях на основе GaSe . . . . .	27
<b>Биофизика</b>	
Чл.-корр. АН СССР Г. Б. Абдуллаев, Ш. В. Мамедов, А. И. Джабаров, Н. М. Магомедов. Изучение фотоиндуцированных свободноради- кальных состояний—в пигментном эпителии глаза животных . . . . .	31
<b>Химия</b>	
Чл.-корр. М. М. Мовсумзаде, В. С. Мамедзаде, Н. Г. Керимова. Сопряженное галогенирование окиси этилена с формальдегидом . . . . .	41
<b>Микробиология</b>	
И. И. Намазов, Э. Д. Джабаров, М. А. Гаджиева, Х. Н. Кулев- ва, Л. М. Ба баева. Изучение усваиваемости дрожжевыми микроорганизмами углеводородов дизельного топлива . . . . .	44
<b>Химия</b>	
А. А. Буният-яде, Н. Т. Каҳраманов, Т. И. Гусейнов, Г. Р. Аутешллюс. Исследование влияния структурных особенностей поли-(этилен-ПР- акрилонитрила) на его временные свойства . . . . .	47
Акад. Г. Б. Шахтахтинский, А. И. Талыбы, А. И. Гулиев, Р. А. Велиев. Обжиг филизайского пиритного концентраты в кипяще-вихре- вом слое на установке непрерывного действия . . . . .	51
<b>Геология</b>	
В. М. Ба бааде. Эндогенные геохимические бреолы в агяташском ртутном рудном поле и использование их при поисках скрытого оруденения . . . . .	56
А. Б. Султанов, А. М. Плющ, Ш. А. Джарулаев, Н. К. Кадыров, И. Г. Пакин. О тепловом режиме месторождения Сангачалы-море- о. Дуванлы-о. Булла . . . . .	61
Г. Л. Расулов, Д. М. Даийлевская. Анализ порядков долин для ха- рактеристики новейших тектонических движений в пределах южного предгорья Большого Кавказа . . . . .	65

физическая география	
М. А. Мусеибов, Б. А. Будагов. О новом физико-географическом районировании Азербайджанской ССР . . . . .	71
Физиология растений	
Р. А. Сафаралиева, Р. М. Мехтизаде. Ауксино-ингибиторная активность семян пшеницы в процессе их набухания . . . . .	77
Почвоведение	
С. А. Алиев, Д. А. Гаджиев. Активность ферментов в основных типах почв Нахичеванской АССР . . . . .	81
М. П. Бабаев. Культурный почвообразовательный процесс в оазисных почвах Миньско-Карабахской степи . . . . .	85
Селекция	
Акад. Н. К. Абдуллаев, Т. Д. Мехтиева, Д. С. Куллиева. Изменение содержания нуклеиновых кислот в листьях новых селекционных форм земляники в период вегетации . . . . .	91
Физиология растений	
Чл.-корр. М. А. Ализаде, Р. Т. Алиев. Гетерозисный эффект и содержание ДНК в клетке гибридов пшеницы первого поколения . . . . .	94
Медицина	
З. А. Зейналова, Т. Г. Гамбарова. Электролиты крови при нарушениях проводимости сердца . . . . .	97
История литературы	
А. А. Куллиев. Об одном ценном автографе . . . . .	100
Археология	
Ф. А. Османов. Найдены кувшинные погребения в с. Ханларкенд . . . . .	106
Этнография	
Г. А. Гейбуллаев. К происхождению некоторых этнотопонимов Азербайджана (Сумгант, Кюнгют, Джорат, Зунуд, Орият, Тангит, Чиркин) . . . . .	111

Сдано в набор 27/1 1975 г. Подписано к печати 1/IV 1975 г. Формат бумаги  
 70×108<sup>1/10</sup>. Бум. лист. 3,75. Печ. лист. 10,5. Уч.-изд. лист. 9,2. ФГ 05520.  
 Заказ 17. Тираж 760. Цена 40 коп.

Типография „Красный Восток“ Государственного комитета Совета Министров  
 Азербайджанской ССР по делам издательства, полиграфии  
 и книжной торговли, Баку, Ази Асланова, 80.

## ПРАВИЛА ДЛЯ АВТОРОВ

1. В «Докладах Академии наук Азербайджанской ССР» помещаются краткие сообщения, содержащие законченные, еще не опубликованные результаты научных исследований, имеющих теоретическое или практическое значение.

В «Докладах» не публикуются крупные статьи, механически разделенные на ряд отдельных сообщений, статьи полемического характера без новых фактических данных, статьи с описанием промежуточных опытов без определенных выводов и обобщений, работы непринципиальные, описательного или обзорного характера, чисто методические статьи, если предлагаемый метод не является принципиально новым, а также статьи по систематике растений и животных (за исключением описания особо интересных для науки находок).

Статьи, помещаемые в «Докладах», не лишают автора права последующей публикации того же сообщения в развернутом виде в других изданиях.

2. Поступающие в «Доклады» статьи рассматриваются Редакционной коллегией только после представления их академиком по специальности. Каждый академик может представить не более 5-ти статей в год.

Статьи членов-корреспондентов Академии наук Азербайджанской ССР принимаются без представления.

Редакция просит академиков при представлении статьи указывать дату получения ее от автора, а также наименование раздела, в котором статья должна быть помещена.

3. В «Докладах» публикуется не более трех статей одного автора в год.

4. В «Докладах» помещаются статьи, занимающие не более четверти авторского листа — около 6—7 страниц машинописи (10 000 печатных знаков), включая рисунки.

5. Все статьи должны иметь резюме на английском языке; кроме того, статьи, написанные на азербайджанском языке, должны иметь: резюме на русском языке и наоборот.

6. В конце статьи должны быть указаны название научного учреждения, в котором выполнена работа, и номер телефона автора.

7. Опубликование результатов работ, проведенных в научных учреждениях должно быть разрешено дирекцией научного учреждения.

8. Статьи (включая и резюме), должны быть напечатаны на машинке через два интервала, на одной стороне листа и представляются в двух экземплярах. Формулы должны быть вписаны четко и ясно, при этом прописные буквы должны быть подчеркнуты (черным карандашом) двумя черточками снизу, а строчные — сверху, буквы греческого алфавита надо обводить красным карандашом.

9. Цитируемая в статье литература должна приводиться не в виде подстрочных сносок, а общим списком (вподбор), в алфавитном порядке (по фамилии автора), в конце статьи с обозначением ссылки в тексте порядковой цифрой. Список литературы должен быть оформлен следующим образом:

а) для книг: фамилия и инициалы автора, полное название книги, номер тома, город, издательство и год издания;

б) для статей в сборниках (трудах): фамилия и инициалы автора, название статьи, название сборника (трудов), том, выпуск, место издания, издательство, год, страница;

в) для журнальных статей: фамилия и инициалы автора, название статьи, название журнала, год, том, номер, (выпуск), страница.

Ссылки на неопубликованные работы не допускаются (за исключением отчетов и диссертаций, хранящихся в научных учреждениях).

10. На обороте рисунков должны быть указаны фамилия автора, название статьи и номер рисунка. Отпечатанные на машинке подписи к рисункам представляются на отдельном листе.

11. Авторы статей должны указывать индекс статьи по Унифицированной десятичной классификации (УДК) и прилагать реферат для «Реферативного журнала».

12. Авторы должны избегать повторения одинаковых данных в таблицах, графиках и в тексте статьи.

Ввиду небольшого объема статей выводы помещаются лишь в необходимых случаях.

13. В случае представления двух или более статей одновременно необходимо указывать желательный порядок их помещения.

14. Корректура статей авторам как правило не посылается. В случае посылки корректуры допускается лишь исправление ошибок типографии.

15. Редакция выдает автору бесплатно 15 отдельных оттисков статьи.

Издательский совет АН Азербайджанской ССР  
Год: 1971 № 10 Тип: А формат: 84x108/16  
Бумага: 70 г/м<sup>2</sup> Картон: 100 г/м<sup>2</sup>  
Формат: 84x108/16

Академия наук Азербайджанской ССР  
Информационный центр  
Информационный центр Академии наук Азербайджанской ССР  
Министерство науки и технической политики Азербайджанской ССР

Information QD 8-1000.

СИКЛОД СИМВОЛИЧНЫХ ИЗОБРАЖЕНИЙ